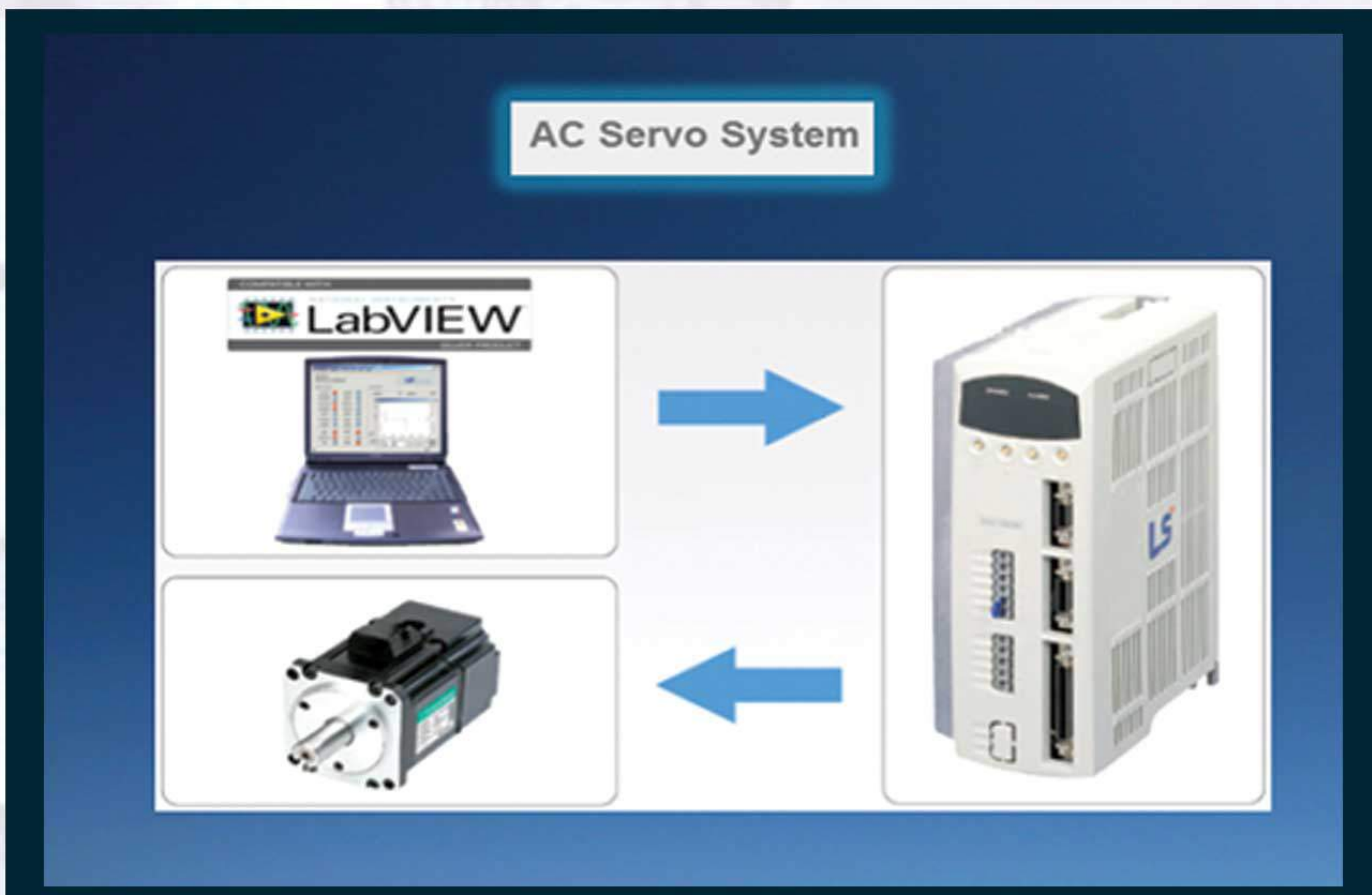


## مشروع أعد لنيل درجة الإجازة في الهندسة الكهربائية

### القيادة الرقمية للمحرك المترافق ذاتي المغناط الدائمة

Digital Drive of Permanent Magnet Synchronous Machine



بإشراف الدكتور المهندس

أحمد عمار نعسانى

مشاركة

المهندس محمد ناصيف

إعداد وتنفيذ

أحمد ضياع محمد زهير البدرة



جامعة حلب

كلية الهندسة الكهربائية والالكترونية

قسم القيادة الكهربائية

## مشروع أعد لنيل درجة الإجازة في الهندسة الكهربائية

### القيادة الرقمية للمحرك المترافق ذو المغناط الدائمة



بإشرافه الدكتور المهندس

أحمد عمار نعسانى

مشاركة

المهندس محمد ناصيف

إعداد وتنفيذ

محمد زهير البدرة

أحمد ضباع

العام الدراسي 2013-2014

بِسْمِ اللَّهِ الرَّحْمَنِ الرَّحِيمِ

(سُبْحَانَكَ لَا عِلْمَ لَنَا إِلَّا مَا عَلِمْتَنَا إِنْكَ أَنْتَ الْعَلِيمُ)

الْمُصَدِّقُ  
الْعَظِيمُ

## الإهداء

بسم الله أبتدى.....  
وبنور وجهه أهتدى...  
غرفت غرفة من بحر علمه الكبير.....  
فعرفت من هو ومن أنا...  
إهداه خاص  
إلى المعلم الأول.....

إلى من أنقذ البشرية من مهاوي الضلال إلى معارج الرفعية  
والكمال.....

إلى حبيب الله وحبيبنا سيدنا

محمد رسول الله صلى الله عليه وسلم

إلى من علماني أنه بالإرادة يصنع الإنسان ما يشاء.....  
إلى رموز التضحية والحب والفاء.....

أمي ..... أبي

إلى نعم الأصدقاء وأوفي الأوفىاء.....

إخوتي

إلى جميع الأصدقاء الذين أحببتم وأحبوني.....

أصدقائي

أحمد

## الإهداء

شكرا رباه لأنك بجانبي في كل مرحلة من مراحل حياتي حتى بلغت  
المنى....

...ربى زدني علما...

أنت رحمة الله المهدأة لي في الحياة.. أنت الفرح الذي يكمل نجاحي.. يا  
شمعة حياتي ويا نبع الحنان.. يا نهر الحب الذي لا ينضب..

## أمها

كنت لي خير معين وسند.. غرست في قلبي حب العلم منذ الصغر  
ودفعتني إلى طلبه.. يا من علمني الإصرار والتحدي... يا من يرتعش  
قلبي لذكره..

إلى الروح الطاهرة.....

## أبيها (رحمه الله)

إلى نجوم تضيئ في سمائي.. إلى من قضيت معهم أجمل أيامِي.. إلى من  
هم بقلبي ودمي.. إلى قناديل أهتدي بها اليوم وفي الغد وإلى الأبد .. إلى  
الذين لم يفارقا مخيلتي رغم المسافات...

## إخوتها

إلى من برأياهم يهداً بالي.. وبلقاهم تنجي همومي.. إلى من شاركوني  
فرحي وحزني.. إلى من سأفتقدهم.. وأتمنى أن يجمعني الله بهم من  
جديد.. إلى أخوة لم تلدهم أمي...

## أصدقائهم

## كلمة شكر

نتوجه ببطاقة شكر وتقدير لـ الكادر التدريسي في كلية الهندسة الـ كهربائية و  
الـ إلكترونية و لكل من ساهم في وصولنا إلى هذه المرحلة  
و نتوجه بشكر خاص إلى الذين كانوا عوناً لنا في إنجاز هذا المشروع و لم يدخلوا  
عليـنا بـ معلوماتهم و خبرـتهم و نفس بالـ ذكر

الـ دكتور المهندس

أحمد عمار نعسانـي

المهندس

المهندس

المهندس

حازم كـ يـالي

أحمد شـريفـة

محمد نـاصـيف

أحمد و محمد نـرهـير

# الفهرس

الفصل الأول : المحركات المتواقة ذات المغناط الدائمة	
2.....	1-1- مقدمة .....
2 .....	1-2- بنية الآلات المتواقة .....
3 .....	1-3- المحركات المتواقة .....
4 .....	1-4- طرق إقلاع المحركات المتواقة .....
5 .....	1-5- المحركات المتواقة ذات المغناط الدائمة .....
6 .....	1-6- تصنیف المحركات المتواقة ذات المغناط الدائمة .....
8 .....	1-7- الخاتمة .....
الفصل الثاني : التمثيل الرياضي للمحركات المتواقة ذات المغناط الدائمة	
10.....	2-1- مقدمة .....
10 .....	2-2- فرضيات هامة .....
10 .....	2-3- تمثيل المحرك في نظام المحاور الثانوية $d,q$ .....
11 .....	2-4- استنتاج معادلات الجهد الثانوية للمحرك من أجل محاور ثانية مرتبطة بالدوار .....
12 .....	2-5- معادلات الجهود للمحرك.....
14 .....	2-6- معادلات العزم الكهرومغناطيسي في جملة المحاور الدوارة $d,q$ .....
15 .....	2-7- معادلة السرعة الميكانيكية.....
16 .....	2-8- الخاتمة .....
الفصل الثالث : أنظمة قيادة المحركات المتواقة ذات المغناط الدائمة	
18.....	3-1- مقدمة .....
18.....	3-2- المنظمات الالكترونية المستخدمة في أنظمة القيادة .....
20.....	3-3- نظرية التحكم $V/f$ .....
22 .....	3-4- المحاكاة والنتائج التمثيلية لخوارزمية $V/f$ .....
27.....	5-3- التحكم الشعاعي Vector Control .....
27.....	6-3- نظام القيادة FOC (Field Oriented Control) .....
32 .....	7-3- تنظيم التيار $I_q$ باستخدام منظم PI .....
33.....	8-3- تنظيم التيار $I_d$ باستخدام منظم PI .....
34.....	9-3- تنظيم التيار والسرعة معاً .....
41.....	10-3- تنظيم الموضع .....
42.....	11-3- الخاتمة .....

## الفصل الرابع : التمثيل الرياضي لقالبة الجهد المسؤولة عن تغذية المحرك

44.....	1-4 مقدمة
44.....	2-4 المبدلة الستاتيكية
45.....	3-4 قالبة الجهد
49.....	5-4 التحكم بقالبة الجهد
52 .....	5-5 الخاتمة

## الفصل الخامس : التمثيل الرقمي للمحرك المتوازن ذي المغناط الدائمة وأنظمة قيادته

54.....	1-5 مقدمة
54.....	2-5 معادلتي أويلر
54 .....	3-5 التمثيل الرقمي لمعادلة نظام من المرتبة الأولى
55.....	4-5 التمثيل الرقمي لمعادلات المحرك المتوازن ذي المغناط الدائمة
56.....	5-5 التمثيل الرقمي للمنظمات PID
59.....	6-5 الخاتمة

## الفصل السادس : التطبيق العملي

61.....	1-6 أنظمة قيادة المحركات المتوازنة ذي المغناط الدائمة
62.....	2-6 جهاز الانفيرتر المستخدم في المشروع
63 .....	3-6 أهم الميزات التي يتمتع بها هذا الانفيرتر
65.....	4-6 آلية تحويل الانفيرتر إلى منصة عمل
69.....	5-6 طريقة البرمجة
70.....	6-6 خوارزميات عمل الانفيرتر
74.....	7-6 التجارب العملية
76.....	8-6 مبدأ عمل Encoder وكيفية حساب السرعة
79.....	9-6 توليد نبضات التحكم بالموضع
88.....	10-6 ربط الدرايف مع الحاسب
101.....	11-6 الخاتمة
102.....	خلاصة البحث
103.....	آفاق التطوير
104.....	المراجع

## المقدمة

في خضم السباق التكنولوجي لابتكار أنظمة متكاملة العمل والأداء، تم اللجوء لابتكار محركات ذات طبيعة خاصة تلاءم تطبيقات محددة لتشكل عنصراً في جملة متكاملة تقود لأداء عالٍ وموثوقية شديدة، من هنا بزغت فكرة المحركات الخاصة وهي في طريقها الواسع للتطور والتحسين المستمر.

حيث أن ارتفاع إنتاجية المعامل والمنشآت الصناعية يتعلّق مباشرةً بالتجهيزات الكهربائية والتقنيات الإلكترونية المستخدمة في قيادتها وتشغيلها.

في بحثنا هذا سنقوم بدراسة المحرك المترافق ذي المغناط الدائمة باعتباره من المحركات الشائعة الاستخدام في التطبيقات الصناعية وذلك لما يتميز به من مميزات عديدة، حيث إن دوار المحرك له عزم عطالة صغير وحرارة الدوار قليلة وبالتالي مردود عالي وملائم للوظائف التي تتطلب تحكم بالوضعية وتبقى السيئة الوحيدة لديه في السعر المرتفع بسبب غلاء المادة التي تصنع منها المغناط الدائمة وارتفاع قيمة تيار الإقلاع والذي تظهر أهميته عند عمل هذه المحركات مع القالبات ذات أنساف النواقل.

ومع التطور العلمي الكبير في مجال الإلكترونيات الصناعية واستخدام الحاسوب في مجال التحكم والقيادة أصبح بالإمكان قيادة المحرك المترافق ذي المغناط الدائمة بسهولة وذلك من خلال إيجاد نموذج رياضي للمحرك وتمثيله على الحاسوب وبالتالي دراسة أنظمة عمل المحرك وتحليل المعادلات الممثلة له ودراسة أنظمة القيادة المختلفة التي يمكن تطبيقها عليه.

وبعد دراسة أنظمة قيادة المحرك المترافق ذي المغناط الدائمة لا بد من التعرف على أهم عنصر مستخدم في عملية القيادة وهو ما يسمى Servo-Drive والذي يمثل نظام القيادة المستخدم لقيادة المحرك بالإضافة لوجود قالبة الجهد من أجل عملية تحويل إشارة الجهد القادمة من نظام القيادة (جهود منخفضة) إلى إشارة جهد على خرج القالبة والتي تطبق على المحرك مباشرة وبالتالي إمكانية التحكم بمطال وتردد إشارة الخرج بما يناسب العملية الصناعية المطلوبة.

في هذا المشروع سنقوم بدراسة المحرك المترافق ذي المغناط الدائمة وأنظمة القيادة المستخدمة، كما يلي :

### الفصل الأول :

سنتكلّم عن بنية الآلات المترافقّة بشكل عام ثم ننتقل إلى المحركات المترافقّة وطرق الإقلاع ومن ثم سنتحدث عن المحركات المترافقّة ذات المغناط الدائمة وتصنيفاتها.

## الفصل الثاني :

سنقوم باستنتاج النموذج الرياضي للمحرك المتوقف ذي المغناط الدائمة في نظام محاور إحداثيات ثنائية متعددة ودوارية بسرعة الدوار وتمثل هذا النموذج الرياضي باستخدام بيئة Matlab/Simulink .

## الفصل الثالث :

سنقوم بدراسة نظامين من أنظمة قيادة المحرك المتوقف ذي المغناط الدائمة الحديثة، نظام  $V/F=constant$  ، ونظام التحكم بشعاع الفيض الموجه FOC المستخدم في الإنفيرترات الموجودة بالأسواق، وتمثلها أيضاً باستخدام بيئة Matlab/Simulink .

## الفصل الرابع :

سنقوم بدراسة قالبة الجهد المسئولة عن تغذية المحرك، وتمثلها باستخدام بيئة Matlab/Simulink .

## الفصل الخامس :

سنقوم بعملية التحويل الرقمي للمعادلات الرياضية الممثلة للmotor وأنظمة قيادة المحرك (PID)، وتمثلها باستخدام بيئة Matlab/Simulink .

## الفصل السادس :

سنقوم بالتعريف بأحد أنواع الانفيرترات المستخدمة لقيادة المحرك المتوقف ذي المغناط الدائمة وهو من إنتاج شركة (LS)، حيث قمنا بدراسة الكتالوك المرفق معه ومن ثم تجهيز منصة مخبرية التي يمكن أن يستفاد منها في إعداد بعض التجارب العملية لطلاب كلية الهندسة الكهربائية والإلكترونية، ثم أخذنا بعض النتائج العملية على راسم إشارة، وقمنا بعملية ربط بين الانفيرتر ودارة تحكم خارجية يستفاد منها في خوارزمية التحكم بالموضع وقمنا أيضاً بعملية ربط مع الحاسوب عن طريق البرنامج المرفق مع الانفيرتر وأيضاً عن طريق بيئة LABVIEW .

# الفصل الأول

## المحركات المترافقية ذات المغناط الدائمة



**1-1 - مقدمة**

إن أكثر من 98% من الطاقة الكهربائية المنتجة في العالم يتم توليدها باستخدام الآلات المترافقية فهي الأكثر استخداماً لغرض تحويل الطاقة الميكانيكية إلى كهربائية.

وكما تستخدم الآلات المترافقية كمولادات متزامنة تستعمل أيضاً كمحركات متزامنة، وقد اكتسب هذا النوع من الآلات هذه التسمية ( التزامن ) بسبب التزامن بين سرعة دوران المجال المغناطيسي والعضو الدوار .

**1-2- بنية الآلات المترافقية**

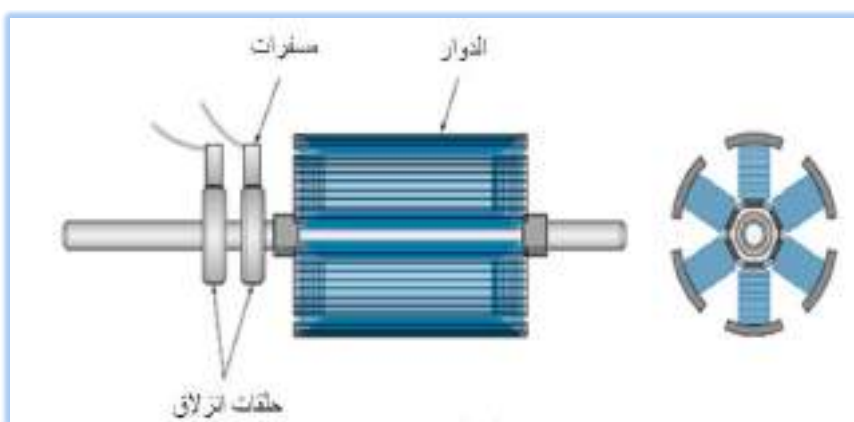
تتألف الآلات المترافقية بشكل عام من جزئين أساسين هما :

**الجزء الثابت**

يحمل ملفات إنتاج الطاقة الكهربائية ويدعى المترادف، يخرج في النهاية ستة أطراف يمكن توصيلها بشكل نجمي أو مثلثي بحيث يكون مشابه تماماً للجزء الثابت في المحرك التجريبي من حيث التركيب واللف.

**الجزء الدوار**

يحمل ملفات المجال المغناطيسي ويغذيه بتيار مستمر عن طريق حلقات انزلاق لينشط المغناط الموجودة على محطيه وهذه المغناط تقوم بالتفاعل مع الساحة المغناطيسية الدوارة للثابت مما يجعل الدوار يدور بنفس سرعة دوران الساحة المغناطيسية أي بسرعة التزامن .

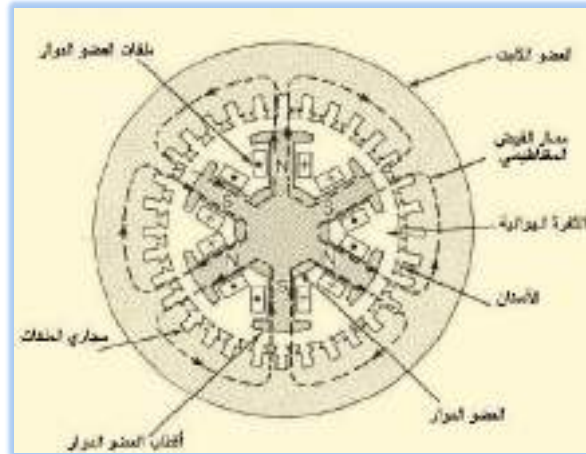


الشكل (1-1): شكل الدوار في الآلة المترافقية

بشكل عام هناك نوعان من الجزء الدوار حسب البنية وذلك يعتمد على التطبيق المستخدم وهما :

**1- دوار ذو أقطاب بارزة**

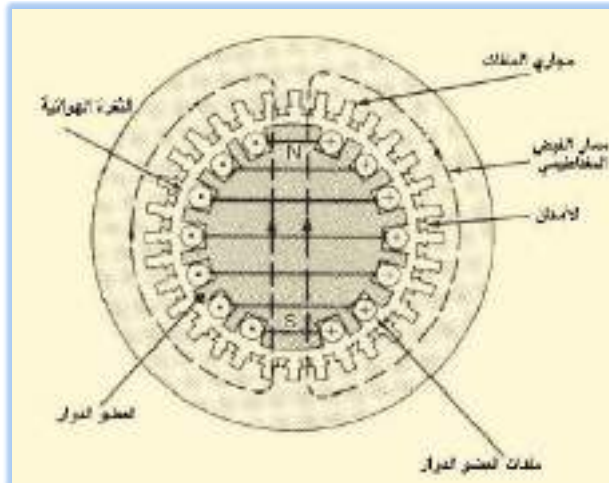
يستخدم في الآلات المترافقية ذات السرعات المنخفضة ( عادة تقل عن 1000 دورة بالدقيقة ).



الشكل (1-2): آلة مترافقه بدوار ذي أقطاب بارزة

## 2- دوار اسطواني

يستخدم في الآلات المترافقية ذات السرعات العالية حيث تكون السرعة إما 1500 أو 1800 أو 3000 أو 3600 دورة بالدقيقة وهذا يعتمد على التردد المطلوب وعدد الأقطاب، والجدير بالذكر أنه يجب أن يكون عدد أقطاب الجزء الدوار مساوياً لعدد الأقطاب في الجزء الثابت.



الشكل (1-3): آلة مترافقه ذات دوار أسطواني

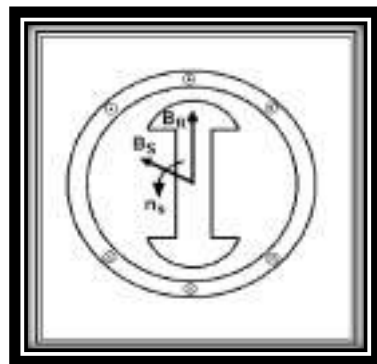
## 3- المحركات المترافقية

يشبه المحرك المترافق في عمله المحرك التحربي ولكن بينهما اختلاف أساسى وهو أن الدوار في المحرك المترافق يدور بسرعة دوران الحقل المغناطيسي نفسه المتولد عن الثابت.

في المحركات التحربيه الدوار يتلقى الاستطاعة من الثابت نتيجة لمبدأ التحربي وذلك يتطلب وجود إنزلاق بين سرعته وسرعة الحقل الدوار، أما في المحرك المترافق يجب توفير تلك الاستطاعة من مصدر آخر وعادة يتم تغذية الدوار من منبع تيار مستمر عبر حلقات إنزلاق ومسفرات.

## 4-1 مبدأ العمل

إنّ مبدأ عمل المحركات المترافقه بشكل عام هو : عندما تغذي ملفات الدوار بالتيار المستمر سيتولد مجالاً مغناطيسيّاً ثابتاً في الجزء الدوار، أما الجزء الثابت فعندما يوصل إلى مصدر جهد متقارب ثلاثي الطور سيمر فيه تيارات ثلاثية الطور التي بدورها ستولد مجالاً مغناطيسيّاً دواراً منتظماً وبالتالي سيتواجد داخل الآلة مجالين مغناطيسيين، مجال الجزء الدوار سيحاول أن يكون متعامداً مع مجال الجزء الثابت تماماً كما يحدث عندما يوضع قطعتان من المغناطيس قرب بعضهما البعض، وحيث أن مجال الجزء الثابت يدور فإن مجال الجزء الدوار سيحاول اللحاق به ( ومعه الجزء الدوار نفسه ) ولكن لن يتمكن من ذلك بسبب اتساع الزاوية بينهما وهكذا يعيد الكره في كل دوره من دون أن يتمكن من الإفلاع وبالتالي لا بد من إيجاد وسيلة لجعل حقل الجزء الدوار يحافظ على الزاوية بينه وبين مجال الجزء الثابت. لكي يتحقق ذلك يجب أن يدار الجزء الدوار بالسرعة التوافقية أو قريب منها قبل توصيل التيار المستمر في ملفاته وعند التوصيل ستكون الزاوية بين المجالين صغيرة وسيستمر مجال الجزء الدوار ومعه الجزء الدوار نفسه باللحاق بمجال الجزء الثابت وسيدور بسرعته نفسها ( السرعة التوافقية ) التي لا تتغير مهما تغير حمل المحرك ما دام أنه ضمن الحمولة الاسمية له وفي حالة زيادة الحمل عن العزم الأعظمي فإن الجزء الدوار سيفقد التوافق ويبدأ بالتباطؤ التدريجي حتى التوقف.



الشكل (1-4): المجالات المغناطيسية في المحرك المترافق

## 5-1 طرق إقلاع المحرك المترافق

- 1) توفير إمكانية التحكم بالتردد حيث يكون عند الإفلاع ذو قيمة صغيرة ثم تزداد قيمته تدريجياً، وبذلك يستطيع الدوار أن يتحرك مع الساحة المغناطيسية التي ستكون سرعاً فيها في البداية قليلة ثم تزداد تدريجياً. هذه الطريقة تتطلب دارات إضافية للتحكم بالتردد، ولكنها توفر لنا إمكانية التحكم بسرعة المحرك.
- 2) استخدام محرك آخر على محور المحرك المترافق نفسه لإعطائه سرعة التوافق عند الإفلاع، ولكن لهذه الطريقة سيئة واضحة تتمثل في الحاجة إلى عتاد إضافي.
- 3) إدخال بعض قضبان الفقص السنجابي إلى دوار المحرك المترافق الأمر الذي يمكن المحرك المترافق من الإفلاع كمحرك تحربي.

### 6-1- المحركات المترافقه ذات المغناطيس الدائمة

المحركات المترافقه ذات المغناطيس الدائمة هي محركات تستخدم مغناطيس دائمة لإنتاج الحقل المغناطيسي في الثغرة الهوائية عوضاً عن المغناطيس الكهربائي، هذه المحركات تملك مميزات هامة جذبت اهتمام الباحثين والصناعيين لاستخدامها في تطبيقات عديدة.

### 7-1- المواد ذات المغناطيس الدائمة

تؤثر خصائص المواد ذات المغناطيس الدائمة بشكلٍ مباشر على أداء المحرك فالمعرفة الجيدة مطلوبة لاختيار هذه المواد ولفهم محركات المغناطيس الدائمة، حيث تصنع المواد التي تولد الحقل المغناطيسي من مزيج من المعادن النادرة التي تستخرج من الأرض تدعى بالمواد الفيرو مغناطيسية والتي تمتلك كثافة طاقية مغناطيسية عالية تولد معدلات معتبرة من القدرة والوزن.  
ومن أهم أنواع هذه المغناطيس الدائمة:

#### 1 . مغناطيس النيوكروم

يؤمن هذا المغناطيس كثافة فيض مرتفعة ولكن قوة قسرية صغيرة أي أنه يفقد المغناطيسية بسهولة.

#### 2 . مغناطيس الفيريايت

يؤمن هذا المغناطيس كثافة فيض منخفضة ولكن قوة قسرية كبيرة أي أنه يفقد المغناطيسية بصعوبة.

#### 3 . مغناطيس الأترية النادرة

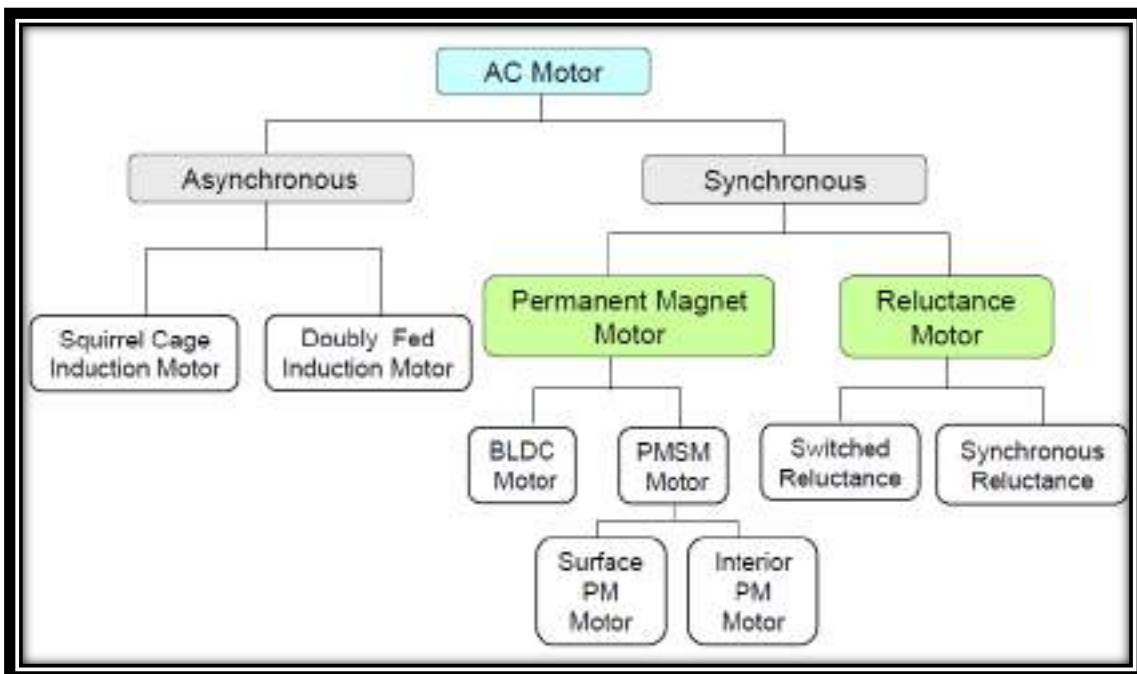
يؤمن هذا المغناطيس كثافة فيض مرتفعة وقوة قسرية كبيرة، وهذا النوع غالى الثمن بالمقارنة مع الأنواع السابقة ويتمتع بمميزات بالمقارنة مع الأنواع السابقة.

إن استخدام المغناطيس الدائمة في بناء المحركات الكهربائية أدى إلى الحصول على المميزات التالية :

1. ليس هناك ضياعات في ملف التهيئة حيث قمنا باستبداله بمغناطيس دائمة وبالتالي زيادة في المردود.
2. التخلص من منبع التغذية المستمر الخارجي.
3. الحصول على عزم أكبر مما هو عليه في المحركات العادية.
4. أداء ديناميكي أفضل (للعزم والسرعة) .
5. سهولة في البناء والصيانة.
6. ضجيج أقل.

## 8-1- تصنیف المحركات المترافقه ذات المغناط الدائمه

الشكل (5-1) يوضح التصنیف العام للمحركات ذات التيار التناوب :



الشكل (5-1): التصنیف العام للمحركات ذات التيار التناوب

## 1) تصنیف المحركات وفقاً لتوزيع كثافة الفیض المغناطیسي

تصنیف المحركات المترافقه بشکل رئيسي وفقاً لتوزيع كثافة الفیض المغناطیسي وشکل تيار التهییج لنوعین :

## 1- المحركات المترافقه ذات المغناط الدائمه PMSM

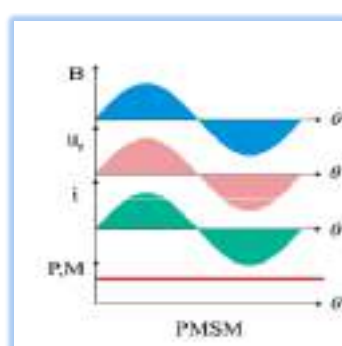
المحركات المترافقه ذات المغناط الدائمه تملک توزيع جبی للقوة المحركة الكهربائية العکسیة.

ومصممة لتحسين الأمواج الجبیبة للقوة المحركة الكهربائية العکسیة ولها الممیزات التالیة :

1- توزيع جبی للفیض المغناطیسي في الثغرة الھوائيه.

2- شکل أمواج التیار جبیبة.

3- توزيع جبی لنواقل الثابت.

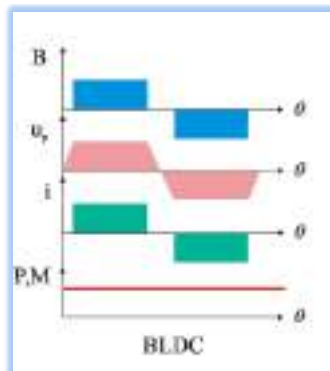


الشكل (1-6): شکل موجة الفیض والجهد والتیار للمحرك المترافق PMSM

## 2- محركات التيار المستمر ذات المغناط الدائمه وبدون مسفات BLDCM

المحركات ذات المغناط الدائمه وبدون مسفات تملك توزيع غير جيبي للقوة المحركة الكهربائية العكسية، ومصممة لتحسين الأمواج غير الجيبيه للقوة المحركة الكهربائية العكسية ولها المميزات التالية:

- 1- توزيع غير جيبي للفيض المغناطيسي في الثغرة الهوائية.
- 2- شكل أمواج التيار غير جيبيه.
- 3- الملفات على الثابت قريبة من بعضها البعض.



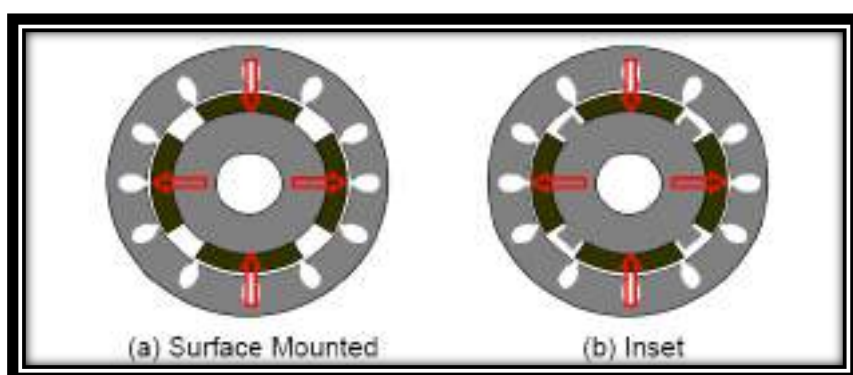
الشكل (1-7): شكل موجة الفيض والجهد والتيار للمحرك المترافق BLDCM

## (2) تصنيف المحركات حسب توضع المغناطيس على الدوار

في المحركات ذات المغناط الدائمه يمكن أن يتوضع المغناطيس بأشكال مختلفة على الدوار، حيث يتوضع على السطح الخارجي للدوار ونحصل على محركات متوافقه ذات مغناط دائمه سطحية أو يتوضع على السطح الداخلي للدوار ونحصل على محركات متوافقه ذات مغناط دائمه داخلية وبذلك نحصل على نوعين هما :

### 1- المحركات المتوافقه ذات المغناط الدائمه السطحية

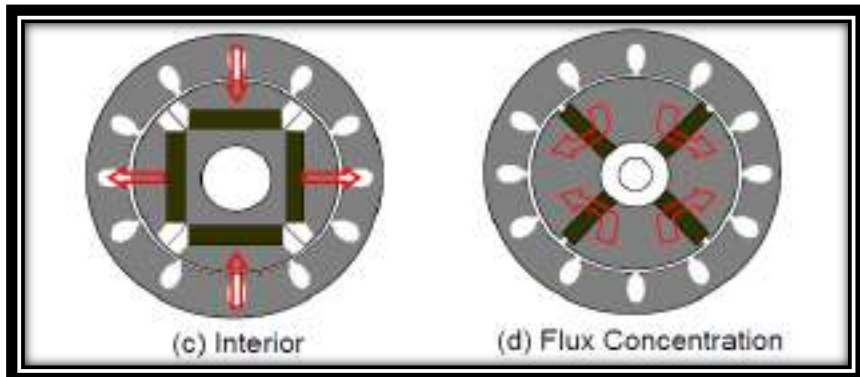
يتوضع المغناطيس على السطح الخارجي للدوار، ويستخدم هذا المحرك في التطبيقات ذات السرع المنخفضة، والنواة الحديدية هنا تكون مصمته أو تحوي ثقوب لسهولة التصنيع، المغناط دائمه تركب على سطح النواة باستخدام مواد لاصقة.



الشكل (1-8): محركات متوافقه ذات مغناط دائمه سطحية

## 2- المحركات المترافق ذات المغناط الدائمة الداخلية :

هنا المغناط الدائمة تتوضع داخل الدوار وهذه المحركات غير شائعة على عكس المحركات المترافق ذات المغناط الدائمة السطحية وستستخدم من أجل التطبيقات التي تتطلب سرعة دوران عالية.



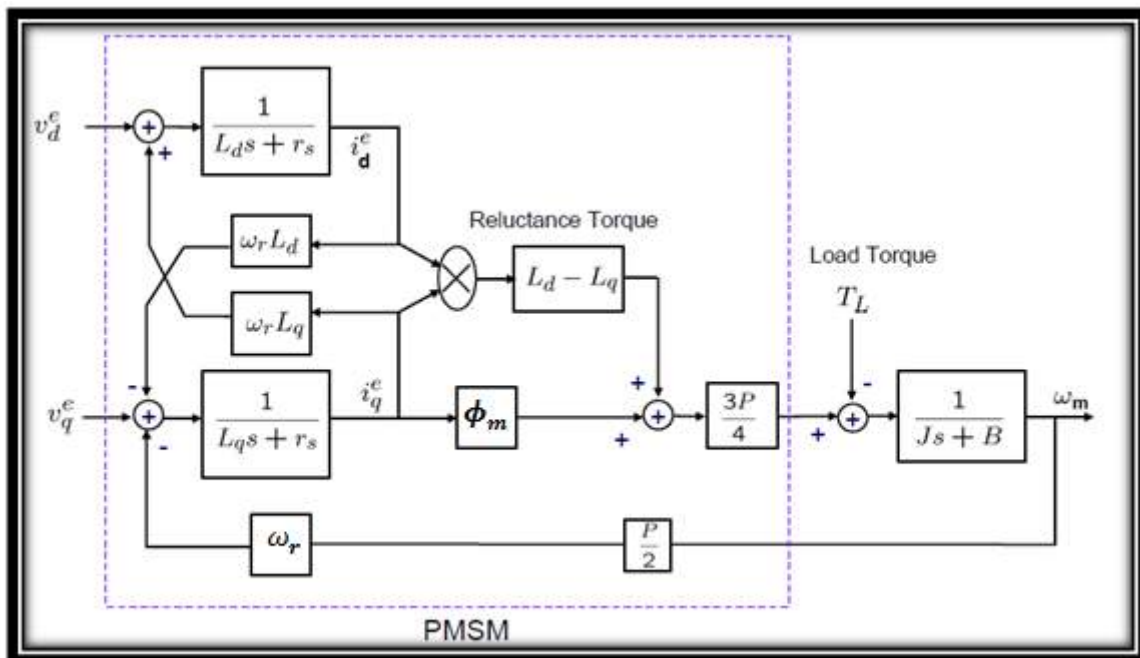
الشكل (9-1): محركات مترافق ذات مغناط دائمة داخلية

## 9-1 الخاتمة

الفصل السابق كان عبارة عن دراسة نظرية للمحركات المترافقة قمنا خلالها بالتحدث عن الآلات المترافقه وبنيتها، وتعرفنا على طرق إقلاع المحركات المترافقة ثم تحدثنا عن المغناط المستخدمة في صناعة الدوار للآلات الكهربائية وعن تصنيفات هذه الآلات ذات المغناط الدائمة.

## الفصل الثاني

### التمثيل الرياضي للمحركات المترافق ذات المغناط الدائمة



**1-2 مقدمة**

من أجل دراسة المحرك المترافق ذي المغناط الدائم وتحليل ومعرفة سير عمليات تحويل الطاقة فيه، ومن أجل تمثيله على الحاسوب وبالتالي التمكن من دراسة أنظمة قيادته وذلك لمحاولة تجاوز الصعوبات الموجودة في قيادته، كان لا بد من الحصول على النموذج الرياضي العام له، حيث يمكننا هذا النموذج من معرفة المعادلات التي تصف عمل المحرك في الحالة المستقرة والحالة العابرة، وحل هذه المعادلات عن طريق الحاسوب، وبالتالي الحصول على نموذج للمحرك نستطيع من خلاله دراسة أنظمة عمل المحرك ودراسة أنظمة القيادة المختلفة له لتنظيم السرعة أو العزم أو الموضع.

**2-2 فرضيات هامة**

عند دراستنا لاستنتاج النموذج الرياضي العام للمحرك المترافق ذي المغناط الدائم نأخذ بعين الاعتبار بعض الفرضيات بحيث يصبح من خلالها النموذج الرياضي مماثلاً تقريباً للمحرك الحقيقي وهي :

- 1- جهد التغذية حبيبي ومتوازن ( محصلة التيارات تساوي الصفر).
- 2- قيمة مقاومة وتحريضية الملفات على الثابت ثابتة نفسها من أجل جميع الملفات.
- 3- التحرير المغناطيسي ثابت على طول الثغرة الهوائية.
- 4- تيار التمغناط خطى والضياعات الحديدية مهملاً.
- 5- عدم وجود ملفات تهدئة، لأنه في السنوات الأخيرة لم تعد هذه الآلات تحوي على هذا النوع من الملفات.

**2-3 تمثيل المحرك في نظام المحاور الثنائية  $q,d$** 

إن عملية النمذجة تبدأ من دراسة المقادير الكهربائية لكل من الدوار والثابت أي دراسة الجهد والتيار والفيض للحصول على معادلة معبرة عن المحرك المترافق ذي المغناط الدائم، حيث نلجم قبل القيام بالدراسة إلى إسقاط جملة المحاور الثلاثية لهذه المقادير على محاور إحداثيات ثنائية وذلك لأن عملية دراسة المقادير الكهربائية الثلاثية الطور بشكل شعاعي يجب أن تأخذ بعين الاعتبار التمثيل الكهربائي والفراغي للملفات، أي أننا نغذي الثابت بجهود ثلاثة الطور مزاحة عن بعضها بمقدار 120 درجة. كما أن ملفات الثابت تكون متوضعة توضعاً فراغياً بحيث تكون الزاوية بين كل ملفين متداورين هي 120 درجة، وبالتالي فإن عملية التمثيل الحالية على محاور ثلاثة غير ممكنة إذ لا يمكن كتابة معادلات تمثل المحرك بشكل صحيح (أي لا يمكن الحصول على معادلات تمثل الإزاحة بين الملفات كهربائياً وفراغياً بالوقت نفسه). لذلك نلجم إلى إسقاط المحاور الثلاثية على محاور إحداثيات ثنائية متعامدة ودواره بسرعة عشوائية  $\omega_k$ .

## 2- استنتاج معادلات الجهد الثانوية للmotor من أجل محاور إحداثيات ثنائية مرتبطة بالدور

عند تغذية motor بجهد ثلاثي الطور متوازن ذي تردد ثابت يمكن اعتبار أن هذا الجهد الثلاثي عبارة عن شعاع دائري دور في الفضاء يدور بسرعة تساوي تردد الشبكة وينطبق هذا الشعاع على ثابت motor المدرسو وباعتبار أن  $R_s$  تمثل مقاومة ملفات الثابت للmotor و  $L_s$  تمثل تحريضية ملفات الثابت، عندها يمكن كتابة العلاقة التي تمثل الشعاع من أجل محاور إحداثيات ثنائية دوارة بسرعة عشوائية وفق التالي :

$$V_s e^{J\theta_k} = R_s i_s e^{J\theta_k} + \frac{d(\phi_s, e^{J\theta_k})}{dt} \quad (2.1)$$

عند دراسة الشعاع من أجل جملة محاور إحداثيات ثنائية مرتبطة بالثابت  $\omega_k = 0$  عندها تصبح العلاقة على الشكل التالي :

$$V_s = R_s i_s + \frac{d(\phi_s)}{dt} \quad (2.2)$$

وعند دراسة الشعاع من أجل جملة محاور إحداثيات ثنائية مرتبطة بالدور  $\omega_k = \omega$  عندها تصبح العلاقة على الشكل التالي :

$$\begin{aligned} V_s e^{J\theta} &= R_s i_s e^{J\theta} + \frac{d(\phi_s e^{J\theta})}{dt} \\ V_s e^{J\theta} &= R_s i_s e^{J\theta} + \frac{d(\phi_s)}{dt} e^{J\theta} + J \omega \phi_s e^{J\theta} \end{aligned} \quad (2.3)$$

حيث إن :

$$\phi_s = L_s i_s + \phi_m \quad (2.4)$$

$\phi_m$  : الفيض الناتج عن المغناط الموجودة في الدوار والمترابط مع ملفات الثابت.

بتقسيم قيمة فيض الثابت المعطى بالعلاقة (2.4) في العلاقة (2.3) نحصل على العلاقة التالية :

$$\begin{aligned} V_s e^{J\theta} &= R_s i_s e^{J\theta} + \frac{d(L_s i_s + \phi_m)}{dt} e^{J\theta} + J \omega (L_s i_s + \phi_m) e^{J\theta} \\ V_s e^{J\theta} &= R_s i_s e^{J\theta} + L_s \frac{d(i_s)}{dt} e^{J\theta} + J \omega L_s i_s e^{J\theta} + J \omega \phi_m e^{J\theta} \end{aligned} \quad (2.5)$$

نقسم طرفي العلاقة (2.5) على قيمة  $e^{J\theta}$  فنحصل على العلاقة التالية :

$$V_s = R_s i_s + L_s \frac{d(i_s)}{dt} + J \omega L_s i_s + J \omega \phi_m \quad (2.6)$$

بتقسيم قيمة شعاعي التيار والجهد بمركباتها الثنائية تصبح العلاقة :

$$V_d + JV_q = R_s (i_d + Ji_q) + L_s \frac{d(i_d + Ji_q)}{dt} + J \omega L_s (i_d + Ji_q) + J \omega \phi_m \quad (2.7)$$

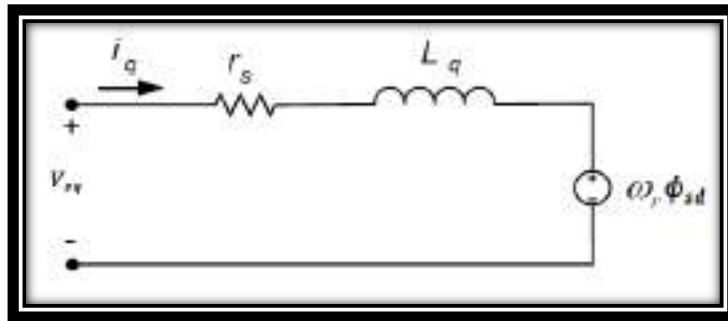
بفصل الجزء التخييلي عن الحقيقي نحصل على معادلة الجهد للmotor من أجل محاور إحداثيات ثنائية مرتبطة بالدور :

$$\begin{aligned} V_{sq} &= R_s i_{sq} + L_{sq} \frac{di_{sq}}{dt} + \omega L_{sd} i_{sd} + \omega \phi_m \\ V_{sq} &= R_s i_{sq} + L_{sq} \frac{di_{sq}}{dt} + \omega \phi_{sd} \quad (2.8) \end{aligned}$$

$$\begin{aligned} V_{sd} &= R_s i_{sd} + L_{sd} \frac{di_{sd}}{dt} - \omega L_{sq} i_{sq} \\ V_{sd} &= R_s i_{sd} + L_{sd} \frac{di_{sd}}{dt} - \omega \phi_{sq} \quad (2.9) \end{aligned}$$

## 5-2- معادلات الجهد للمحرك

من العلاقة (2.8) نرسم الدارة المكافئة للطور  $q$  لمحرك متوازن ذي مغناط دائمة :



الشكل (1-2) : الدارة المكافئة للطور  $q$

$$\begin{aligned} V_{sq} &= R_s i_{sq} + L_{sq} \frac{di_{sq}}{dt} + \omega L_{sd} i_{sd} + \omega \phi_m \\ V_{sq} - (\omega L_{sd} i_{sd} + \omega \phi_m) \cdot \omega &= R_s i_{sq} + L_{sq} \frac{di_{sq}}{dt} \quad (2.10) \end{aligned}$$

بإجراء تحويل لابلاس على العلاقة (2.10) نحصل على العلاقة التالية :

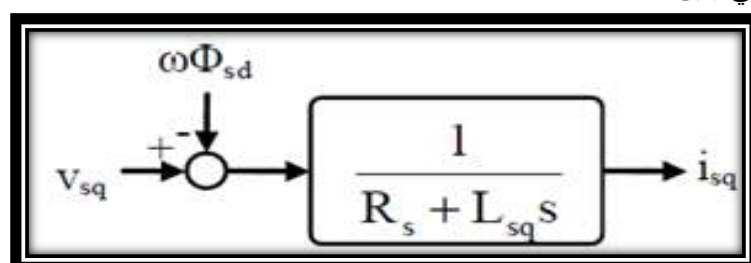
$$\frac{i_{sq}}{(V_{sq} - e_{sq})} = \frac{1}{L_{sq}s + R_s} \quad (2.11)$$

حيث إن  $e_{sq}$  تمثل القوة المحركة الكهربائية (الاضطراب الداخلي) على المحور  $q$ .

$$e_{sq} = \omega \cdot (L_{sd} i_{sd} + \phi_m) \quad (2.12)$$

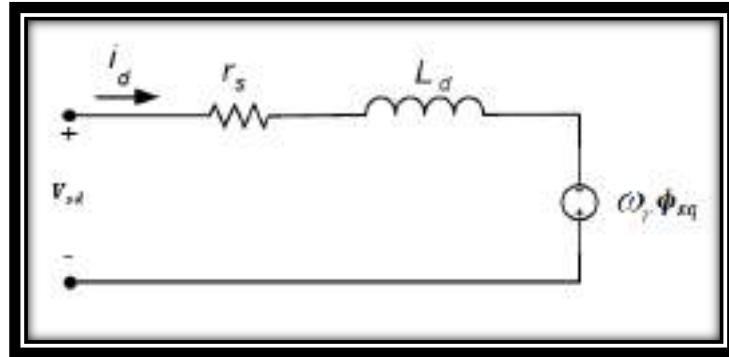
بالتالي حصلنا علىتابع نقل من المرتبة الأولى دخله الجهد  $V_{sq}$  مطروح منه الإضطراب الداخلي وخرجه هو

التيار  $i_{sq}$  والشكل التالي يبين ذلك :



الشكل (2-2) : المخطط الصنديقي المكافئ للطور  $q$

من العلاقة (2.9) نرسم الدارة المكافئة للطور  $d$  لمحرك متوازن ذي مغناط دائمة :



الشكل (3-2): الدارة المكافئة للطور d

$$\begin{aligned} V_{sd} &= R_s i_{sd} + L_{sd} \frac{di_{sd}}{dt} - \omega L_{sq} i_{sq} \\ V_{sd} + \omega L_{sq} i_{sq} &= R_s i_{sd} + L_{sd} \frac{di_{sd}}{dt} \end{aligned} \quad (2.13)$$

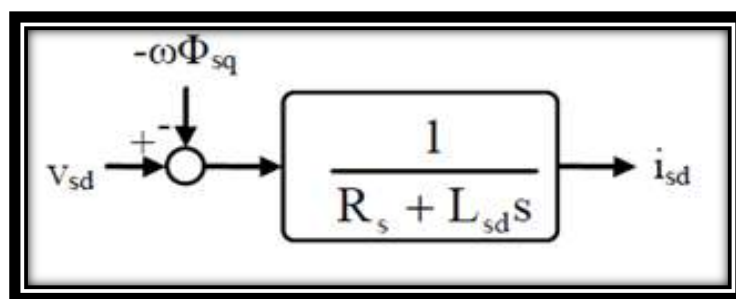
بإجراء تحويل لابلاس على العلاقة (2.13) نحصل على العلاقة التالية :

$$\frac{i_{sd}}{(V_{sd} + e_{sd})} = \frac{1}{L_{sd}s + R_s} \quad (2.14)$$

حيث إن  $e_{sd}$  تمثل القوة المحركة الكهربائية (الاضطراب الداخلي) على المحور d.

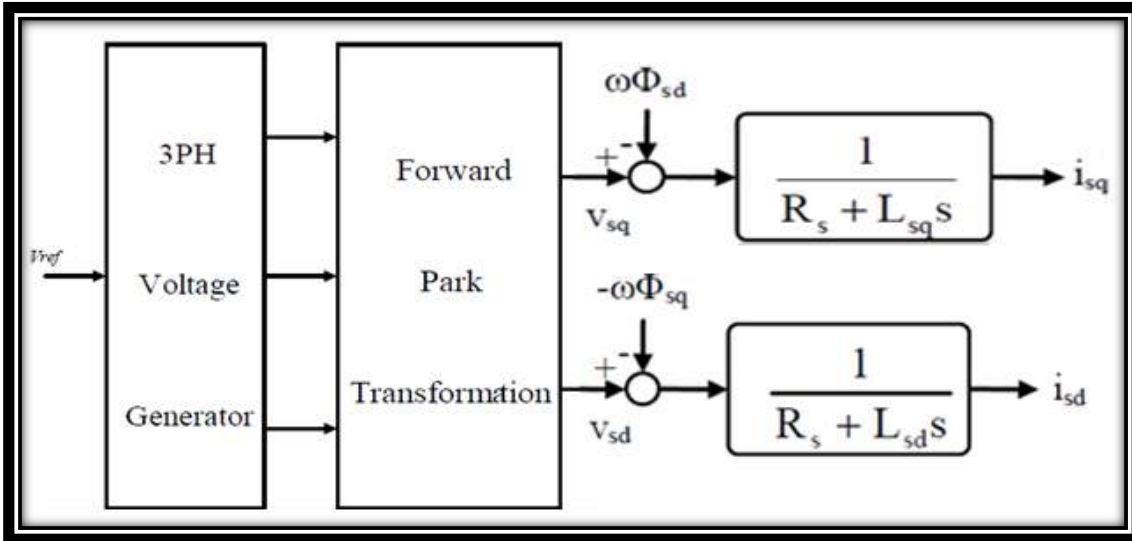
$$e_{sd} = \omega L_{sq} i_{sq} \quad (2.15)$$

بالتالي حصلنا على تابع نقل من المرتبة الأولى دخله الجهد  $V_{sd}$  مضاد إليه الإضطراب الداخلي والخرج هو التيار  $i_{sd}$  والشكل التالي يبين ذلك :



الشكل (2-4): المخطط الصنديقي المكافئ للطور (d)

بالتالي نحصل على علاقة التيارات الثانية  $i_{sq}$  و  $i_{sd}$  انطلاقاً من علاقة الجهد  $V_{sd}$  و  $V_{sq}$  التي حصلنا عليها من الجهد الثالثية عبر تحويل بارك الأمامي والجهود الثالثية التي حصلنا عليها من قيمة  $V_{ref}$  المرجعي كما نلاحظ في الشكل (5-2) :

الشكل (2-5): المخطط الصنوفي للتغيرات  $i_d, i_q$ 

## 2-6- معادلات العزم الكهرومغناطيسي في جملة محاور إحداثيات دوارة d,q

انطلاقاً من الجهد الثالثية فإن علاقة الاستطاعة تعطى وفق المعادلة التالية:

$$P_e = V_{sa} i_{sa} + V_{sb} i_{sb} + V_{sc} i_{sc} \quad (2.16)$$

أما في جملة محاور الإحداثيات الثانية ستصبح العلاقة :

$$P_e = \frac{3}{2} (V_{sd} i_{sd} + V_{sq} i_{sq}) \quad (2.17)$$

إذا استبدلنا  $V_{sd}$  و  $V_{sq}$  في هذه العلاقة بعلاقتهم (2.8) و (2.9) نجد ما يلي :

$$P_e = \frac{3}{2} \left( R_s (i_{sa}^2 + i_{sq}^2) \right) + \frac{3}{2} \frac{d}{dt} (i_{sa} \phi_{sd} + i_{sq} \phi_{sq}) + \frac{3}{2} \cdot \omega (i_{sq} \phi_{sd} - i_{sd} \phi_{sq}) \quad (2.18)$$

من العلاقة السابقة نلاحظ وجود ثلاثة حدود :

الحد الأول يمثل الاستطاعة الضائعة في الملفات والحد الثاني يمثل الطاقة المخزنة في الحقل المغناطيسي للدوران في الثغر الهوائية والحد الثالث يمثل الاستطاعة المتحولة من الشكل الكهربائي إلى الشكل الميكانيكي والذي يمثل الطاقة الميكانيكية على المحرك ومن هذا الحد يتم استنتاج العزم الكهرومغناطيسي كما يلي :

$$P_{em} = \frac{3}{2} \omega (i_{sq} \phi_{sd} - i_{sd} \phi_{sq}) \quad (2.19)$$

وتعطى علاقة الطاقة الميكانيكية للدوران بالشكل :

$$P_{em} = \omega_m \cdot T_{em} \quad (2.20)$$

بمساواة العلاقات (2.19) و (2.20) نحصل على :

$$\omega_m \cdot T_{em} = \frac{3}{2} \omega (i_{sq} \phi_{sd} - i_{sd} \phi_{sq}) \quad (2.21)$$

إن العلاقة التي تربط بين السرعة الميكانيكية والكهربائية للدوران تعطى بالعلاقة :

$$\omega_r = \frac{p}{2} \cdot \omega_m \quad (2.22)$$

$P$  : عدد الأقطاب

بتعويض العلاقة (2.21) في العلاقة (2.22) نجد :

$$\begin{aligned}\omega_m \cdot T_{em} &= \frac{3}{2} \frac{p}{2} \cdot \omega_m (i_{sq} \phi_{sd} - i_{sd} \phi_{sq}) \\ T_{em} &= \frac{3}{2} \frac{p}{2} (i_{sq} \phi_{sd} - i_{sd} \phi_{sq})\end{aligned}$$

بالتالي نحصل على علاقه العزم الكهرومغناطيسي للحرك :

$$T_{em} = \frac{3}{2} \frac{p}{2} (\phi_m i_{sq} + (L_{sd} - L_{sq}) i_{sd} i_{sq})$$

إن العزم الكهرومغناطيسي المولد من المحرك يقسم إلى مركبات :

1- مركبة التهيج : والتي تتلائم مع المغناطيس الدائم في الدوار وتمثل المركبة الأساسية للعزم بالنسبة للتفاعل بين الفيوس المتولدة من الثابت والدوار.

2- المركبة الردية : والتي تكون سالبة عندما ( $L_{sd} < L_{sq}$ ) وهذه المركبة بسبب أن المغناط مطمورة.  
بفرض أن ( $L_{sd} = L_{sq}$ ) أي مغناط سطحية نجد :

$$T_{em} = \frac{3}{2} \frac{p}{2} \phi_m i_{sq} \quad (2.23)$$

## 7-2- معادلة السرعة الميكانيكية

تعطى علاقه السرعة الميكانيكية بالعلاقه التالية :

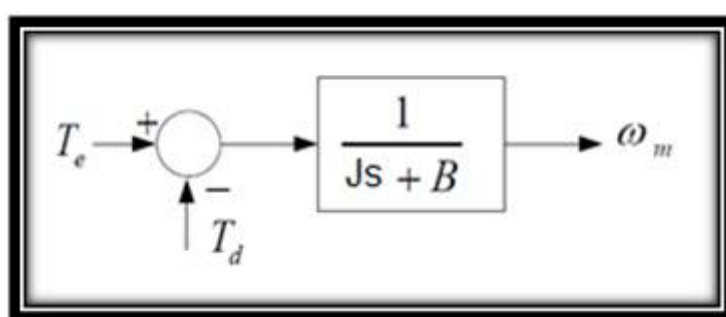
$$\begin{aligned}J \cdot \frac{d}{dt} \omega_r &= \frac{p}{2} (T_{em} - T_L) \\ J \cdot \frac{d}{dt} \omega_m &= (T_{em} - T_d - B \omega_m) \quad (2.24)\end{aligned}$$

حيث إن :

بعد التعويض وإجراء تحويل لابلاس على هذه العلاقة :

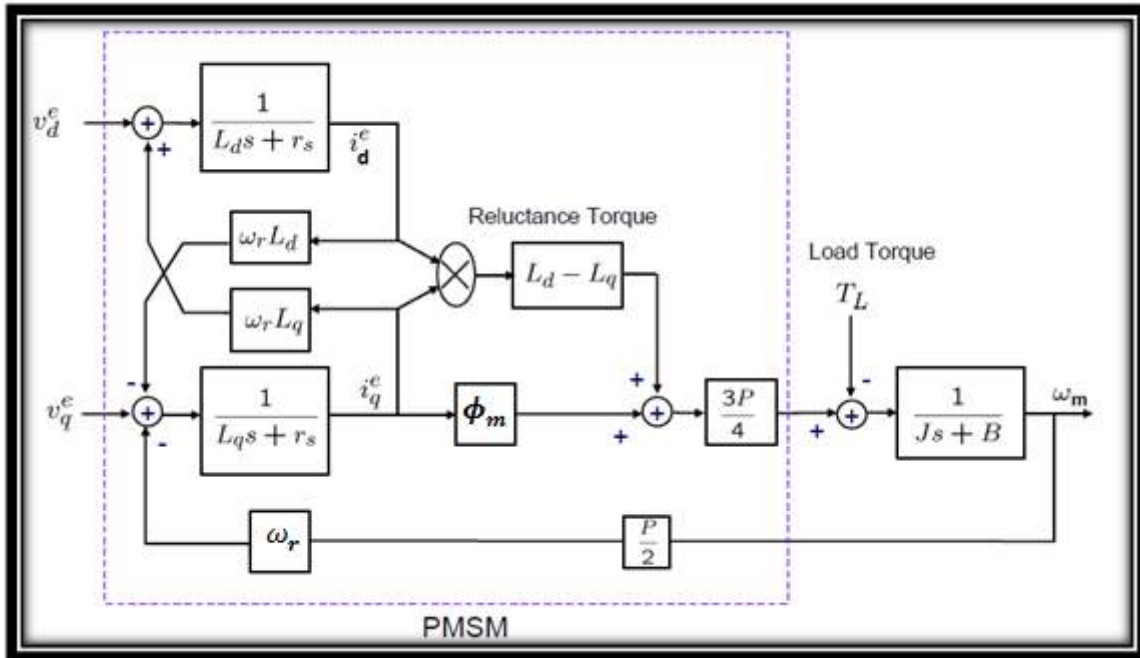
$$\frac{\omega_m}{T_{em} - T_L} = \frac{1}{Js + B} \quad (2.25)$$

بالتالي حصلنا على تابع نقل من المرتبة الأولى دخله العزم الكهرومغناطيسي  $T_{em}$  مطروح منه عزم الحمل  $T_d$  والخرج هو السرعة الميكانيكية  $\omega_m$ .



الشكل (2-6): المخطط الصنودي للجزء الميكانيكي

بالتالي حصلنا على النموذج الرياضي الكامل للmotor المترافق ذات المغناط الدائمة والذي سوف نعبر عنه بالشكل (7-2):



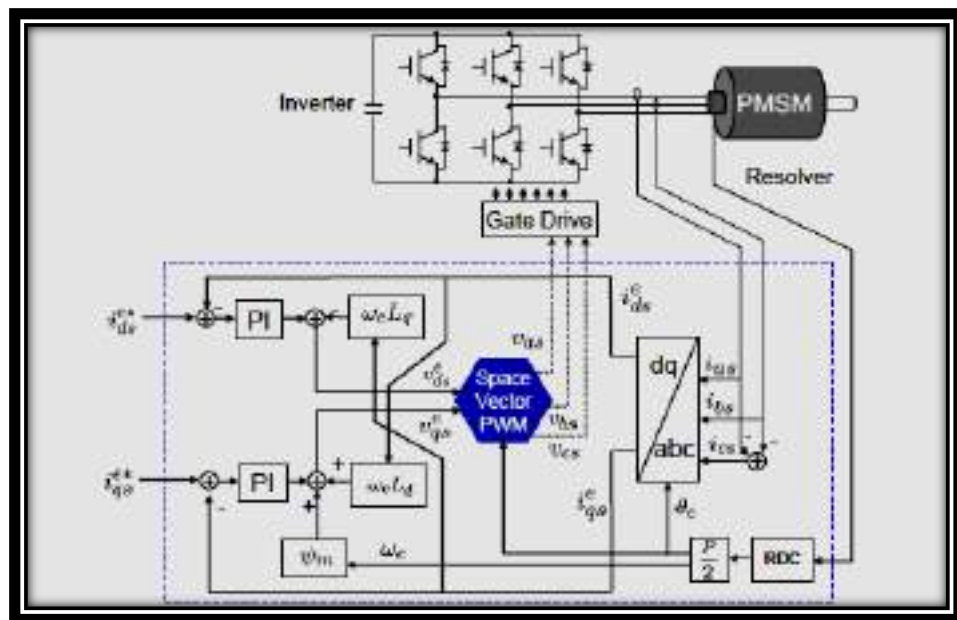
الشكل (7-2): نموذج المحرك المترافق ذات المغناط الدائمة PMSM

## 8-2 الخاتمة

في هذا الفصل قمنا بدراسة الموديل الرياضي للمotor المترافق ذات المغناط الدائمة وذلك انطلاقاً من معادلة الجهد الثالثية الطور، حيث قمنا بتحويلها إلى جهود ثنائية دوارة مرتبطة بالدور عن طريق تحويل بارك الأمامي ثم أوجدنا معادلات التيار انطلاقاً من معادلات الجهد الثنائي ثم أوجدنا معادلات العزم وأوجدنا علاقة السرعة وفي النهاية أوجدنا نموذج المحرك المترافق ذات المغناط الدائمة PMSM، وبالتالي أصبح بإمكاننا تطبيق هذا النظام على برنامج الماتلاب وتطبيق أنظمة القيادة المختلفة.

### الفصل الثالث

## أنظمة قيادة المحركات المترافق ذات المغناط الدائمة



**1-3 مقدمة**

تحول المحركات الكهربائية الطاقة الكهربائية إلى حركة ميكانيكية. وفي عصرنا الحالي بات استخدام المحركات الكهربائية أمراً حتىاً مع ظهورها في عدد غير محدود من التطبيقات بدءاً بالتطبيقات المنزلية (الثلجات، الغسالات، المراوح...) والتجارية (التدفئة، التهوية، التكييف ...) وصولاً إلى التطبيقات الصناعية (المشغولات، خطوط الإنتاج ...).

يدرك القليل من الناس فقط العدد الحقيقي للمحركات الكهربائية الموجودة في العالم، ومدى تأثيرها على البيئة. في الحقيقة، أكثر من عشرين مليون محرك يتم تصنيعها يومياً في أنحاء العالم ! أي ما يعادل سبعة مليارات محرك جديد سنوياً ! لسوء الحظ، فإن الغالبية العظمى من هذه المحركات تكون صغيرة لا تتجاوز استطاعتها بضعة كيلووات، وهذه المحركات تكون عادة ضعيفة المردود إذ يصل مردودها إلى 50% فقط، وهذا يعني أن نصف الاستطاعة المستهلكة في المحرك تتحول إلى عمل مفيد. وهذا يمثل تهديداً للبيئة وزيادة كبيرة في التكاليف، خاصةً إذا علمنا أن نصف الطاقة المستهلكة في العالم تتبعها المحركات الكهربائية. ومن هنا كان من الضروري تطوير نظريات جديدة للتحكم بالمحركات الكهربائية، فظهرت نظريات التحكم الشعاعي VectorControl التي تتيح تشغيل المحرك بأداءٍ عالي عند السرعات والعزم المختلفة وبأقل قدر ممكن من الطاقة.

في هذا الفصل سوف ندرس نظامي قيادة :

- نظام  $V/F=constant$ .

- نظام التحكم بالحقل الموجي FOC.

وسوف نقوم بتمثيل النظمتين في بيئة MATLAB وتطبيقهما على نموذج المحرك المترافق ذي المغناط الدائمة ومناقشة النتائج التي سيتم الحصول عليها بعد تنفيذ الخوارزميات في البيئة البرمجية المستخدمة.

**2-3 المنظمات الإلكترونية المستخدمة في أنظمة القيادة**

انتشرت المنظمات الإلكترونية بكثرة ودخلت مع نظم التحكم المتقدمة نظراً لحيوية الدور الذي تلعبه ضمن نظام التحكم ، وأهم هذه المنظمات هو المنظم التناصي\_التكاملي\_التقاضي (PID ).

تلعب المنظمات في نظم التحكم الصناعية دوراً أساسياً في أداء النظام وفعاليته، على الرغم من أن معظم المنظمات تعرف على أنها منظمات PID، إلا أن المنظم الأكثر استخداماً في نظم التحكم الصناعية هو المنظم PI.

قديماً، بنيت المنظمات اعتماداً على الدارات الإلكترونية والعناصر التشابهية (كمضخم العمليات) وتطورت مع تطورها، ولكن في الوقت الحالي وبعد ثورة المعالجات التي وفرت قدرات معالجة كبيرة، وبأسعار زهيدة مقارنة مع الدارات الإلكترونية، صار من الممكن بناء المنظم بشكل برمجي ضمن نظام التحكم من دون الحاجة إلى بناءه فيزيائياً، وهذا ما نراه في نظم التحكم الحديثة وخصوصاً نظم التحكم الشعاعي.

يتتألف المنظم PID من ثلاثة أقسام :

P: المنظم التناصي.

I: المنظم التكاملي.

D: المنظم التفاضلي.

ويقوم المنظم بالمهام التالية :

- مقارنة القيمة المقاسة للكميات المنظمة مع القيمة المطلوبة.
- توليد إشارة خرج تتعلق قيمتها بقيمة خطأ الدخل و زمن حدوثه وسرعة تغيره.
- تأمين شكل واستطاعة إشارة الخرج اللازمة لتحريك عنصر التنفيذ.

وبالتالي يؤثر تطبيق المنظم على استجابة النظام الزمنية والتي تتضمن زمن الصعود و زمن الاستقرار وكذلك نسبة تجاوز الهدف ودقة استجابة هذا النظام وسنشرح فيما يلي تأثير بعض الأنواع من المتحكمات على النظام المطبق عليه.

### 1- المنظم التناسبى

يعبر المنظم التناسبى عن ربح إشارة الخطأ (إشارة الدخل - إشارة الخرج ) أي يمكن التحكم بهذا الربح عن طريق إضافة هذا المنظم، وبالتالي فالمنظم التناسبى يؤثر على سرعة النظام (سرعة وصول النظام إلى القيمة المطلوبة) .

$$U(t) = k_p e(t)$$

حيث:

$e = r - y$  : إشارة الخطأ بين إشارة الخرج  $y$  والإشارة المرجعية  $r$  .

$k_p$ : ثابت التناوب (الربح) وهو ثابت المنظم التناسبى.

### 2- المنظم التكاملى

ينتج هذا المنظم في النظام بإضافة متكامل ويستخدم لإعطاء الدقة اللازمة لنظام التحكم حيث يكونتابع المنظم على الشكل التالي:

$$U(t) = k_i \int_0^t e(t) dt$$

حيث:

$k_i$  : ثابت المنظم التكاملى.

### 3- المنظم التناسبى التكاملى

يعطى تابع هذا المنظم بالشكل :

$$U(t) = k(e(t) + \frac{1}{T_i} \int_0^t e(t) dt)$$

هذا النظام يؤمن تحقيق سرعة للنظام عن طريق المنظم التناسبى ويؤمن دقة في تصحيح الخطأ عن طريق المنظم التكاملى وبالتالي هو الأكثر استخداماً في أنظمة القيادة.

## محاسن ومساوئ استعمال المنظمات في نظام معين

سلبيات	أيجابيات	
<input checked="" type="checkbox"/> لا يلغى الخطأ في الحالة المستقرة. <input checked="" type="checkbox"/> يزداد اهتزاز النظام بزيادة ثابت التاسب (انخفاض درجة الاستقرار).	زيادة سرعة النظام أي بمعنى آخر تقليل زمن الصعود. ينقص مقدار الخطأ بزيادة ثابت التاسب في الحالة المستقرة.	نظم التناسبي
<input checked="" type="checkbox"/> يزيد من اهتزاز النظام (انخفاض درجة الاستقرار).	يؤدي إلى إلغاء الخطأ في الحالة المستقرة من أجل إشارة الخطوة.	نظم التكاملي

3-3- التحكم وفق مبدأ  $V/f$  ثابتنظريّة التحكم  $V/f$ 

تعتبر طريقة التحكم  $V/f$  من الطرق الأولى للتحكم بالسرعة في نظام الحلقة المفتوحة. يمكن استنتاج القانون الأساسي لنظام  $V/F$  انطلاقاً من معادلات جهود المحرك المترافق المعبر عنها في نظام محاور الإحداثيات الثانية المتعمدة المرتبطة بالثابت ، حيث تعطى علاقة شعاع جهد الثابت في نظام المحاور المرتبطة بالثابت وفقاً لما يلي :

$$V_s = R_s i_s + \frac{d(\phi_s)}{dt} \quad (3.1)$$

بإهمال هبوط الجهد على مقاومة الثابت ، وباعتبار أن شكل موجة جهد التغذية للثابت جيبية، يمكن كتابة شعاع جهد الثابت كما يلي :

$$V_s = \frac{d(\phi_s)}{dt} = J \omega_s \phi_s \quad (3.2)$$

حيث إن  $V_s$  هو شعاع جهد الثابت في نظام محاور إحداثيات ثنائية متعمدة منسوبة للثابت. من العلاقة السابقة يمكن كتابة علاقة شعاع جهد الثابت بدالة مطال شعاع فيض الثابت في الحالة المستقرة على الشكل التالي :

$$V_s = \omega_s \phi_s \quad (3.3)$$

وبالتالي نجد :

$$\frac{V_{s\alpha\beta}}{2\pi f_s} = \phi_{s\alpha\beta} = \frac{V_{sabc}}{2\pi f_s} = \phi_{sabc} \quad (3.4)$$

$V_{s\alpha\beta}$ ،  $V_{sabc}$  مطال شعاع جهد الثابت في نظام المحاور الثلاثية والثانية على التوالي.

$\phi_{sabc}$  ،  $\phi_{sa\beta}$  مطال شعاع فيض الثابت في نظام المحاور الثلاثية والثانية على التوالي. تعبر العلاقة (3.4) عن القانون الأساسي لنظام F/V، وتنص على أن نسبة مطال شعاع جهد الثابت على تردد المقادير الكهربائية في الثابت مساوية لمطال شعاع فيض الثابت.

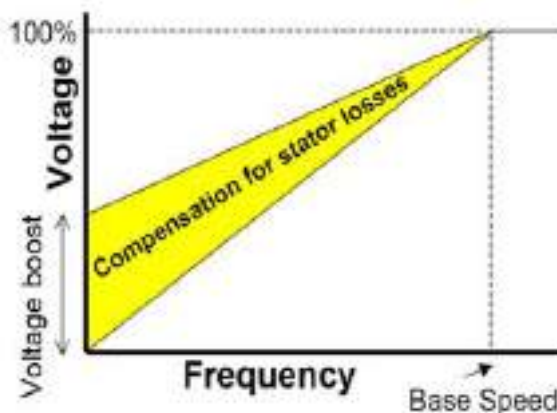
حيث يتم في هذا النظام المحافظة على تدفق مغناطيسي ثابت في المحرك أي المحافظة على إمكانية توليد عزم كهرومغناطيسي ثابت للمحرك من خلال تأمين نسبة ثابتة بين الجهد وتردد الثابت، حيث إنه من خلال تغيير قيمة تردد الثابت يمكن التحكم بسرعة المحرك لكن التغيير في قيمة التردد سوف يغير قيمة الفيض المغناطيسي في الثغرة الهوائية وبالتالي تغيير العزم.

وللحافظة على قيمة ثابتة لهذا الفيض وبالتالي قيمة ثابتة للعزم يجب المحافظة على نسبة ثابتة بين قيمة جهد وتردد التغذية للجزء الثابت باعتبار أن هبوط الجهد على ممانعات الجزء الثابت مهملاً.

إذاً، أي تغيير في تردد المقادير الكهربائية في الثابت (وبالتالي تغيير في سرعة المحرك) يجب أن يرافقه تغيير مماثل في مطال جهد الثابت، بحيث تبقى النسبة  $V_s/\omega_s$  ثابتة.

إن هذه الطريقة تصبح غير مجده في حال العمل عند تردداتٍ منخفضةٍ (سرعةٌ منخفضةٌ) مع وجود عزم حمولة كبير، والسبب يعود إلى أن هبوط الجهد الناتج عن مرور التيار في ممانعة الثابت يصبح غير مهملاً، وبالتالي تصبح المعادلة الأخيرة غير صحيحة، وعند السرعة صفر فإن جهد التغذية كلماً مستهلك بمقاومة الثابت وبالتالي يمكن التغلب على هذه الظاهرة بتعويض هبوط الجهد على ممانعة الثابت، وهذا التعويض يحافظ على الفيض المغناطيسي ثابتاً بحيث أن الجهد الذي ستتم إضافته يعتمد بشكل أساسى على تيارات الثابت التي تتناسب مع العزم الكهرومغناطيسي.

إن هذا الجهد يدعى بجهد التعزيز (Voltage-Boosting) والذي يتم ضبطه من أجل كل قيمةٍ لسرعة مع مراعاة أن العلاقة هي علاقة غير خطية، والشكل التالي يبين منحنى توليد جهد التعزيز.



الشكل (1-3) : منحنى توليد جهد التعزيز

محاسن و مساوى طريقة التحكم  $V/f$ 

المحاسن

أ. إمكانية ضبط السرعة بدون حساسات.

ب. بسيطة ذات كلفة منخفضة.

ج. قوية في حالة غياب التغذية العكسيّة (في حالة عدم تنظيم السرعة).

المساوى

أ. استجابة بطيئة (الحالة العابرة تستغرق وقت طويل نسبياً).

ب. أداء ضعيف.

ج. لا يوجد تحكم بالتدفق .

د. لا يوجد تحكم بالسرعة (بل ضبط) أي أن السرعة تضبط ولا يتحكم بها.

## 4-3 المحاكاة والنتائج التمثيلية

باستخدام نموذج المحرك المترافق ذي المغناط الدائمة الذي تم تمثيله باستخدام بيئة ماتلاب سنقوم بضبط سرعة هذا المحرك باستخدام نظام القيادة  $V/f$  ثابت، وستتم الدراسة على ثلاثة خطوات هي:

1) ضبط سرعة المحرك بدون إضافة جهد داعم.

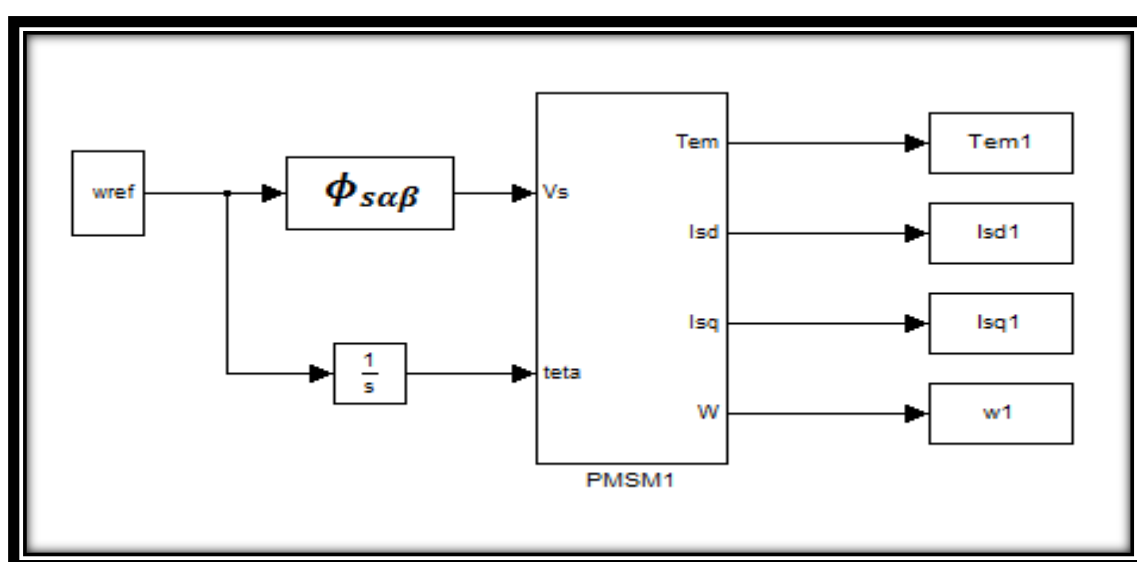
2) ضبط سرعة المحرك مع إضافة جهد داعم.

3) تنظيم سرعة المحرك باستخدام منظم PI.

نظام القيادة  $V/F=constant$  في الحلقة المفتوحة بدون إضافة جهد داعم

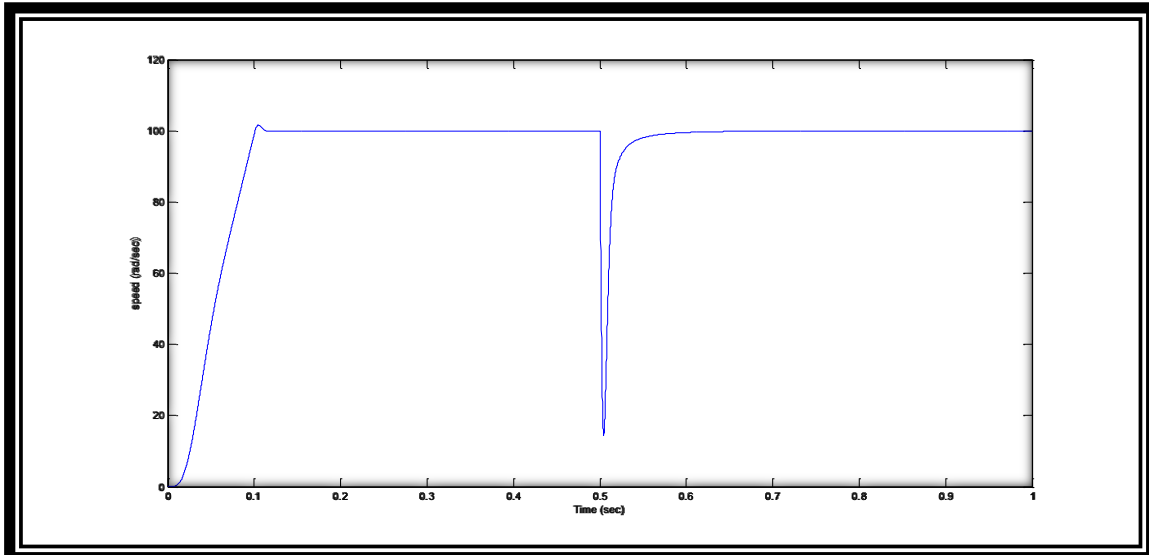
يبين الشكل التالي المخطط الصنديقي لاستخدام نظام القيادة  $V/F=constant$  مع محرك PMSM

حيث قمنا بتتأمين نسبة ثابتة بين الجهد والتردد من أجل قيمة مرجعية للسرعة.



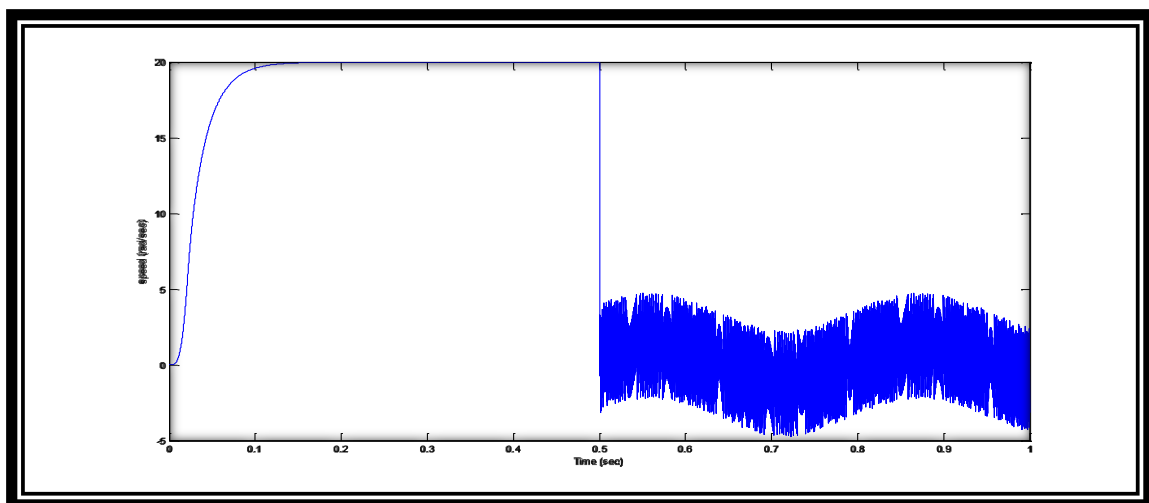
الشكل (3-2) : تطبيق الجهد والتردد على المحرك في نظام  $V/F=constant$

يتم التحكم بالسرعة مع المحافظة على قيمة ثابتة للفيض المغناطيسي للثابت والتي هي القيمة الاسمية تقوم بإدخال سرعة المحرك بشكل متدرج حتى تصل إلى  $(rad/sec)$  100، ويتم تطبيق الحمل الاسمي على المحرك في اللحظة  $0.5(sec)$ .



الشكل (3-3) : منحني السرعة

من الشكل نلاحظ أن السرعة عند التحميل عادت على قيمتها المرجعية وذلك كون المحرك المدروس من النوع المتوقف، ونلاحظ أن السرعة انخفضت بشكل كبير لحظة التحميل بسبب عدم تنظيم الفيض في الثابت. في حال العمل في نظام الحلقة المفتوحة الزاوية تفرض على النظام من القيمة المرجعية للسرعة أما في حالة نظام الحلقة المغلقة فالزاوية تأتي من اشتلاف سرعة المحرك المقاومة وبالتالي لا تسبب الانخفاض الظاهر. كما مر معنا سابقاً فإنه عند تطبيق سرعات منخفضة فإن تأثير إهمال هبوط الجهد على مقاومات الثابت سوف يكون واضحأً، انظر إلى الشكل (3-4) حيث كانت القيمة المطلوبة لضبط السرعة هي  $20(rad/sec)$ .

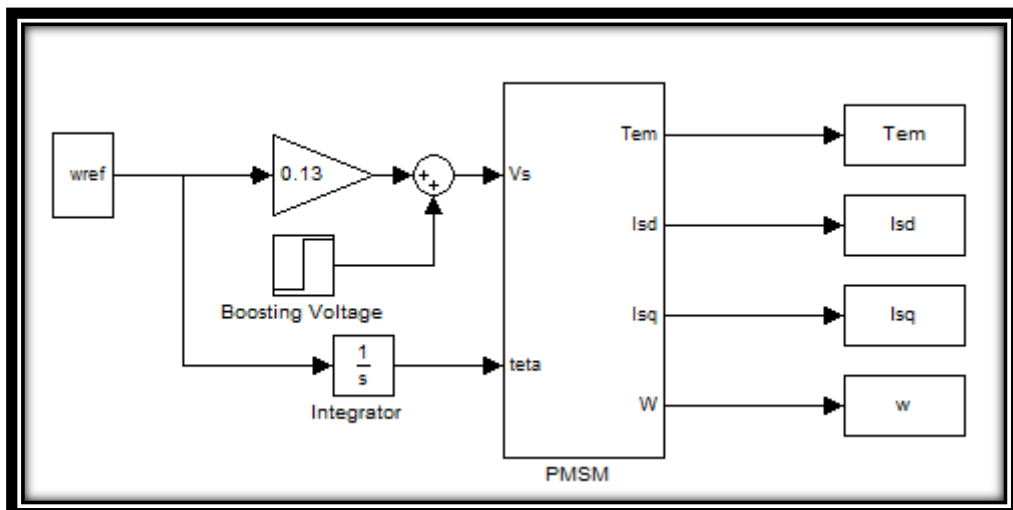


الشكل (3-4) : منحني السرعة عند تطبيق سرعة منخفضة

نلاحظ من الشكل ظهور تأثير هبوط الجهد على سرعة وأداء المحرك عند التحميل وبالتالي لا بد من تعويض هبوط الجهد هذا بإضافة جهد داعم.

### نظام القيادة $V/F=constant$ في الحلقة المفتوحة مع إضافة جهد داعم

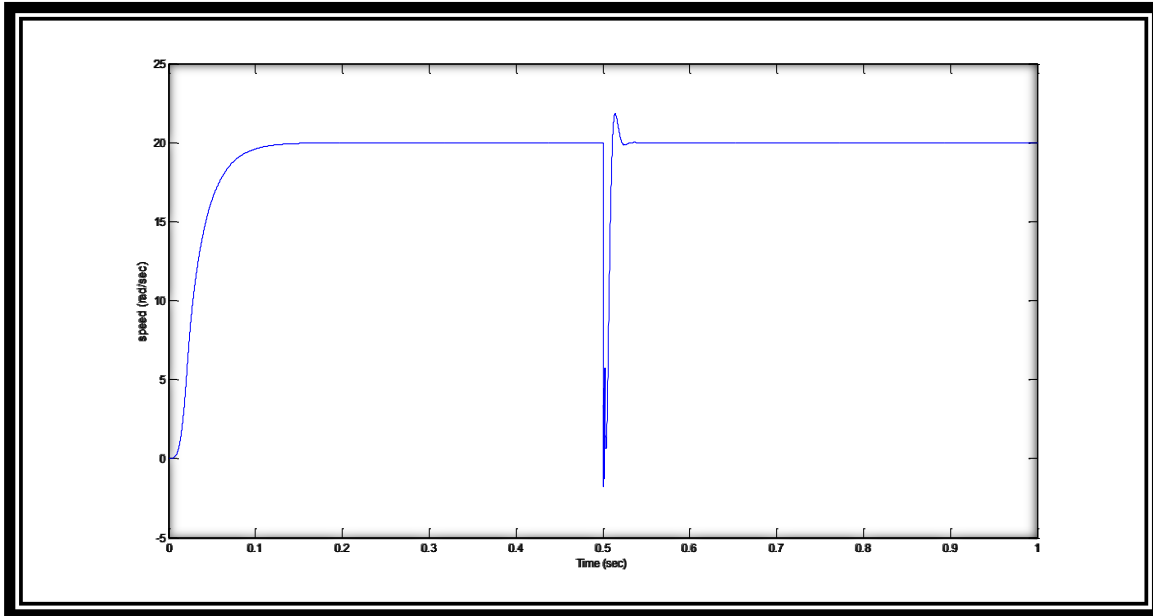
يبين الشكل (5-3) المخطط الصندوقي لعملية ضبط سرعة المحرك المترافق في نظام  $V/F=constant$  وذلك مع إضافة جهد داعم لحل مشكلة تأثير هبوط الجهد على مقاومة الثابت عند تطبيق سرعات منخفضة.



الشكل (3-5) : المخطط الصندوقي لضبط سرعة المحرك في نظام  $V/F=constant$  مع إضافة جهد داعم

إن إضافة الجهد الداعم لتعويض هبوط الجهد الناتج عن مقاومة الثابت سيكون له تأثير سلبي عند العمل على فراغ (الدخول في الإشباع المغناطيسي) وبالتالي فإن إضافة الجهد الداعم كقيمة ثابتة مهما كانت سرعة دوران المحرك (منخفضة أو مرتفعة ) ستسبب لنا المشاكل التالية :

- 1- عند سرعات دوران منخفضة سيدخل المحرك في الإشباع المغناطيسي بصورة كبيرة عند العمل على حمولات صغيرة.
  - 2- عند سرعات قريبة من السرعة الاسمية سيتم تطبيق جهود أعلى من الجهد الاسمي وسيكون هناك اشباع مغناطيسي ولكن أقل مما هو عليه عند السرعات المنخفضة.
- والحل هو أن يتم إدخال قيمة الجهد الداعم بشكل يتعلق مع سرعة الدوران ومع الحمولة، أي كلما أردنا تجاوز مشكلة سنضطر إلى زيادة تعقيد الخوارزمية.
- برسم منحني السرعة عند ضبط سرعة المحرك على القيمة (rad/sec) 20 نحصل على المنحني التالي :



الشكل (6-3) : منحني السرعة عند تطبيق سرعة منخفضة

يجب أن ننتبه أن هناك حدود معينة لقيمة السرعة المنخفضة التي يمكن تطبيقها على المحرك، لأنه عند قيم منخفضة للسرعة سيكون للجهد أيضاً قيمة منخفضة يمكن عندها أن لا يكون المحرك قادرًا على العمل.

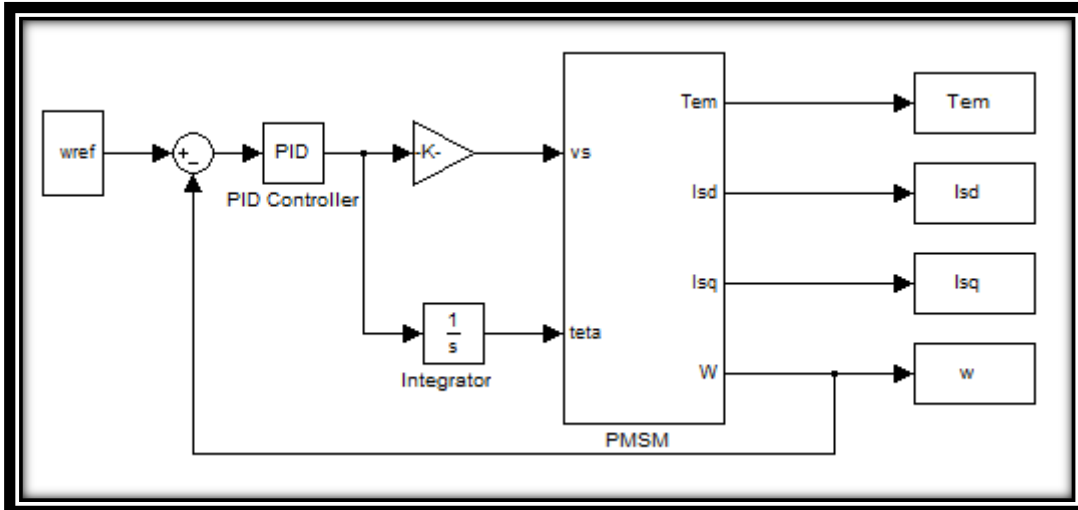
### نظام القيادة $V/F=constant$ في الحلقة المغلقة

يمكن استخدام نظام  $V/F=constant$  في الحلقة المغلقة وذلك للحصول على سرعة أكبر في تصحيح الخطأ статистический وذلك باستخدام منظم من نوع تناسبي تكاملی.

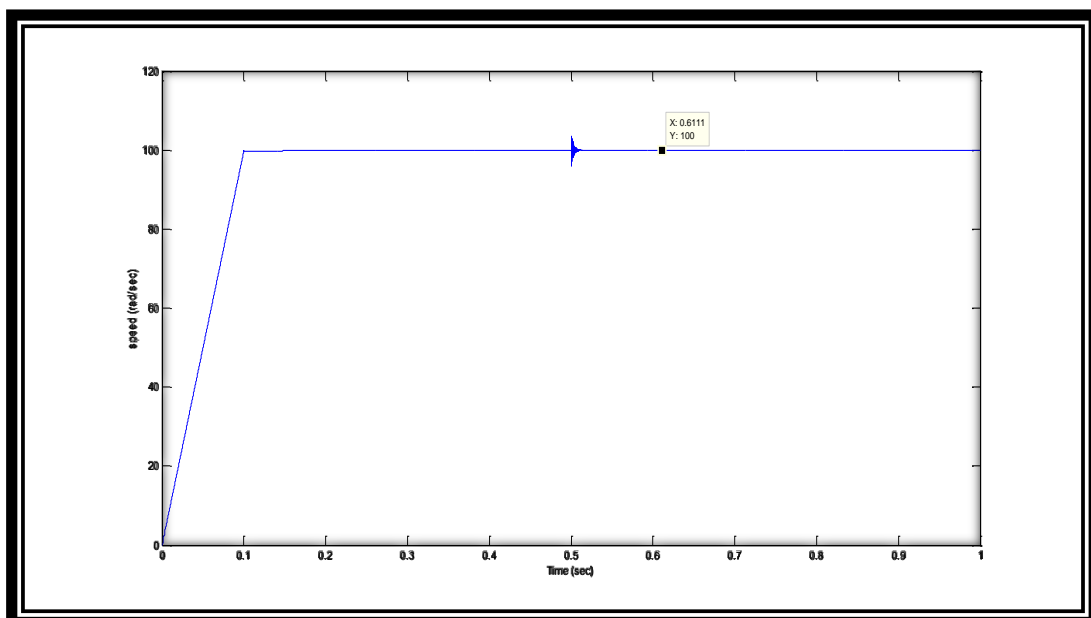
ثابت المنظم التناسبي يؤثر على سرعة الاستجابة وعلى الاهتزاز في الحالة المستقرة، وقيمة ثابت المنظم التكاملي تؤثر على قيمة الففرة في الحالة العابرة كما تؤثر عند تطبيق الحمل.

يتم اختيار ثوابت المنظم PI تجريبياً لأننا لم نتمكن من إيجاد تابع الانتقال للنظام، حيث نبدأ في البداية بزيادة قيمة الثابت  $K_p$  مع وضع قيمة  $K_i$  على قيمة الصفر حتى الحصول على استجابة السرعة بدون تجاوز للقيمة المرجعية ومن ثم نبدأ بزيادة الثابت  $K_i$  تدريجياً حتى الحصول على الاستجابة المرغوبة للسرعة.

يبين الشكل (7-3) المخطط الصندوقى لاستخدام نظام القيادة  $V/F=constant$  في الحلقة المغلقة باستخدام منظم من نوع PI.



الشكل (7-3) : المخطط الصنديقي لتنظيم سرعة المحرك في نظام  $V/F=\text{constant}$  باستخدام منظم PI  
رسم منحني السرعة عند ضبط سرعة المحرك على القيمة (rad/sec) 100 نحصل على المنحني الموجود  
في الشكل (8-3).



الشكل (8-3) : منحني سرعة المحرك عند تنظيم السرعة باستخدام منظم PI

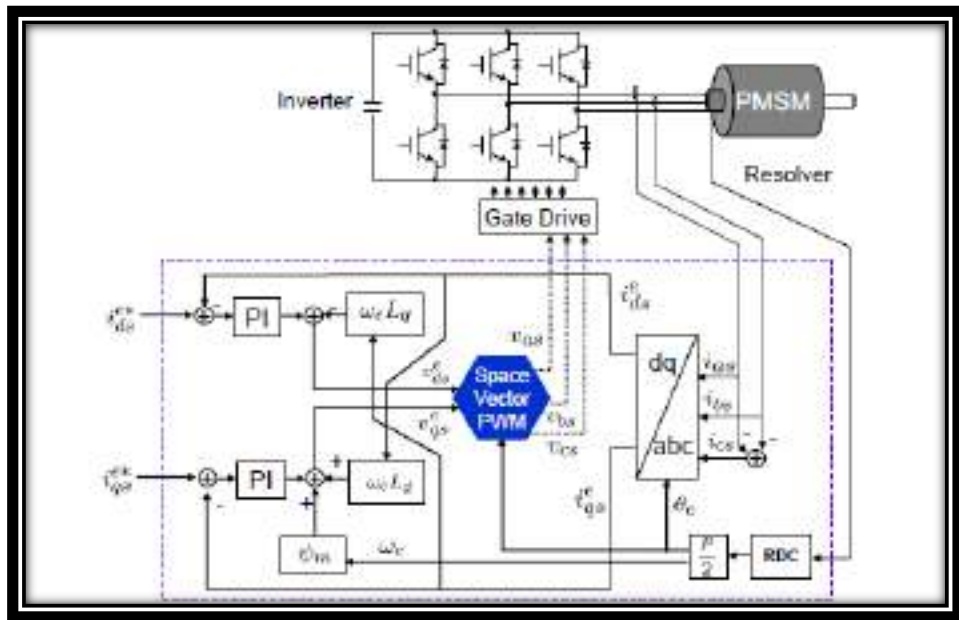
### التحكم الشعاعي Vector Control

#### -5- مقدمة

لفهم مبدأ العمل في التحكم بالحقل الموجه سنلقي نظرة سريعة على محرك التيار المستمر ذي التهيئة المستقلة. يتم في هذا المحرك التحكم بتغذية الثابت والدوار بشكلٍ مستقل، وتنظر الدراسة الكهربائية للمحرك أنه يمكن التحكم بالعزم وبالفيض بشكلٍ منفصل، حيث إن شدة الحقل المغناطيسي (بكلام آخر: قيمة تيار التهيئة) تحدد قيمة الفيض، بينما يحدد التيار المار في ملفات الدوار قيمة العزم المتولد على محور المحرك. والنقطة المهمة هنا أنه يتم التحكم بالتدفق عبر ملفات الثابت (من خلال تيار التهيئة) ليبقى الفيض الناتج عن ملفات الدوار متعمداً مع الحقل المغناطيسي للثابت.

ويعكس محرك التيار المستمر فإنه في المحركات المترادفة يعتمد الفيض والعزم بشكل أساسى على بعضهما البعض.

والهدف من التحكم بالحقل الموجه في المحركات المترادفة والمحركات التحريرية هو توفير إمكانية فصل التحكم بالعزم المتولد عن التحكم بالفيض المغناطيسي. أي الهدف هو تقليد مبدأ التحكم في محرك التيار المستمر. وسنستعرض فيما يلي شكلاً يوضح البنية الأساسية لنظام تحكم بتوجيه الحقل.

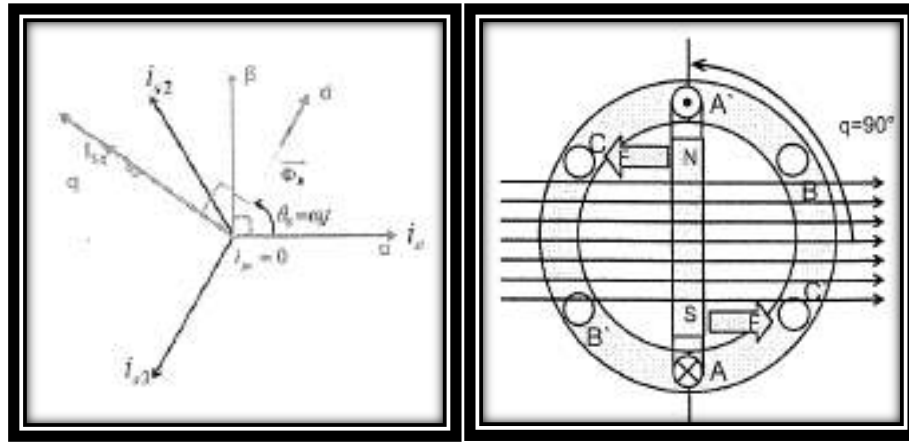


الشكل (9-3) : مخطط لنظام تحكم FOC بشكله الأساسي

#### -6- نظام القيادة FOC (Field Oriented Control)

إن طريقة التحكم بالفيض الموجه هي أفضل اختيار من أجل تطبيقات الجهد المنخفض والسرعات المنخفضة، حيث إنه في هذه الطريقة يمكننا التحكم بالعزم في السرعات المنخفضة ضمن مجال واسع. إن هذا النظام هو نظام تحكم

مغلق مشابه لنظام قيادة محركات التيار المستمر، حيث من خلاله يمكن التحكم بالموضع والسرعة والعزز . في هذا النظام يتم قيادة المحرك عن طريق التحكم بالتيازات في الثابت حيث إن أساس هذه الطريقة هي توجيهه تيار الثابت بحيث يولد فيض مغناطيسي يتعامد مع الفيض المغناطيسي المترافق في الدوار وبالتالي الحصول على عزم أعظمي للحرك أي يعني آخر يتم توجيه فيض الثابت وفق المحور  $q$  .



الشكل (3-10) : الشكل يبين توجيه فيض الثابت وفق المحور  $q$

التحكم الشعاعي للحرك المترافق ذي المغناط الدائمة مشتق من النموذج الديناميكي لهذا المحرك .  
تعطى معادلة العزم الكهرومغناطيسي في المحرك المترافق ذي المغناط الدائمة :

$$T_{em} = \frac{3}{2} \frac{p}{2} (M_{df} i_f i_{sq} + (L_{sd} - L_{sq}) i_{sd} i_{sq}) \quad (3.5)$$

حيث إن الفيض المتشابك بين الدوار والثابت يعطى بالعلاقة :

$$\phi_m = \phi_f = M_{df} i_f \quad (3.6)$$

يعتبر الفيض في الدوار ثابتاً ما عدا عند تأثير الحرارة. حساسية المغناط للحرارة تقلل كثافة الفيض المتبقى وبالتالي يزداد الفيض مع إرتفاع درجة الحرارة.  
والحصول على عزم أعظمي لدينا الحالات التالية:

1) إذا كانت المغناط سطحية ( $L_{sd} = L_{sq}$ ) : فإن الحد الثاني من معادلة العزم لن يكون له أي تأثير على قيمة العزم وبالتالي في هذه الحالة يجب جعل  $i_{sd}$  مساوياً للصفر أو يعني آخر توجيه شعاع التيار  $i_s$  باتجاه المحور  $q$ . وبالتالي يصبح  $T_{em}$  أعظمي وتصبح علاقه العزم :

$$T_{em \ max} = \frac{3}{2} \frac{p}{2} \phi_m i_{sq} \quad (3.7)$$

2) إذا كانت المغناط مطمورة ( $L_{sd} < L_{sq}$ ) : ففي هذه الحالة يجب جعل قيمة التيار  $i_{sd}$  سالبة بحيث يصبح للجاء  $(i_{sd} i_{sq})$  قيمة سالبة.

3) إذا كان الدوار ملفوف أقطاب بارزة ( $L_{sd} > L_{sq}$ ) : فإن العزم الناتج عن اختلاف المحارضات على المحورين الطولي والعرضي لن يكون معادلاً إنما سيكون له قيمة ففي هذه الحالة يجب جعل قيمة التيار  $i_{sd}$  أكبر من الصفر بحيث يصبح للجاء  $(i_{sd} i_{sq})$  قيمة موجبة أعظمية.

بما أن المحرك المدروس هو محرك متوازن ذو مغناط دائمة سطحية غير بارزة وهذا ما يوافق الحالة الأولى من حالات الخوارزمية وكما نعلم أن العزم الذي يولده المحرك يتتناسب مع التيارات المستجدة، وبالعودة إلى المعادلة (3.5) نلاحظ أن التيار  $i_{sd}$  لن يؤثر على قيمة العزم النهائي مما كانت قيمته وكم ردود نهائية للمحرك نلاحظ أن قيمة التيار  $i_{sd}$  لن يستفاد منها بل ستزيد من ضياعات جول على المحور العرضاني لذلك ولزيادة مردود المحرك سنقوم بتنظيم التيار  $i_{sd}$  إلى الصفر أو بمعنى آخر توجيه شعاع تيار الثابت باتجاه المحور الطولي ليعطي بذلك المحرك عزماً أعظى.

باعتبار أن المدخل هي تيارات ، فإن التيارات الثلاثية هي :

$$\begin{aligned} i_{sa} &= i_s \sin(\omega t + \gamma) \\ i_{sb} &= i_s \sin(\omega t + \gamma - \frac{2\pi}{3}) \\ i_{sc} &= i_s \sin(\omega t + \gamma + \frac{2\pi}{3}) \end{aligned} \quad (3.8)$$

حيث ( $\omega$ ) هي السرعة الكهربائية للدوران .

( $\gamma$ ) هي الزاوية بين الحقل الدوار (المحور d) وشعاع تيار الثابت وتعرف بزاوية العزم .

باستخدام تحويل بارك ، تعطى المركبات  $q,d$  لشعاع تيار الثابت في الجملة المرجعية للدوران بالعلاقات:

$$i_{sd} = i_s \cos(\gamma) \quad (3.9)$$

$$i_{sq} = i_s \sin(\gamma) \quad (3.10)$$

تيارات المحاور  $q,d$  هي ثابتة في الجملة المرجعية الدوارة طالما أن ( $\gamma$ ) هي ثابتة بالنسبة لعزم الحمل المعطى.

مركبات شعاع جهد الثابت في النموذج  $d$  هي :

$$V_{sd} = R_s i_{sd} + L_{sd} \frac{di_{sd}}{dt} - \omega L_{sq} i_{sq} \quad (3.11)$$

$$V_{sq} = R_s i_{sq} + L_{sq} \frac{di_{sq}}{dt} + \omega L_{sd} i_{sd} + \omega \phi_f \quad (3.12)$$

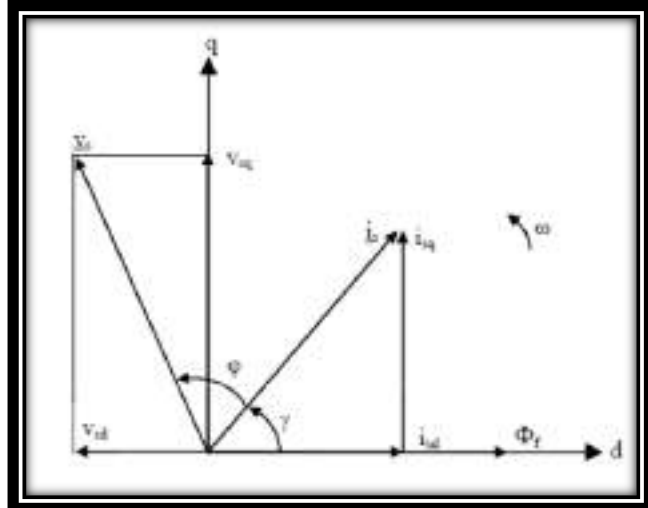
مركبات شعاع جهد الثابت في الحالة المستقرة يعطى بالعلاقة :

$$V_{sd} = R_s i_{sd} - \omega L_{sq} i_{sq} \quad (3.13)$$

$$V_{sq} = R_s i_{sq} + \omega L_{sd} i_{sd} + \omega \phi_f \quad (3.14)$$

شعاع جهد الثابت في الحالة المستقرة يعطى بالعلاقة :

$$V_s = (R_s - j\omega L_{sq}) i_s + j\omega (L_{sd} - L_{sq}) i_d + j\omega M_{df} i_f \quad (3.15)$$



الشكل (11-3) : الشكل يبين شعاع جهد الثابت

بما أن هذه ثوابت، فهي مشابهة تماماً للمتر accr وتيارات الحقل في المحرك DC ذي التهبيج المستقل.  
بتعميص تيارات المحاور  $q, d$  في معادلة العزم الكهرومغناطيسي نجد :

$$T_{em} = \frac{3}{2} \frac{p}{2} (\phi_f i_s \sin(\gamma) + \frac{1}{2} (L_{sd} - L_{sq}) i_s^2 \sin(2\gamma)) \quad (3.16)$$

إذا كانت  $\gamma = \frac{\pi}{2}$  فيصبح العزم الكهرومغناطيسي :

$$T_{em} = \frac{3}{2} \frac{p}{2} \phi_f i_s \quad (3.17)$$

هذه المعادلة مشابهة لمعادلة العزم المترولد في المحرك DC والمotor التجريبي المتحكم به شعاعياً  
إذا حافظت زاوية العزم على القيمة  $\frac{\pi}{2}$  والفيض بقي ثابتاً فإنه يتم التحكم بالعزم عن طريق مطال تيار الثابت  
وبالتالي سوف نحصل على أكبر قيمة للعزم عند أصغر قيمة للتيار.

لاحظ أن تدفق الفيض المشترك هو نتاج لفيض الدوار وفيض الثابت وبالتالي يعطى بالعلاقة :

$$\phi = \sqrt{\phi_{sd}^2 + \phi_{sq}^2} = \sqrt{(L_{sd} i_{sd} + \phi_f)^2 + (L_{sq} i_{sq})^2} \quad (3.18)$$

إذا كانت  $\gamma > \frac{\pi}{2}$  فإن  $i_{sd}$  سيصبح سالباً، وبالتالي فإن الفيض المشترك الناتج ينقص، وتعرف بطريقة تضييف  
الفيض في أنظمة قيادة المحركات ذات المغناط الدائمة.

تنظيم زاوية العزم يؤمن مجال واسع من الخيارات في نظام قيادة المحرك المترافق ذي المغناط الدائمة، ذكر بعض طرق التنظيم :

- 1- التنظيم عند زاوية العزم ثابتة أو (التنظيم عند تيار المحور  $d$  صافي).
- 2- التنظيم عند عامل الاستطاعة الوحدوي.

3- التحكم بطريقة العزم المثالي.

4- التحكم في منطقة تضييف الحقل ( تستعمل في السرعات الأعلى من السرعة القاعدية).

ملاحظة: نستطيع تطبيق إحدى هذه الطرق فقط في خوارزمية القيادة بمعنى آخر لا يمكن تطبيق أكثر من طريقة في الخوارزمية نفسها.

سوف نقوم بدراسة التنظيم عند زاوية العزم ثابتة.

**التنظيم عند زاوية العزم ثابتة ( $i_{sd}=0, \gamma = \text{const}$ )**

إذا كانت  $\gamma = \frac{\pi}{2}$  فإن معادلة العزم الكهرومغناطيسي تعطى بالعلاقة :

$$T_{em} = \frac{3}{2} \frac{p}{2} \phi_f i_s$$

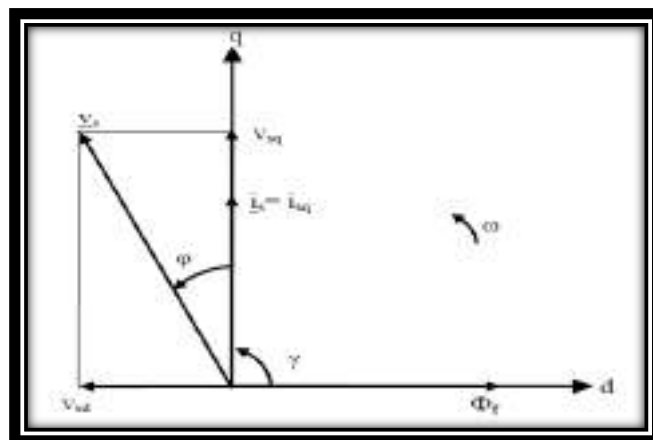
يحدد عامل الاستطاعة من المخطط الشعاعي المبين في الشكل (11-3) محور الجهد :

$$\cos(\varphi) = \frac{V_{sq}}{V_s} = \frac{V_{sq}}{\sqrt{V_{sd}^2 + V_{sq}^2}} \quad (3.19)$$

جهود المحاور  $d, q$  في الحالة المستقرة هي :

$$\begin{aligned} V_{sd} &= -\omega L_{sq} i_{sq} = -\omega L_{sq} i_s \\ V_{sq} &= R_s i_{sq} + \omega \phi_f = R_s i_s + \omega \phi_f \\ \cos(\varphi) &= \frac{R_s i_s + \omega \phi_f}{\sqrt{(-\omega L_{sq} i_s)^2 + (R_s i_s + \omega \phi_f)^2}} \\ \cos(\varphi) &= \frac{1}{\sqrt{\frac{(-\omega L_{sq} i_s)^2}{(R_s i_s + \omega \phi_f)^2} + 1}} \end{aligned} \quad (3.20)$$

هذه المعادلة توحى بأن عامل الاستطاعة سينخفض بزيادة سرعة الدوار وزيادة تيار الثابت وبالتالي المحرك يستجر استطاعة ردية.



الشكل (11-3) : الشكل يبين توجيه شعاع تيار الثابت باتجاه المحور الطولي

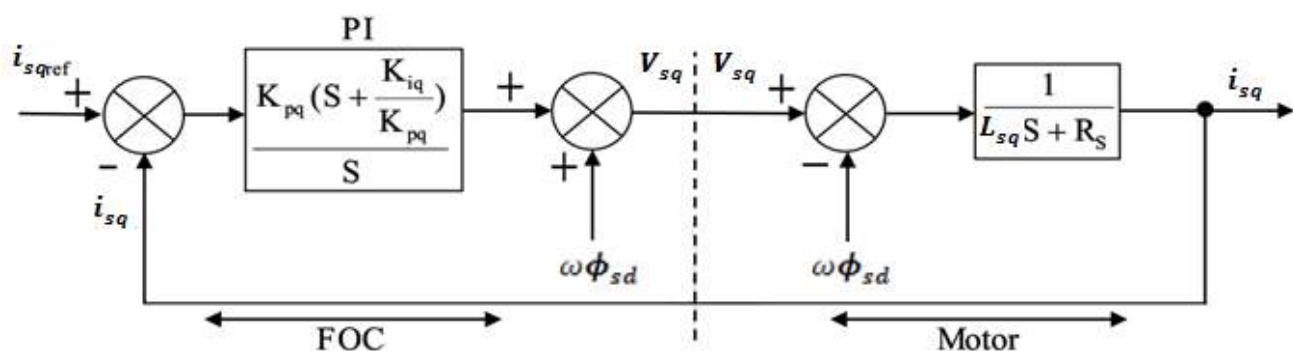
مساوئ هذه الطريقة	محاسن هذه الطريقة
1-تكلفة مرتفعة ونظام قيادة معقد بالمقارنة بنظام V/F 2-الحاجة إلى حساسات لوجود تغذية عكسية في النظام	1-استجابة جيدة للتحكم بالعزم 2-إمكانية التحكم بالسرعة ضمن مجال واسع 3-التحكم بالعزم في كامل مجال السرعة

## تنظيم السرعة والتيار والموضع في FOC باستخدام منظمات P-PI

3-7-أولاً : تنظيم التيار  $i_{sq}$  باستخدام منظم PI في الشكل (3-12) تقوم بتنظيم التيار  $i_{sq}$  وذلك باستخدام المنظم النسبي التكاملي (Proportional & Integrator)  $i_{sq}$  والذي يعطى تابع إنتقاله بالعلاقة التالية :

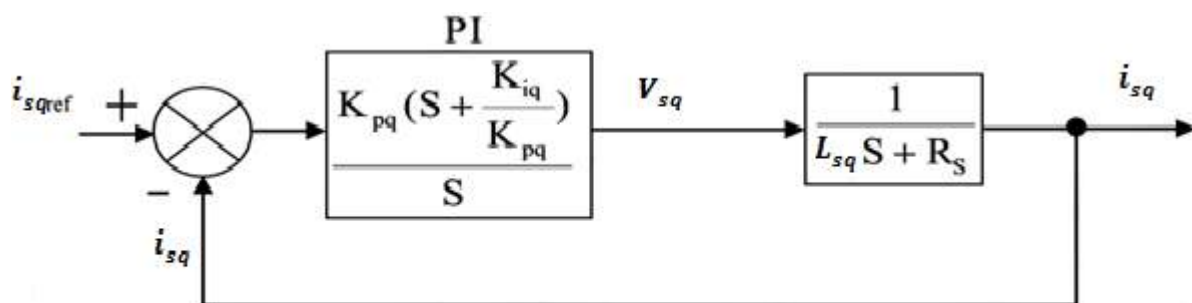
$$\frac{K_{pq}(S + \frac{k_{iq}}{K_{pq}})}{S} \quad (3.21)$$

وسنقوم بإهمال الأضطراب الداخلي ( $\omega\phi_{sd}$ ) عند إجراء الحسابات ولكن ذلك سيكون على حساب إضافته لخرج المنظم كما في الشكل (12-3) :



الشكل (3-12) : تنظيم التيار  $i_{sq}$  في المحرك PMSM بطريقة FOC عن طريق منظم PI

لإيجاد ثوابت المنظم نقوم بإيجاد تابع النقل المكافئ للنظام والمنظم والمبين في الشكل (3-13) لكل من النظام والمنظم معاً وبعد إجراء الحسابات سنجد أن تابع النقل المكافئ للنظام والمنظم معاً كما هو في العلاقة (3-23) :



الشكل (3-13) : تابع النقل المكافئ في حلقة التيار  $i_{sq}$  في المحرك PMSM

ويتم الحصول على تابع النقل المكافئ بإيجاد تابع نقل الحلقة المغلقة للمخطط الصندوقى المبين بالشكل (3-13) :

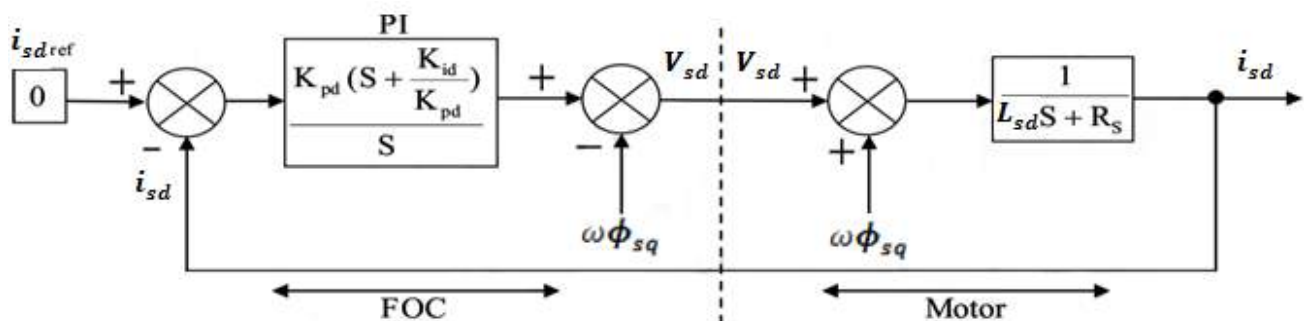
$$\frac{i_{sq}}{i_{sq\_ref}} = \frac{\frac{K_{pq} \cdot (S + \frac{K_{iq}}{K_{pq}})}{S} \cdot \frac{1}{L_{sq}}}{1 + \frac{K_{pq} \cdot (S + \frac{K_{iq}}{K_{pq}})}{S} \cdot \frac{1}{L_{sq}} \cdot \frac{R_s}{L_{sq}}} = \frac{\frac{K_{pq}}{S} \cdot \frac{1}{L_{sq}}}{1 + \frac{K_{pq}}{S} \cdot \frac{1}{L_{sq}}} = \frac{\frac{K_{pq}}{L_{sq} \cdot S}}{1 + \frac{K_{pq}}{L_{sq} \cdot S}} \quad (3.22)$$

حيث سنفترض أن  $\frac{K_{iq}}{K_{pq}} = \frac{R_s}{L_s}$  وذلك من أجل حذف قطب (جذر المقام) مع صفر(جذر البسط)، نقوم الآن بتوحيد المقامات ونختزل المقام المشترك فنحصل علىتابع النقل النهائي كما يلي :

$$\frac{i_{sq}}{i_{sq\_ref}} = \frac{\frac{K_{pq}}{L_{sq} \cdot S}}{\frac{L_{sq} \cdot S + K_{pq}}{L_{sq} \cdot S}} = \frac{K_{pq}}{L_{sq} \cdot S + K_{pq}} \quad (3.23)$$

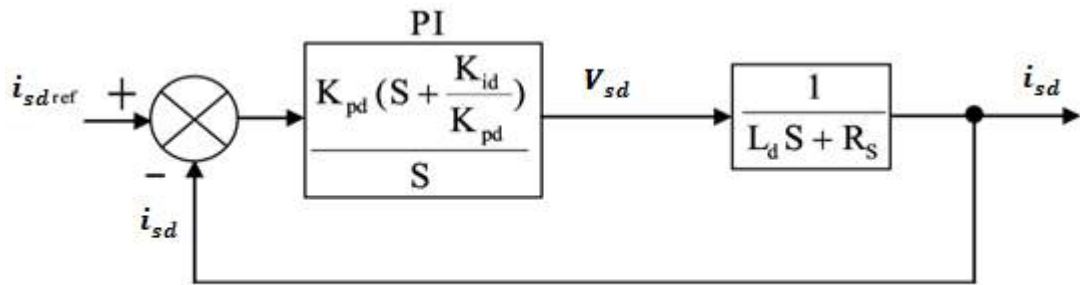
نفرض أيضاً  $K_{iq} = 30$  وهو الثابت التناصبي للمنظم (وهو يفترض فرض) وبعد ذلك يتم حساب قيمة  $K_{iq}$

8-3- ثانياً : تنظيم التيار  $i_{sd}$  باستخدام منظم PI



الشكل (3.14) : تنظيم التيار  $i_d$  في المحرك PMSM بطريقة FOC عن طريق منظم PI

بالأسلوب نفسه تماماً سنقوم بتنظيم التيار  $i_{sd}$  باستخدام المنظم التناصبي التكامل (Proportional&Integrator) وسنقوم بإهمال الااضطراب الداخلي ( $\omega\phi_{sq}$ ) عند إجراء الحسابات ولكن ذلك سيكون على حساب إضافته لخرج المنظم كما في الشكل (3-14). لإيجاد ثوابت المنظم نقوم بإيجاد تابع النقل المكافئ لكل من النظام والمنظم معاً وبعد إجراء الحسابات سنجد أن تابع النقل المكافئ كما هو في العلاقة (3.24) :

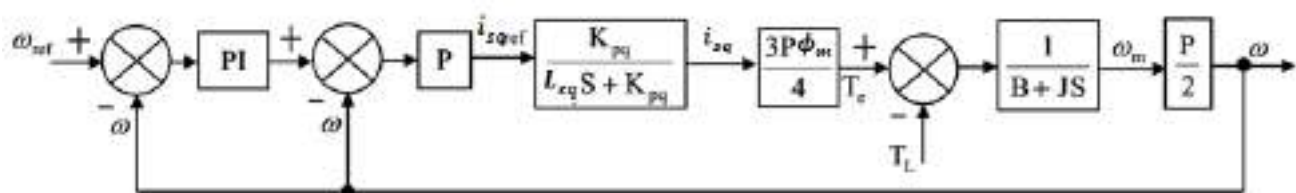
الشكل (3-15) : تابع النقل المكافئ في حلقة التيار  $i_{sd}$  في المحرك PMSM

$$\frac{i_{sd}}{i_{sd\_ref}} = \frac{\frac{K_{pd} \cdot (S + \frac{K_{id}}{K_{pd}})}{S} \cdot \frac{1}{L_{sd}}}{1 + \frac{K_{pd} \cdot (S + \frac{K_{id}}{K_{pd}})}{S} \cdot \frac{1}{L_{sd}}} = \frac{\frac{K_{pd}}{S} \cdot \frac{1}{L_{sd}}}{1 + \frac{K_{pd}}{S} \cdot \frac{1}{L_{sd}}} = \frac{\frac{K_{pd}}{L_{sd} \cdot S}}{1 + \frac{K_{pd}}{L_{sd} \cdot S}} = \frac{K_{pd}}{L_{sd} \cdot S + K_{pd} \cdot S} \quad (3.24)$$

حيث سنعتبر أيضاً مailyi :

1. سنفترض أن  $\frac{K_{id}}{K_{pd}} = \frac{R_s}{L_s}$  وذلك من أجل حذف قطب مع صفر.2. نفرض أيضاً  $K_{pd} = 30$  وهو الثابت التناسبي للمنظم وبعد ذلك يتم حساب قيمة  $K_{iq}$ **3-9- ثالثاً : تنظيم التيار والسرعة معاً**

حلقة تنظيم التيار هي الحلقة الداخلية أما حلقة السرعة فهي الحلقة الخارجية كما في الشكل (3-16)، وبعد حساب ثوابت المنظم التناسبية التكاملية لحلقة تنظيم التيار، سنقوم باستنتاج تابع النقل لحلقة تنظيم السرعة وحساب ثوابت المنظمات المستخدمة (المنظم في هذه الحالة من النوع (P-PI) كما سنجد لاحقاً).

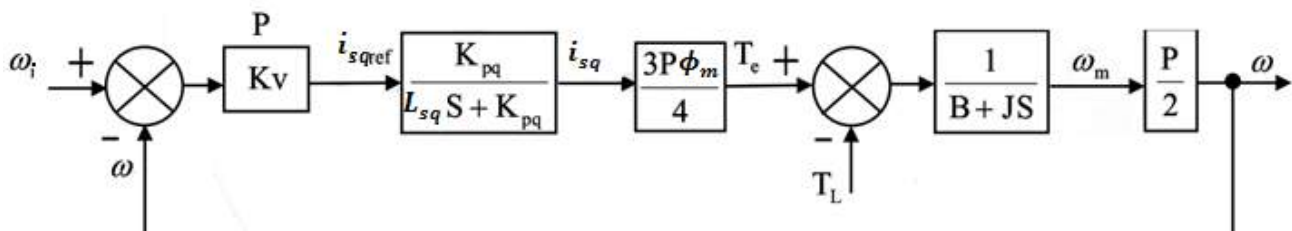


الشكل (3-16) : تنظيم التيار والسرعة معاً في المحرك PMSM بطريقة FOC عن طريق منظم P-PI

من الشكل نجد أن تابع النقل الذي ينتج يكون من المرتبة الثانية أي أنه يملك قطبان أحدهما سريع والآخر بطيء و عند استخدام منظم تناسبي تكاملی يجب أن نضمن أن يكون قيمة معامل التخادم ( $\zeta$ ) للنظام أكبر أو يساوي الواحد لذلك نقوم بإضافة منظم تناسبي (P) وذلك للحصول على قطبين متماثلين (عندما  $\zeta = 1$ ) ثم نختار منظم تناسبي - تكاملی الذي يضمن لنا الحصول على خطأ ستاتيكي مساوٍ للصفر والمحافظة على مرتبة النظام .

ملاحظة: الشكل القياسي لتابع النقل من المرتبة الثانية  $\frac{G\omega_n^2}{S^2 + 2\zeta\omega_n S + \omega_n^2}$  حيث  $G$  ربح النظام بالحالة المستقرة  $\omega_n = \frac{1}{\tau_n}$  التردد الزاوي الطبيعي .

### 1. تنظيم السرعة باستخدام المنظم (P)



الشكل (3-172) : تنظيم التيار والسرعة معاً في المحرك PMSM بطريقة FOC عن طريق منظم PI

في البداية سنقوم بتنظيم السرعة باستخدام منظم تناسبي فقط وذلك لتقريب أقطاب النظام من بعضها وضمان أن قيمة معامل التخادم للنظام الأكبر أو تساوي الواحد . بعد إجراء الحسابات المناسبة سنصل لتابع النقل التالي :

$$\frac{\omega}{\omega_i} = \frac{K_v \times \frac{K_{pq}}{L_{sq} \cdot S + K_{pq}} \times \frac{3 \cdot P \cdot \phi_m}{4} \times \frac{1}{B + J \cdot S}}{1 + K_v \times \frac{K_{pq}}{L_{sq} \cdot S + K_{pq}} \times \frac{3 \cdot P \cdot \psi_m}{4} \times \frac{1}{B + J \cdot S}} \quad (3.25)$$

ببساطة نقوم الآن بتوحيد المقامات ونختزل المقام المشترك فنحصل على ما يلي :

$$\frac{\omega}{\omega_i} = \frac{K_v \cdot K_{pq} \cdot 3 \cdot P^2 \cdot \phi_m}{(L_{sq} \cdot S + K_{pq}) \times 4 \times (B + J \cdot S) \times 2 + K_v \cdot K_{pq} \cdot 3 \cdot P^2 \cdot \phi_m} \quad (3.26)$$

نقوم بفك الأقواس في المقام ونقسم البسط والمقام على  $(8 \cdot L_{sq} \cdot J)$  فنحصل على العلاقة :

$$\frac{\omega}{\omega_i} = \frac{\frac{K_v \cdot K_{pq} \cdot 3 \cdot P^2 \cdot \phi_m}{8 \cdot L_{sq} \cdot J}}{S^2 + \frac{(L_{sq} \cdot B + K_{pq} \cdot J)}{L_{sq} \cdot J} \cdot S + \frac{K_{pq} \cdot B}{L_{sq} \cdot J} + \frac{K_v \cdot K_{pq} \cdot 3 \cdot P^2 \cdot \phi_m}{8 \cdot L_{sq} \cdot J}} \quad (3.27)$$

وبالتالي يمكننا بسهولة الوصول لتابع النقل النهائي كما في العلاقة :

$$\frac{\omega}{\omega_i} = \frac{\frac{K_v \cdot K_{pq} \cdot 3 \cdot P^2 \cdot \phi_m}{8 \cdot L_{sq} \cdot J}}{S^2 + \frac{L_{sq} \cdot B + K_{pq} \cdot J}{L_{sq} \cdot J} \cdot S + \frac{8 \cdot K_{pq} \cdot B + K_v \cdot K_{pq} \cdot 3 \cdot P^2 \cdot \phi_m}{8 \cdot L_{sq} \cdot J}} \quad (3.28)$$

و نحسب قيمة  $\omega_{n1}$  ( وهي مقدار كهربائي ) عندما  $\zeta_1 = 1$  :

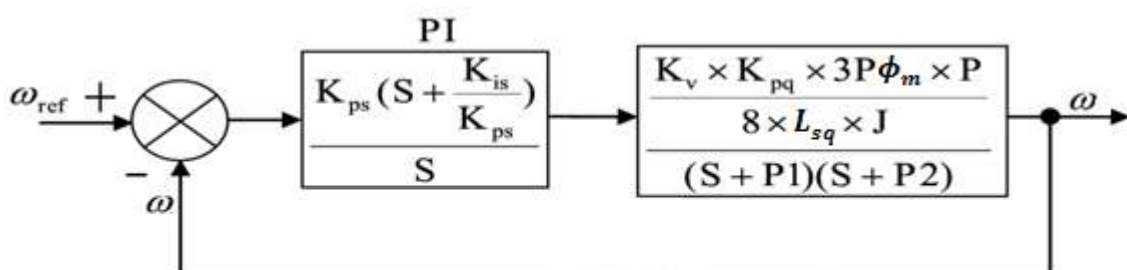
$$2 \cdot \zeta_1 \cdot \omega_{n1} = \frac{L_{sq} \cdot B + K_{pq} \cdot J}{L_{sq} \cdot J} \Rightarrow \omega_{n1} = 0.5 \times \left( \frac{B}{J} + \frac{K_{pq}}{L_{sq}} \right) \quad (3.29)$$

ومن ثم نحسب قيمة  $K_v$  كما يلي :

$$K_v = \frac{8 \cdot L_{sq} \cdot J \cdot \omega_{n1}^2 - 8 \cdot K_{pq} \cdot B}{K_{pq} \cdot 3 \cdot P^2 \cdot \phi_m} \quad (3.30)$$

## 2. تنظيم السرعة باستخدام المنظم P-PI

بعد تنظيم السرعة باستخدام منظم تناصبي نقوم بإضافة منظم تناصبي تكاملی ونقوم بایجاد تابع النقل للنظام الكلي والمعبر عن عملية تنظيم التيار والسرعة والمخطط الصندوقی في الشكل (18-3) يبين عملية إضافة منظم تناصبي تكاملی إلى النظام السابق والمُنظم بمنظم تناصبي فقط :



الشكل (3-18) : تابع النقل المكافئ لحلقة تنظيم التيار الداخلية في المحرك PMSM

$$\frac{\omega}{\omega_{ref}} = \frac{\frac{K_{ps}(S + \frac{K_{is}}{K_{ps}})}{S} \cdot \frac{K_v \cdot K_{pq} \cdot 3 \cdot P^2 \cdot \phi_m}{8 \cdot L_{sq} \cdot J}}{1 + \frac{K_{ps}(S + \frac{K_{is}}{K_{ps}})}{S} \cdot \frac{K_v \cdot K_{pq} \cdot 3 \cdot P^2 \cdot \phi_m}{(S + p_1) \cdot (S + p_2)}} \quad (3.31)$$

نفرض أيضاً  $\frac{K_{is}}{K_{ps}} = P_1$  وذلك من أجل حذف صفر مع قطب كمارأينا سابقاً وبالتالي نكتب :

$$\frac{\omega}{\omega_{ref}} = \frac{\frac{K_{ps} \cdot K_v \cdot K_{pq} \cdot 3 \cdot P^2 \cdot \phi_m}{8 \cdot L_{sq} \cdot J}}{1 + \frac{K_{ps} \cdot K_v \cdot K_{pq} \cdot 3 \cdot P^2 \cdot \phi_m}{S \cdot (S + p_2) + \frac{K_{ps} \cdot K_v \cdot K_{pq} \cdot 3 \cdot P^2 \cdot \phi_m}{8 \cdot L_{sq} \cdot J}}} \quad (3.32)$$

بسهولة يمكن الحصول علىتابع النقل المكافئ للحلقة كما يلي :

$$\frac{K_{ps} \cdot K_v \cdot K_{pq} \cdot 3 \cdot P^2 \cdot \phi_m}{8 \cdot L_{sq} \cdot J} \quad (3.33)$$

$$\frac{\omega}{\omega_{ref}} = \frac{S^2 + P_2 \cdot S + \frac{K_{ps} \cdot K_v \cdot K_{pq} \cdot 3 \cdot P^2 \cdot \phi_m}{8 \cdot L_{sq} \cdot J}}{S^2 + P_2 \cdot S + \frac{K_{ps} \cdot K_v \cdot K_{pq} \cdot 3 \cdot P^2 \cdot \phi_m}{8 \cdot L_{sq} \cdot J}}$$

وذلك على اعتبار قيمة  $P_2 = \omega_{n1}$  ومنه سنستنتج ثوابت المنظم ولكن يجب حساب قيمة  $\omega_{n2}$  من أجل  $\zeta_2 = \frac{1}{\sqrt{2}}$ :

$$2 \cdot \zeta_2 \cdot \omega_{n2} = P_2 \Rightarrow \omega_{n2} = \frac{\omega_{n1}}{\sqrt{2}}$$

أما قيمة الثابت النسبي  $K_{ps}$  فستنتج وتعطى كما يلي :

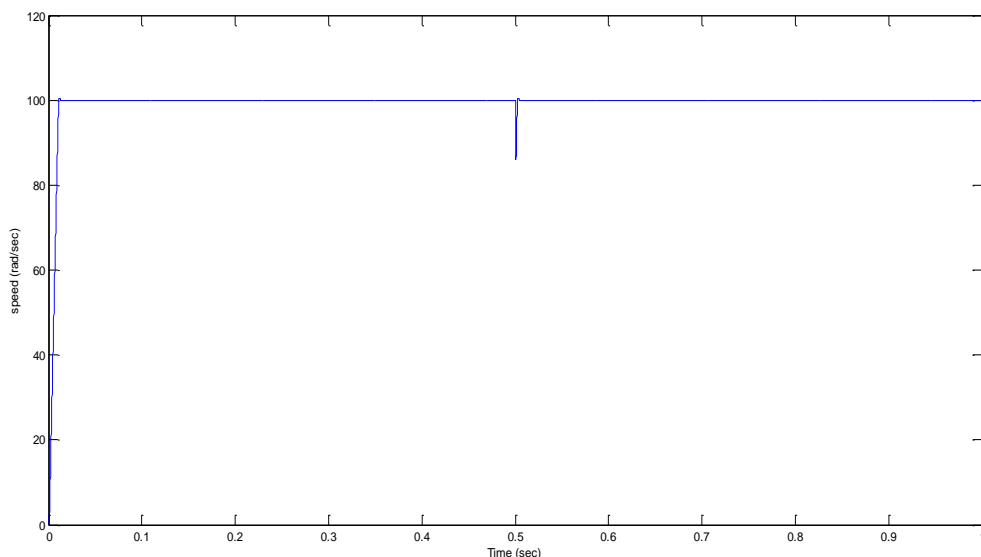
$$K_{ps} = \frac{8 \cdot L_{sq} \cdot J \cdot \omega_{n2}^2}{K_v \cdot K_{pq} \cdot 3 \cdot P^2 \cdot \phi_m} \quad (3.34)$$

أما قيمة الثابت التكامل  $K_{is} = \omega_{n1} \cdot K_{ps}$  حيث تم فرض النسبة

$$\frac{K_{is}}{K_{ps}} = P_2 = \omega_{n1}$$

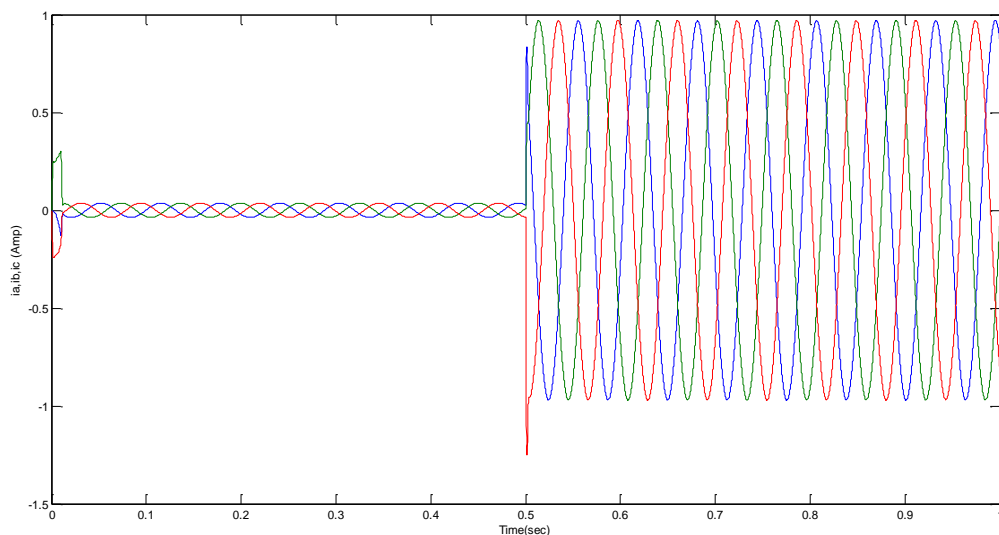
**النتائج العملية لتنظيم السرعة والتيار معاً**

تنظيم السرعة مع تنظيم التيار :



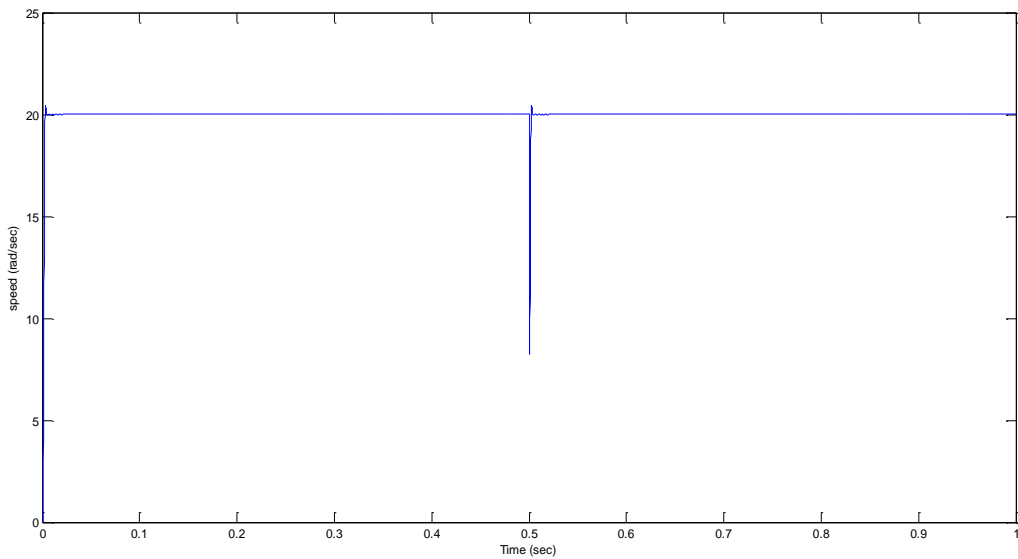
الشكل (19-3) : منحني السرعة للمحرك PMSM في الماتلاب

نلاحظ أن أداء المحرك أصبح أفضل باستخدام خوارزمية FOC عند تنظيم السرعة مع تنظيم التيار، لقد قمنا بوضع مدرج سرعة من أجل التخلص من تيارات الإقلاع العالية.

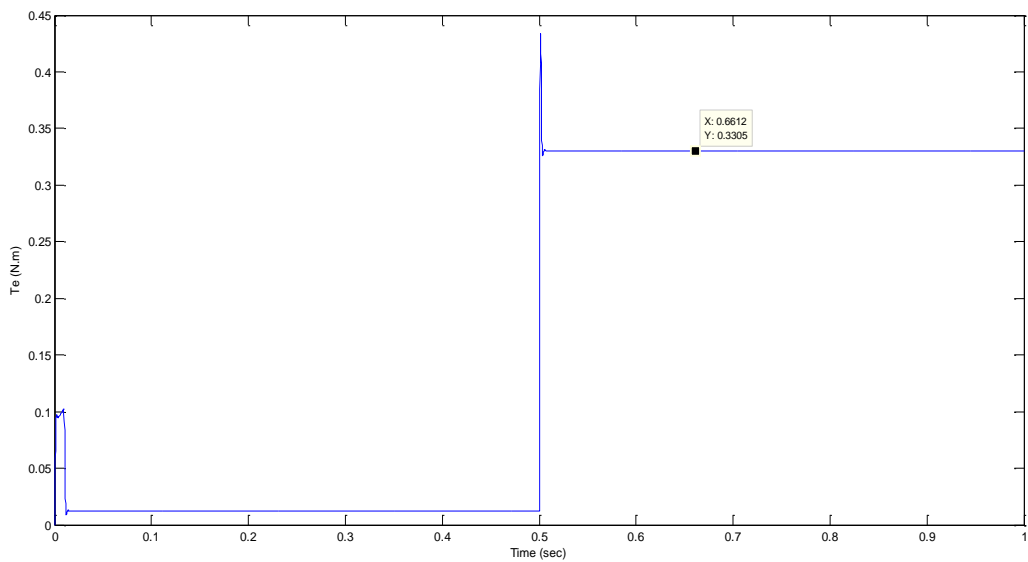


الشكل (20-3) : مميزة التيارات الثلاثية للمحرك PMSM في الماتلاب

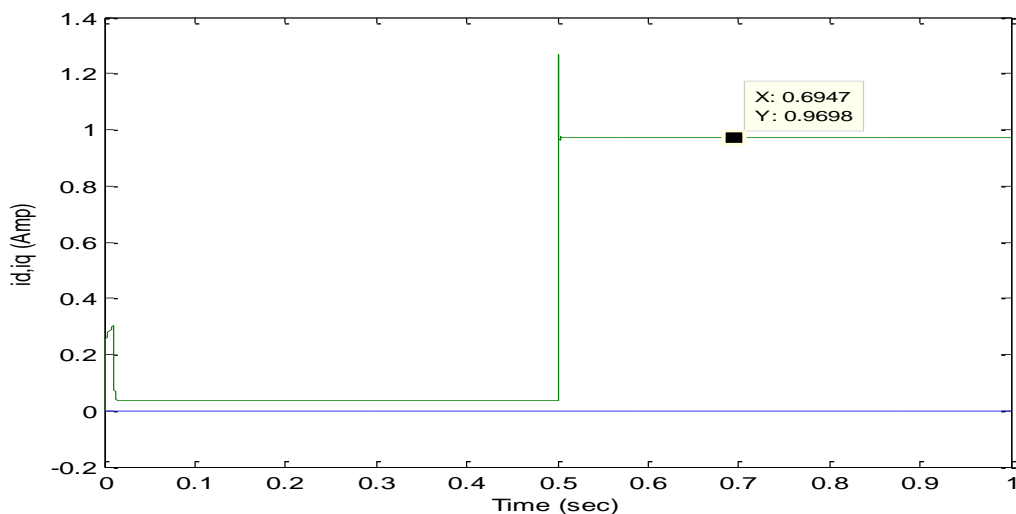
عند العمل على سرعات منخفضة وبالمقارنة بين خوارزمية FOC وخوارزمية V/F نجد أن السرعة عادت إلى التوازن بسرعة كبيرة دون أن ينها المحرك، حيث أننا لا نحتاج إلى جهد داعم عند العمل على سرعات منخفضة جداً باستخدام طريقة FOC.



الشكل (21-3) : منحني السرعة للمحرك PMSM في الماتلاب وذلك عند سرعات منخفضة باستخدام طريقة FOC

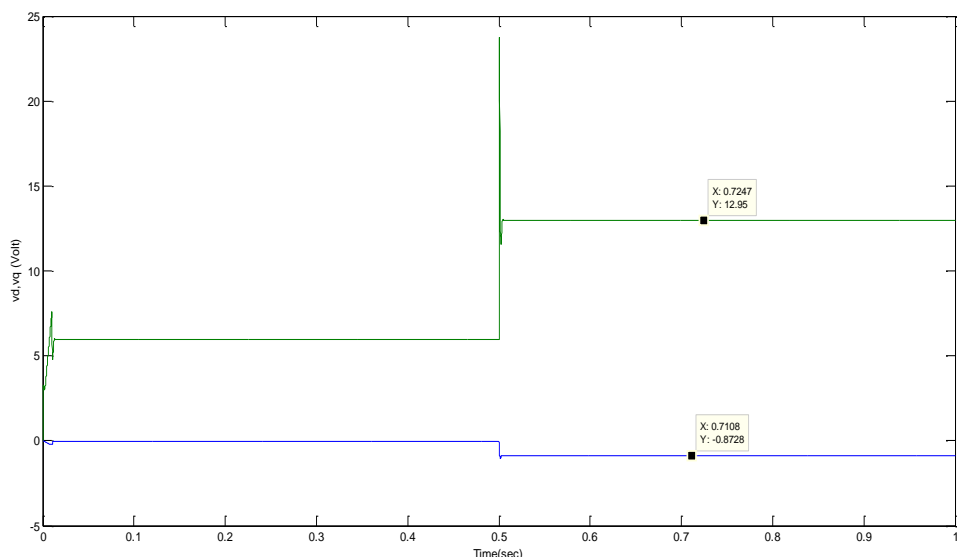


الشكل (22-3) : منحني العزم للمحرك PMSM في الماتلاب



الشكل (23-3) : مميزة التياران  $i_{sq}$ - $i_{sq}$  للمحرك PMSM في الماتلاب

إن التيار  $I_q$  يجب أن لا يتجاوز التيار الاسمي للmotor، ولضمان عدم تجاوز التيار للتيار الاسمي قمنا بوضع لحلقة تنظيم التيار  $i_{sq}$ ، حيث أن قيم التيارات محكومة بالسرعة المرجعية المطلوبة. Saturation

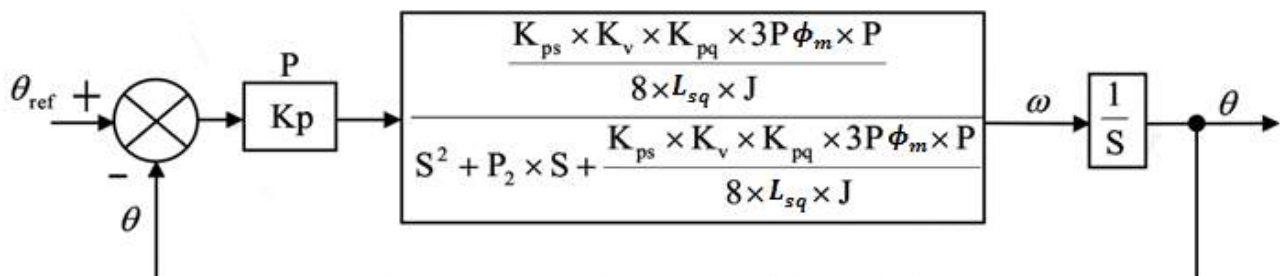


الشكل (24-3) : مميزة الجهدتين  $V_{sq}$ - $V_{sq}$  للمحرك PMSM في الماتلاب

إن قيمة الجهد الواجب تطبيقه على المحرك يجب أن تكون ضمن الحدود الاسمية للmotor وأن تكون القالبة (Inverter) قادرة على إعطاء هذا الجهد على الخرج.

## 3-10- رابعاً : تنظيم الموضع

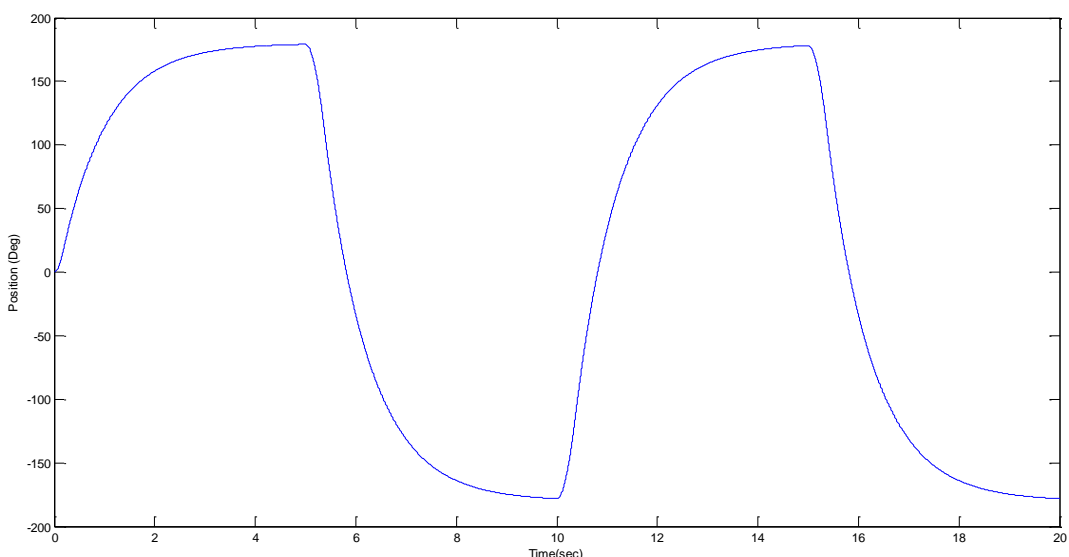
عند تنظيم الموضع سنعتبر حلقة تنظيم السرعة حلقة داخلية بالنسبة لحلقة تنظيم الموضع ولتنظيم الموضع نستخدم منظماً تناصبي ونقوم بحساب قيمة الثابت لهذا المنظم تجريبياً والشكل (3-25) يبين المخطط الصنديقي لحلقة تنظيم الموضع :



الشكل (3-25) : حلقة تنظيم الموضع في المحرك PMSM

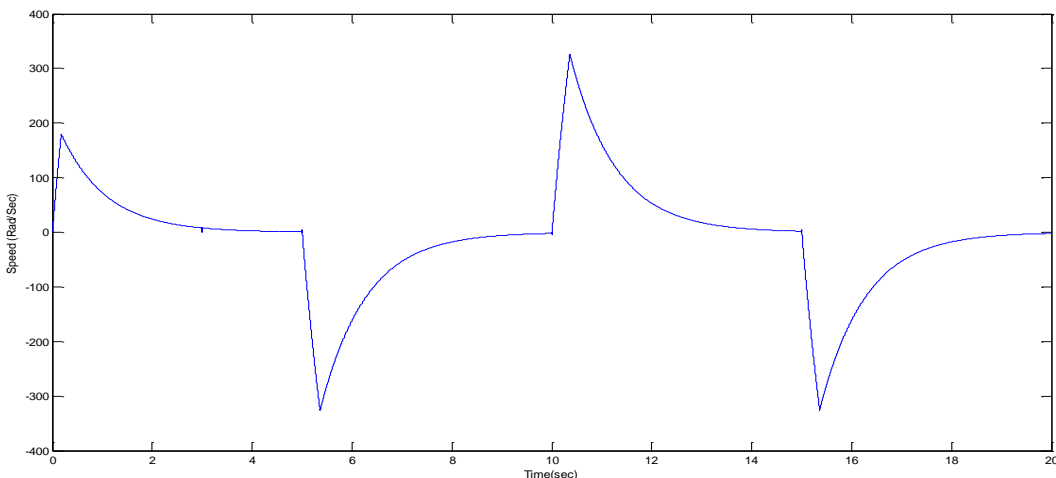
## نتائج تنظيم الموضع

من أجل قيمة مرجعية للموضع يتم إدخالها عن طريق مدرج تتراوح قيمته بين (180 → +180) وذلك من أجل قيمة  $K_p=1$  نلاحظ عملية تنظيم الموضع :



الشكل (3-26) : تنظيم الموضع

والشكل (3-27) يوضح سرعة استجابة المحرك لتحقيق الموضع المطلوب :



الشكل (27-3) : منحني السرعة عند تنظيم الموضع

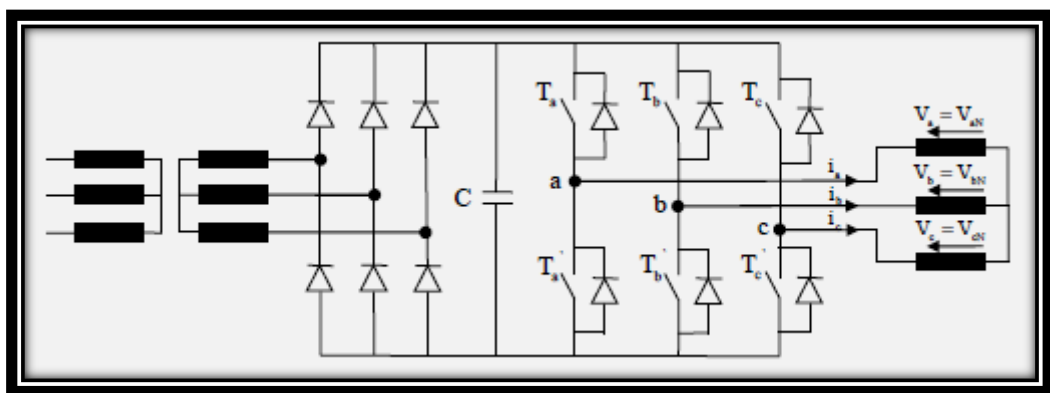
**الخلاصة :** تم في الفقرات السابقة تنظيم كل من التيار ثم التيار والسرعة ثم الموضع والتيار والسرعة .

### 11-3- الخاتمة

وجدنا أن طريقة  $V/F=constant$  تعطي معلومة عن الجهد كطويلة ولا تعطي معلومة عن مكان الدوار ( زاوية الدوار ) لذلك لا تستخدم هذه الطريقة في أنظمة القيادة الحديثة (Inverter) للmotor المترافق ذي المغناط الدائمة . أما طريقة التحكم بالفيض الموجه فتعطي معلومة عن شعاع الجهد المطبق على motor كطويلة وزاوية حيث قمنا بتوجيه تيار الثابت وفق المحور q (والمحور d المنطبق على القطب الشمالي للمغناط الدائمة تم توجيهه نحو الصفر ) وبالتالي فإنه بمعرفة الزاوية نستطيع توليد العزم الأعظمي المطلوب من motor المترافق ، والجدير بالذكر أنه في هذه الخوارزمية يتم الاعتماد بشكل كبير على بارامترات motor والتي هي عرضة للتغير على طول فترة العمل مما يجعل هذا النظام ذو حساسية عالية للتغير ببارامترات motor بالإضافة إلى أن هذه الخوارزمية تتصرف بالصعوبة وأنها تحتاج إلى حساس سرعة دقيق ، حيث إن أي خطأ في حساب السرعة ستحصل على زاوية توجيه خاطئة .

## الفصل الرابع

التمثيل الرياضي لقالبة الجهد المسؤولة عن تغذية المحرك



## 4-1 مقدمة

إن أغلب خوارزميات التحكم والقيادة تعتمد على إيجاد إشارة مستمرة مع الزمن للجهد الواجب تطبيقه على المحرك. إن إشارة الجهد هذه لا يمكن تطبيقها على المحرك مباشرة في أي حال من الأحوال لذا لا بد من المرور بمرحلة وسيطة للحصول على هذا الجهد. المرحلة الوسيطة تتكون من عنصرين أساسين هما قالبة الجهد وخوارزمية تعديل عرض النبضة التي تمكن من الحصول على النبضات الواجب تطبيقها على ترانزستورات القالبة للحصول على صورة الجهد المطلوب من خوارزمية التحكم والقيادة.

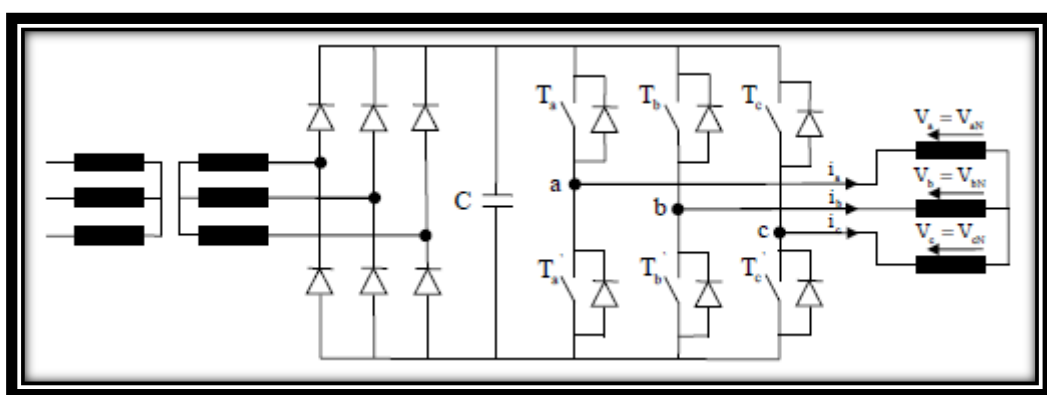
إن الجهدون الناتجة من خرج منظمات PID لا يمكن تطبيقها مباشرة على المحرك لأن هذه الجهدود ذات قيم منخفضة وهي عبارة عن صورة عن الجهد الحقيقي المطلوب تطبيقها لتغذية المحرك، لذلك لا بد من وجود مرحلة وسيطة بين المنظمات والمحرك يتم فيها تغيير مطال هذه الجهدود ، ومبذلة الجهد تحقق هذه الغاية حيث نحصل في خرج المبذلة على جهد ذو تردد ومطال متغيرين يمكن التحكم بهما من خلال التحكم بالنبضات المطبقة على المفاتيح الإلكترونية في المبذلة.

## 4-2 المبذلة ستاتيكية

تتكون المبذلة بشكل عام من :

- 1- مقوم جسري ديودي أحادي أو ثلاثي الطور وذلك حسب استطاعة المحرك المراد تغذيته (حيث أن المقوم الجسري الثلاثي الطور يعطي على خرجه جهد أكبر من الجهد على خرج المقوم أحادي الطور ) هذا المقوم يحول الجهد المتزايد المطبق على دخله إلى جهد مستمر.
- 2- قالبة جهد ملائفة من ستة ترانزستورات (وفي أغلب المبدلات الصناعية تكون الترانزستورات هي من النوع IGBT .)

يبين الشكل (4-1) المخطط العام للمبذلة ستاتيكية تغذي محرك تحريضي ثلاثي الطور.

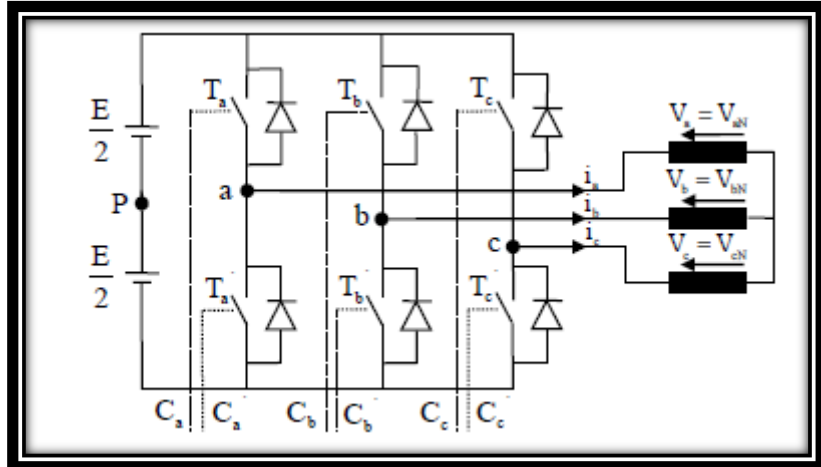


الشكل (4-1): المخطط العام للمبذلة ستاتيكية

## 4-3 قالبة الجهد

تعمل قالبة الجهد على تحويل الجهد المستمر المقدم من خرج المقوم الجسري إلى جهد متباوب متقطع يستخدم لتغذية المحرك التحربي، لأن تحليل فورييه لإشارة الجهد المتقطع يبين أن المركبة الأساسية للجهد الناتج عن القالبة هي مركبة جيبية وكما نعلم أن الجهد الذي يطبق على المحرك يفضل أن يكون جيبياً.

يبين الشكل التالي مخطط قالبة الجهد والتي تتكون من ثلاثة أعمدة كل منها تحتوي على ترانزستورين موصول معهما على التفرع والتضاد دiodين مسار حر.



الشكل (4-2): قالبة الجهد ثلاثة الطور

نعتبر أن تبديل القواطع يتم بشكل لحظي بإهمال الزمن الميت، حيث إن الزمن الميت الفعلي يأخذ قيمة ضمن المجال  $\mu s \rightarrow 2$  [5] وهي قيمة صغيرة جداً مقارنة دور التقطيع الأعظمي للقالبة ولذلك يمكن إهمالها.

في الشكل (4-2) :

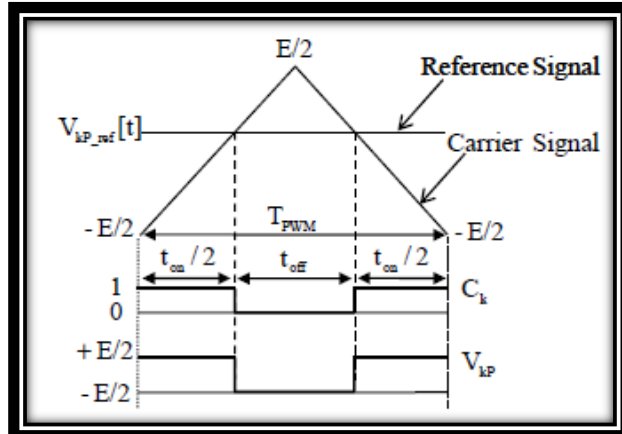
- تشير  $E$  إلى الجهد المستمر المطبق على دخل القالبة وقد تم تقسيم المنبع إلى قسمين باستخدام النقطة الوهمية  $P$  وذلك لتسهيل الدراسة حيث سيتم اعتبار  $P$  نقطة مرجعية.
- عبارة عنتابع ثانوي يمثل حالة الترانزستورات في العمود  $k$ .  $C_k; k = a, b, c$ .
- لتجنب حدوث دارة قصيرة في قالبة الجهد يجب أن يكون أحد الترانزستورين الموجودين في العمود الواحد في حالة وصل الترانزistor الآخر في حالة فصل وبالتالي فإن:

$C_k = \bar{C}_k$  أي  $\bar{C}_k$  هو متمم  $C_k$  ، حيث يعرف التابع  $C_k$  كما يلي :

إذا كان الترانزistor العلوي في حالة وصل (تمرير)  $C_k = 1$  .

إذا كان الترانزistor العلوي في حالة فصل (عدم تمرير)  $C_k = 0$  .

يتم تحديد لحظة التبديل وبالتالي الحصول على النسبات الواجب تطبيقها على ترانزستورات القالبة باستخدام طريقة تعديل عرض النسبة، التي تعتمد على مقارنة إشارة مرجعية (Signal Reference) مع إشارة حاملة (Carrier-Signal) والشكل (4-3) يبين مبدأ عمل طريقة تعديل عرض النسبة.



الشكل (4-3): مبدأ عمل طريقة تعديل النسبة

من الشكل (4-3) نجد أنه تم مقارنة إشارة الجهد المرجعي مع إشارة مثلثية وكان الناتج هو  $C_k$  النبضات الواجب تطبيقها على الترانزستورات، ومنه تم الحصول على قيمة الجهد على خرج القالبة، وذلك كما يلي:

تعطى علاقة جهود الطور  $V_{kp}$  على خرج القالبة بالنسبة للنقطة المرجعية P بالشكل التالي :

$$V_{kp} = C_k E - \frac{E}{2} ; k = a, b, c \quad (4.1)$$

والقيمة الوسطية لجهود الطور  $V_{kp}$  في اللحظة (t) للنقطة المرجعية P خلال دور تعديل عرض النبضة  $T_{pwm}$  تعطى إعتماداً على الشكل (4-3) بالعلاقة التالية :

$$V_{kp-av}[t] = \frac{1}{T_{pwm}} \frac{E}{2} (t_{on} - (T_{pwm} - t_{on})) = E \alpha_k[t] - \frac{E}{2} \quad (4.2)$$

حيث  $\alpha_k[t]$  نسبة تمرير الترانزistor العلوي في العمود K وتأخذ القيم التالية :  
 $0 \leq \alpha_k[t] \leq 1$

من العلاقة (4-2) نجد أن :

$$\alpha_k[t] = \frac{V_{kp-av}[t]}{E} + \frac{1}{2} \quad (4.3)$$

لإيجاد جهود الطور المطبقة على المحرك والمأخوذة بالنسبة للنقطة المرجعية N نقوم بما يلي :  
باعتبار أن الحمل متوازن ، فإن :

$$V_{aN} + V_{bN} + V_{cN} = 0$$

باستخدام جهود الخط نجد :

$$V_{aN} = -(V_{bN} + V_{cN}) \\ V_{aN} = -(V_{ba} + V_{aN} + V_{ca} + V_{aN})$$

$$V_{aN} = -(V_{ba} - V_{Na} + V_{ca} - V_{Na}) = V_{ba} - V_{ca} - 2V_{aN} \\ V_{aN} = \frac{1}{3}(V_{ab} - V_{ca})$$

بكتابة العلاقة السابقة بالنسبة للنقطة المرجعية الوهمية P نجد :

$$V_{aN} = \frac{1}{3}(V_{ap} - V_{bp} - V_{cp} + V_{ap})$$

$$V_{aN} = \frac{1}{3}(2V_{ap} - V_{bp} - V_{cp}) \quad (4.4)$$

وبطريقة مشابهة نجد  $V_{bN}$ ,  $V_{cN}$

$$V_{bN} = \frac{1}{3}(2V_{bc} - V_{ab}) = \frac{1}{3}(2V_{bp} - V_{cp} - V_{ap}) \quad (4.5)$$

$$V_{cN} = \frac{1}{3}(2V_{ca} - V_{bc}) = \frac{1}{3}(2V_{cp} - V_{ap} - V_{bp}) \quad (4.6)$$

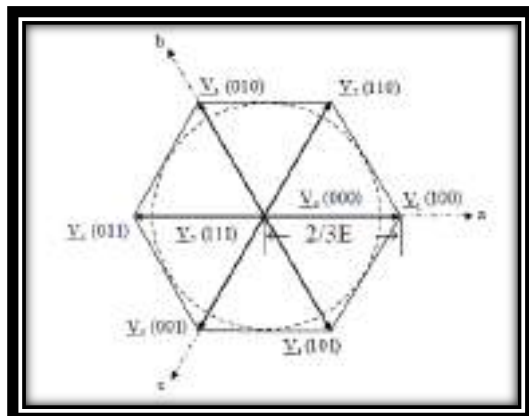
بتعويض العلاقة (4.1), (4.5), (4.6) في العلاقة (4.4) نجد :

$$V_{aN} = \frac{1}{3}E(2C_a - C_b - C_c) \quad (4.7)$$

$$V_{bN} = \frac{1}{3}E(2C_b - C_a - C_c) \quad (4.8)$$

$$V_{cN} = \frac{1}{3}E(2C_c - C_b - C_a) \quad (4.9)$$

بحسب قيم التوابع  $C_k$  المعتبرة عن حالة الترانزستورات في القالبة فإن العلاقة (4.7) تعطي ثمانية أشعة جهد من بينهما شعاعين صفريين وستة أشعة تمتلك المطال نفسه وتكون مزاحمة عن بعضها بزاوية 60 درجة كما في الشكل التالي :



الشكل (4-4): أشعة الجهد المتولدة على خرج القالبة تبعاً لحالة ترانزستورات القالبة

والجدول التالي يبين أشعة الجهد المتولدة على خرج القالبة تبعاً لحالة المفاتيح الإلكترونية في القالبة :

$V_k$	$C_a$	$C_b$	$C_c$	$V_{aN}$	$V_{bN}$	$V_{cN}$	$V_{aP}$	$V_{bP}$	$V_{cP}$	$V_{ab}$	$V_{bc}$	$V_{ca}$
$V_0$	0	0	0	0	0	0	$-E/2$	$-E/2$	$-E/2$	0	0	0
$V_1$	1	0	0	$2E/3$	$-E/3$	$-E/3$	$E/2$	$-E/2$	$-E/2$	$E$	0	$-E$
$V_2$	1	1	0	$E/3$	$E/3$	$-2E/3$	$E/2$	$E/2$	$-E/2$	0	$E$	$-E$
$V_3$	0	1	0	$-E/3$	$2E/3$	$-E/3$	$E/2$	$E/2$	$-E/2$	$-E$	$E$	0
$V_4$	0	0	1	$-2E/3$	$E/3$	$E/3$	$-E/2$	$E/2$	$E/2$	$-E$	0	$E$
$V_5$	0	0	1	$-E/3$	$-E/3$	$2E/3$	$-E/2$	$-E/2$	$E/2$	0	$-E$	$E$
$V_6$	1	0	1	$E/3$	$-2E/3$	$E/3$	$E/2$	$-E/2$	$E/2$	$E$	$-E$	0
$V_7$	1	1	1	0	0	$E/2$	$E/2$	$E/2$	$E/2$	0	0	0

الشكل (4-5): حالات ترانزستورات القالبة وجهود خرج القالبة الناتجة عن تطبيق تلك الحالات

وتعطى القيمة الوسطية في اللحظة  $t$  لجهود الطور على خرج قالبة بالنسبة للنقطة المرجعية  $N$  خلال دور تعديل عرض النبضة  $T_{pwm}$  كما يلي :

$$V_{aN\_av}[t] = \frac{1}{3}E(2\alpha_a[t] - \alpha_b[t] - \alpha_c[t]) \quad (4.10)$$

$$V_{bN\_av}[t] = \frac{1}{3}E(2\alpha_a[t] - \alpha_b[t] - \alpha_c[t]) \quad (4.11)$$

$$V_{cN\_av}[t] = \frac{1}{3}E(2\alpha_a[t] - \alpha_b[t] - \alpha_c[t]) \quad (4.12)$$

من العلاقة (4.2) يمكن أن نكتب :

$$\alpha_k[t] = \frac{1}{E}V_{kP\_av}[t] + \frac{1}{2} \quad (4.13)$$

حسب كيرشوف لدينا :

$$V_{kP\_av}[t] = V_{kN\_av}[t] + V_{NP}[t]$$

يمكن إذا كتابة العلاقة (4.13) كما يلي :

$$\alpha_k[t] = \frac{1}{E}(V_{kN\_av}[t] + V_{NP}[t]) + \frac{1}{2} \quad (4.14)$$

من العلاقة نجد أنه عند اعتبار  $V_{NP}[t] = 0$  ، تكون القيمة العظمى لجهود الطور التي يمكن توليدتها على خرج قالبة نسبة لنقطة  $N$  تساوي  $E/2$ .

## 4-4- التحكم بقالبة الجهد

إن الطرق الحديثة لقيادة المحرك المتوفّق ( التحكم بالفيض الموجه ، التحكم المباشر بالعزم ،....) تقدّم إلى استراتيجيتين مختلفتين للتحكم بقالبة الجهد وهما :

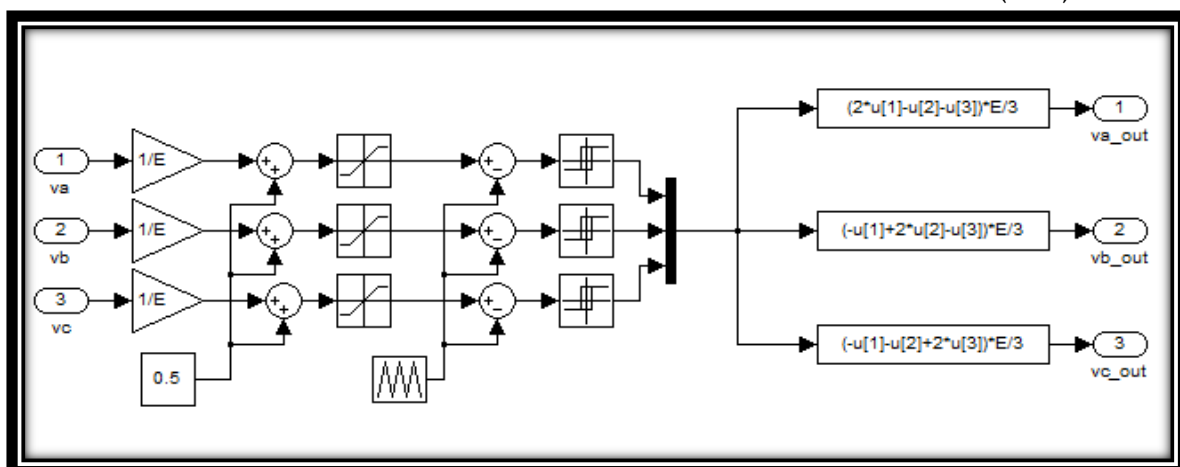
1- القيادة غير المباشرة لقالبة الجهد.

2- القيادة المباشرة لقالبة الجهد.

**القيادة غير المباشرة لقالبة الجهد**

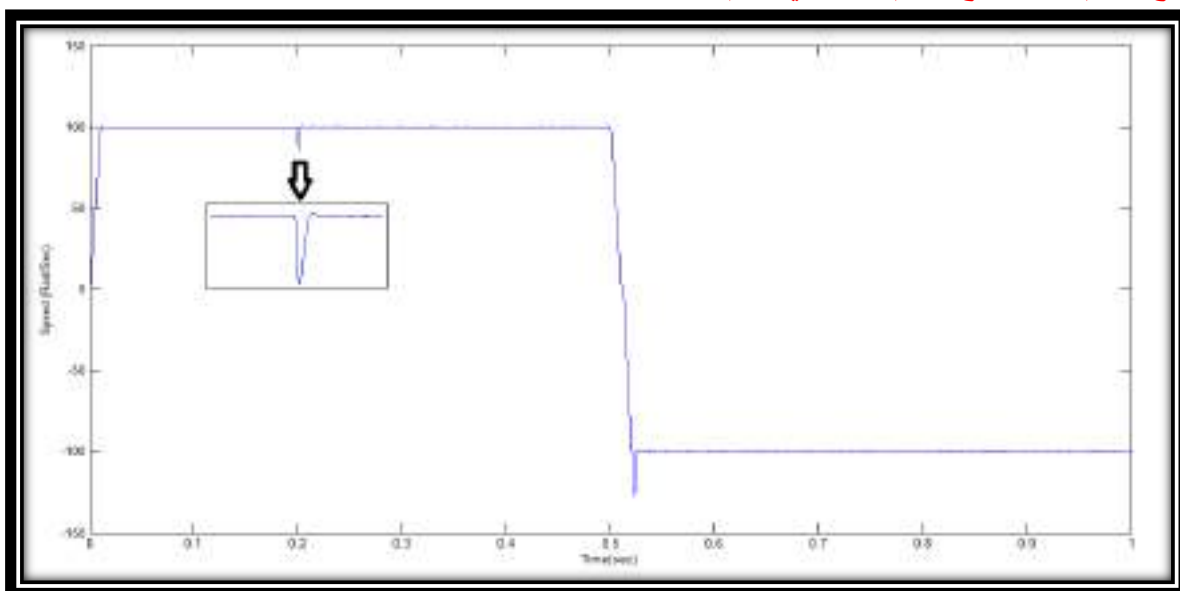
إن هذه الطريقة تستخدّم منظّمات *PID* والتي تعطى على خرجها الجهد المرجعية التي تتم مقارنتها بإشارة متّسقة أو سن منشار من أجل توليد نبضات الفدح للمفاتيح الإلكترونية في القالبة، حيث تدعى هذه الطريقة لتوليد النبضات بطريقة تعديل عرض النبضة *PWM*.

يبين الشكل (4-6) مخطط تمثيل هذه الطريقة :



الشكل (4-6): المخطط الصنديوقي للقيادة غير المباشرة لقالبة الجهد

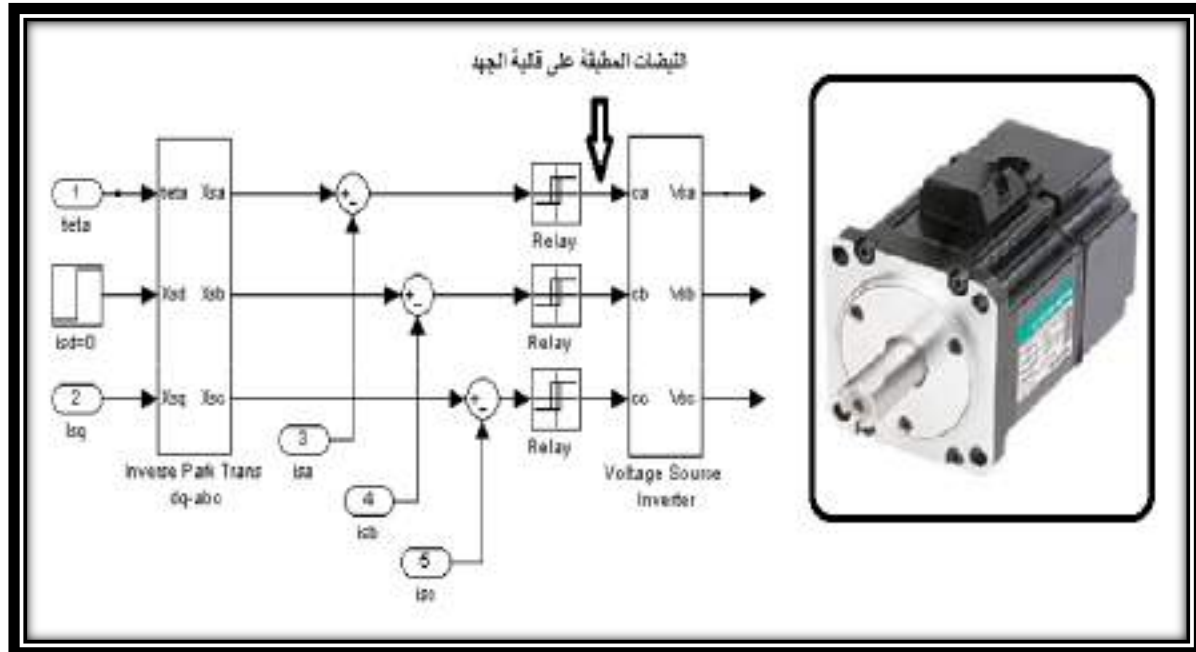
**نتائج تنظيم السرعة مع تنظيم التيار في نظام FOC :**



الشكل (4-7): إشارة السرعة باستخدام القيادة غير المباشرة لقالبة الجهد

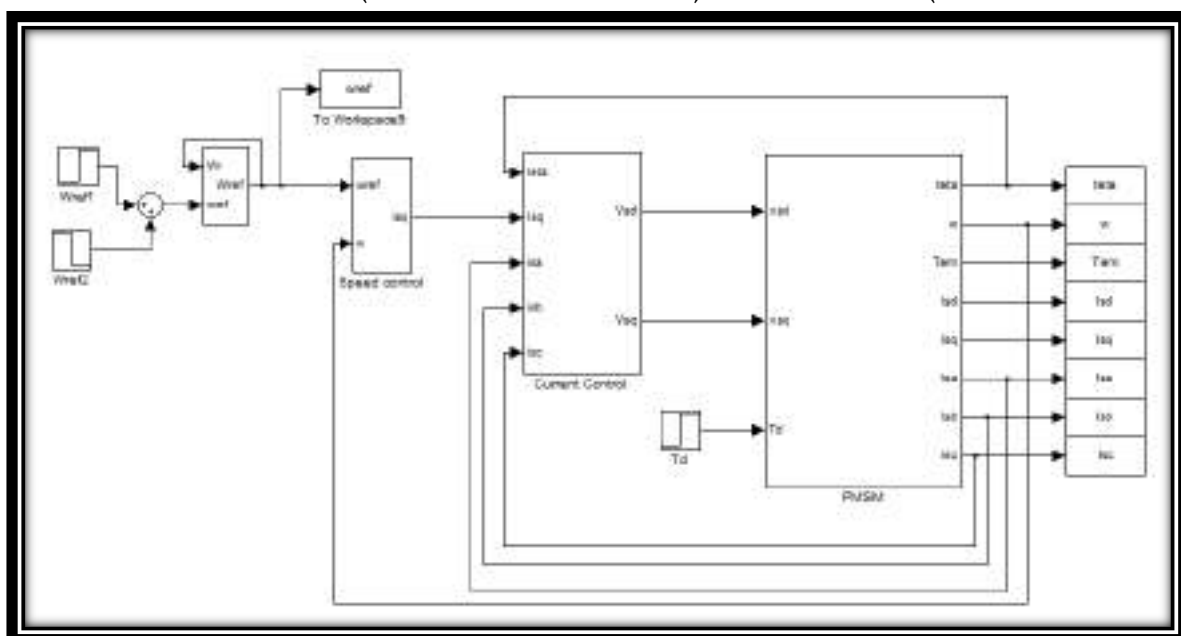
## القيادة المباشرة لقائمة الجهد

تستخدم هذه الطريقة منظمات ذات عروة بطاء بمستويين والتي تشكل نظام التحكم بالتيارات ثلاثة الطور، يبين الشكل التالي التمثيل الصنديقي لهذه الطريقة حيث تكون مخارج هذه المنظمات عبارة عن أوامر التبديل لقائمة الجهد.



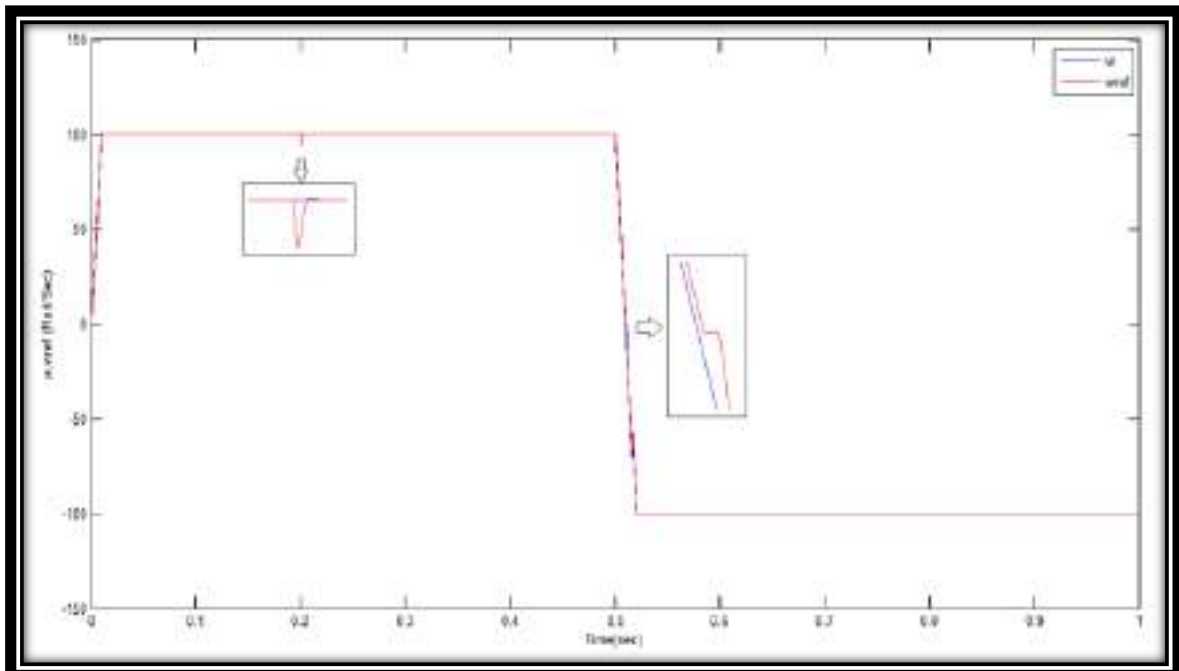
الشكل (4-8): المخطط الصنديقي للقيادة المباشرة لقائمة الجهد

سنقوم الآن بتنظيم السرعة باستخدام منظم  $P-PI$  وتنظيم التيار باستخدام المنظمات البطائية وذلك في المحرك المترافق ذي المعانط الدائمة في نظام المحاور  $d, q$  (حيث إن المحور  $d$  متواضع على القطب الشمالي للمغانط الدائمة للمحرك المترافق) وبوجود قائمة الجهد (Voltage source Inverter)

الشكل (4-9): المخطط الصنديقي لتنظيم السرعة باستخدام منظم  $P-PI$  وتنظيم التيار باستخدام المنظم البطائي

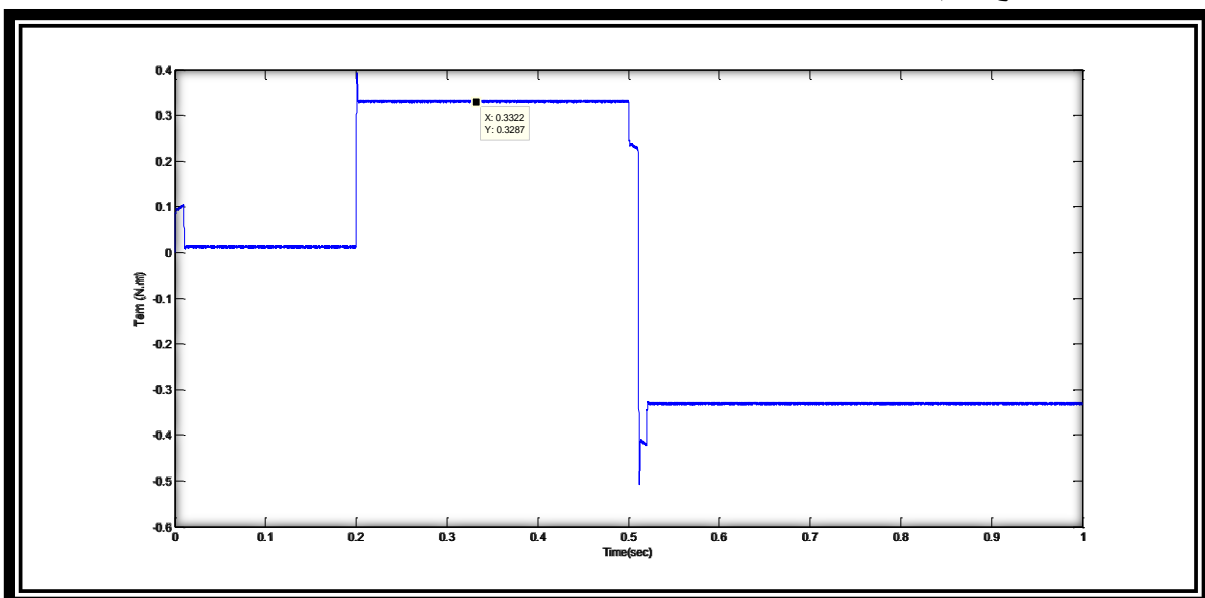
## نتائج تنظيم السرعة مع تنظيم التيار

الشكل التالي يبين الفرق بين السرعة المرجعية والسرعة الحقيقية ، حيث قمنا بعكس جهة الدوران عند اللحظة .( 0.5sec )

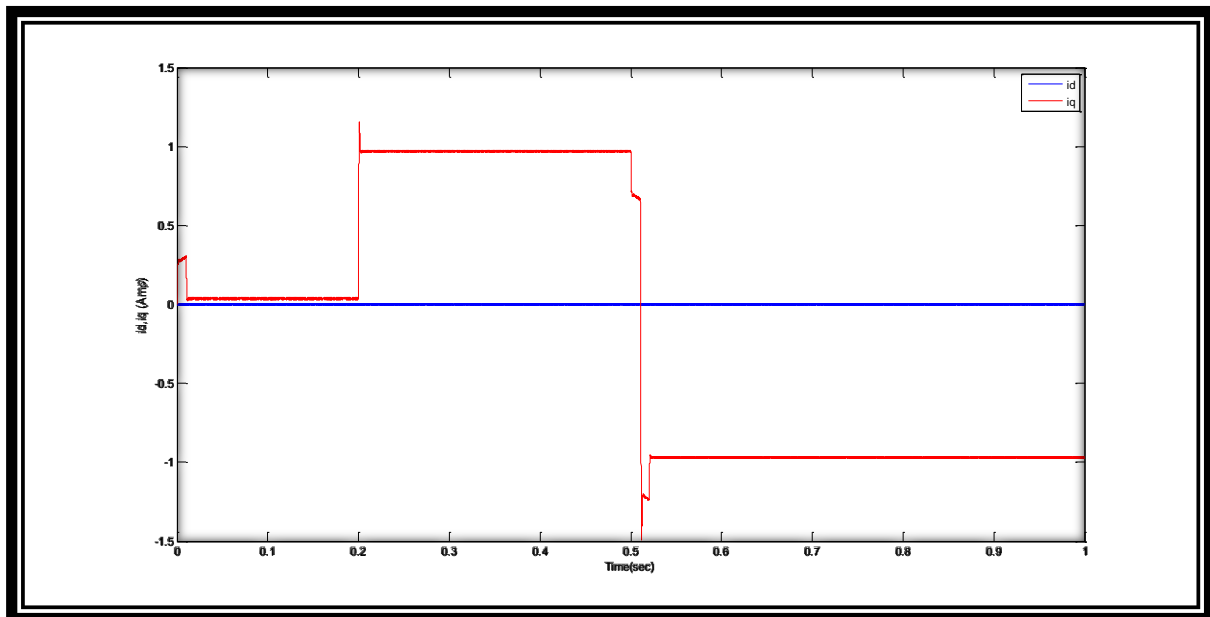


الشكل (4-10): إشارة السرعة الحقيقية وإشارة السرعة المرجعية المطلوبة

نلاحظ أنه لا يوجد اختلاف كبير بين السرعتين وأن الأداء الديناميكي عالي جداً من حيث الوصول إلى السرعة الاسمية بزمن قياسي و زمن الانتقال من السرعة الموجبة إلى السرعة السالبة وذلك كون المحرك المتوقف ذي المغناط الدائمة يتمتع بعزم عطالة صغير.



الشكل (4-11): إشارة العزم للمحرك المتوقف ذي المغناط الدائمة

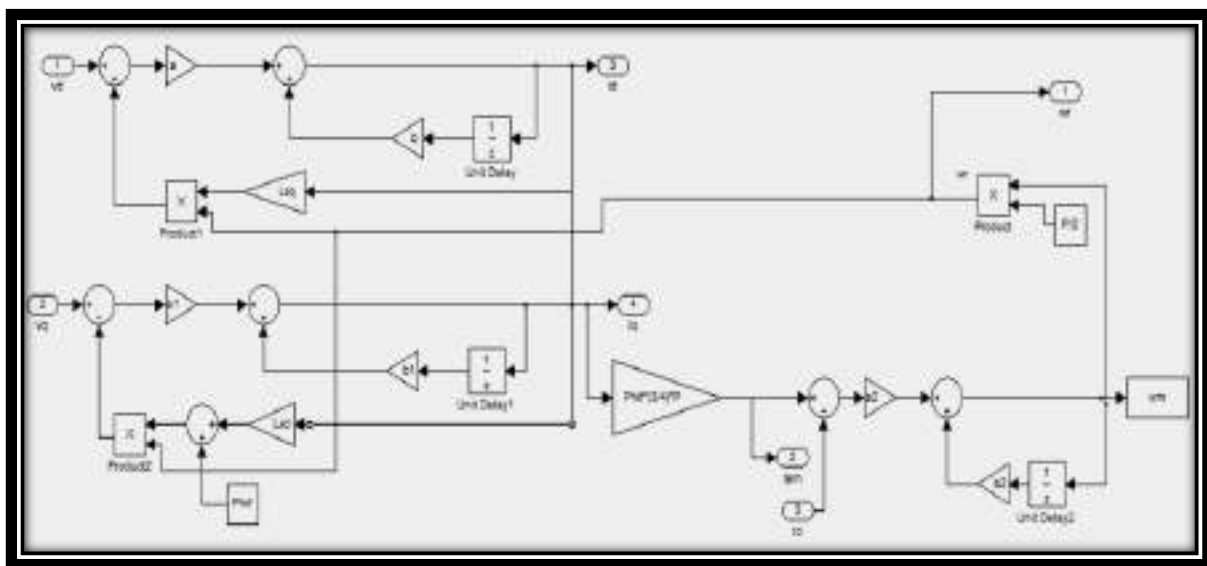
الشكل (4-12): إشارات التيارات  $i_d$ ,  $i_q$ 

## 5-4- الخاتمة

في هذا الفصل قمنا بدراسة المعادلات الرياضية لقالبة التي استخدمت لتغذية المحرك المدروساً، والتعرف على طرق التحكم الحديثة لقيادة المحرك المتوقف ذي المغناط الدائمة حيث قمنا بنمذجة نظام القيادة بشكل كامل ضمن بيئة Matlab بوجود القالبة وقمنا بتنظيم السرعة والتيار لاحظنا أنه لا يوجد اختلاف كبير بين خرج المنظمات وخرج القالبة.

## الفصل الخامس

### التمثيل الرقمي للمحرك المترافق ذاتي المغناط الدائمة وأنظمة قيادته



### 1-5 مقدمة

إن استخدام المعالجات المصغرة أو جهاز الحاسب أو أي متحكم قابل للبرمجة في عمليات التحكم الآلي ينطوي تمثيل نظام القيادة ضمن المعالج، وكما نعلم فإن المعالجات تتعامل مع إشارات رقمية، والإشارة الرقمية عبارة عن إشارة تتغير بين حالتين فقط أي تأخذ قيمة الصفر المنطقي أو قيمة الواحد المنطقي، وبالتالي لتمثيل نظام ما ضمن المعالج يجب تمثيل هذا النظام بشكل رقمي بحيث يمكن كتابته بأي لغة برمجية وبالتالي يمكن تمثيله ضمن المعالج.

يمكن فهم التمثيل الرقمي لنظام ما إذا افترضنا أنه لدينا تابع ما نريد رسمه، وكما نعلم أنه بإيجاد تكامل هذا التابع وبالتالي حساب مساحته فإنه يمكن رسم منحني هذا التابع. أيضاً يمكن رسم هذا التابع من خلال معرفة النقاط الممثلة لهذا التابع عند كل لحظة زمنية، أي وكأننا قمنا بقطع المنحني إلى مجموعة من النقاط. كلما زاد عدد النقاط الممثلة للتتابع زادت الدقة في رسم المنحني وذلك لأن زيادة عدد النقاط ضمن مجال زمني محدد يعني أن الفاصل الزمني بين كل نقطتين أصبح أصغر، وبالتالي كلما زاد تردد التقطيع نحصل على دقة أكبر في تمثيل التابع، وبالتالي التمثيل الرقمي لنظام ما يعني تقطيع هذا النظام أي تحويل المعادلة الرياضية الممثلة لهذا النظام من المجال الزمني المستمر إلى المجال الزمني المتقطع، وللانتقال بأي معادلة من المجال الزمني المستمر إلى المجال الزمني المتقطع فإنه يمكن استخدام إحدى معادلتي أويلر التقاضلتين.

### 2-5 معادلتي أويلر

للانتقال بأي معادلة من المجال الزمني المستمر إلى المجال الزمني المتقطع فإنه يمكن استخدام إحدى معادلتي أويلر التقاضلتين التاليتين :

$$\frac{dy}{dt} = \frac{y[k] - y[k-1]}{T} \quad (5.1)$$

$$\frac{dy}{dt} = \frac{y[k+1] - y[k]}{T} \quad (5.2)$$

تسمى المعادلة (5.2) معادلة أويلر الأمامية، والمعادلة (5.1) معادلة أويلر العكسية.

حيث إن :

$T$  : دور التقطيع .

$K$  تعبّر عن حالة النظام :

$K$  الحالة الحالية ،  $k+1$  الحالة التالية ،  $k+1$  الحالة السابقة.

### 3-5 التمثيل الرقمي لمعادلة نظام من المرتبة الأولى

ليكن لدينا نظام معادلته الرياضية من المرتبة الأولى تعطى كما يلي :

$$y(t) = \frac{G}{T_s S + 1} \cdot x(t)$$

لتحويل هذه المعادلة إلى المجال الزمني المتقطع نقوم بما يلي :

$$T_s \frac{dy(t)}{dt} + y(t) = G \cdot x(t) \quad (5.3)$$

بتعييض المعادلة (5.1) في المعادلة (5.3) نجد ما يلي :

$$T_s \frac{y[k] - y[k-1]}{T} + y[k] = G \cdot x[k]$$

وبفرض  $a = \frac{T_s}{T}$  نجد :

$$\begin{aligned} y[k] \left(1 + \frac{T_s}{T}\right) &= G \cdot x[k] + \frac{T_s}{T} y[k-1] \\ y[k] &= \frac{G}{1+a} \cdot x[k] + \frac{a}{1+a} y[k-1] \end{aligned} \quad (5.4)$$

والمعادلة السابقة تمثلتابع الانتقال السابق بالشكل الرقمي باستخدام أويلر العكسية.

ومن أجل التمثيل الرقمي للمعادلات الرياضية الممثلة للمحرك المتوازن ذي المغناط الدائمة في برنامج الماتلاب فإننا سوف نستخدم معادلة أويلر العكسية.

#### 4-5- التمثيل الرقمي لمعادلات المحرك المتوازن ذي المغناط الدائمة

لدينا معادلة الجهد للطور  $d$  :

$$V_{sd}(t) = R_s I_{sd}(t) + L_{sd} \frac{dI_{sd}(t)}{dt} - \omega L_{sq} I_{sq}(t)$$

ولتحويلها إلى الشكل الرقمي سوف نعتمد طريقة أويلر العكسية :

$$V_{sd}[k] = R_s I_{sd}[k] + L_{sd} \frac{I_{sd}[k] - I_{sd}[k-1]}{T} - \omega L_{sq} I_{sq}[k]$$

$$V_{sd}[k] + \omega L_{sq} I_{sq}[k] = I_{sd}[k] \left( R_s + \frac{L_{sd}}{T} \right) - \frac{L_{sd}}{T} I_{sd}[k-1]$$

$$I_{sd}[k] = \frac{1}{\left( R_s + \frac{L_{sd}}{T} \right)} \left( V_{sd}[k] + \omega L_{sq} I_{sq}[k] \right) + \frac{\frac{L_{sd}}{T}}{\left( R_s + \frac{L_{sd}}{T} \right)} I_{sd}[k-1]$$

$$I_{sd}[k] = a(V_{sd}[k] + \omega L_{sq} I_{sq}[k]) + b I_{sd}[k-1] \quad (5-5)$$

لدينا معادلة الجهد للطور  $q$  :

$$V_{sq}(t) = R_s I_{sq}(t) + L_{sq} \frac{dI_{sq}(t)}{dt} + \omega L_{sd} I_{sd}(t) + \omega \phi_m(t)$$

ولتحويلها إلى الشكل الرقمي سوف نعتمد طريقة أويلر العكسية :

$$V_{sq}[k] = R_s I_{sq}[k] + L_{sq} \frac{I_{sq}[k] - I_{sq}[k-1]}{T} + \omega L_{sd} I_{sd}[k] + \omega \phi_m[k]$$

$$V_{sq}[k] - \omega(L_{sd} I_{sd}[k] + \phi_m[k]) = I_{sq}[k] \left( R_s + \frac{L_{sq}}{T} \right) - \frac{L_{sq}}{T} I_{sq}[k-1]$$

$$I_{sq}[k] = \frac{1}{\left( R_s + \frac{L_{sq}}{T} \right)} \left( V_{sq}[k] - \omega(L_{sd} I_{sd}[k] + \phi_m[k]) \right) + \frac{\frac{L_{sq}}{T}}{\left( R_s + \frac{L_{sq}}{T} \right)} I_{sq}[k-1]$$

$$I_{sq}[k] = a1 \left( V_{sq}[k] - \omega ( L_{sd} I_{sd}[k] + \phi_m[k] ) \right) + b1 I_{sq}[k-1] \quad (5-6)$$

تعطى معادلة السرعة الميكانيكية :

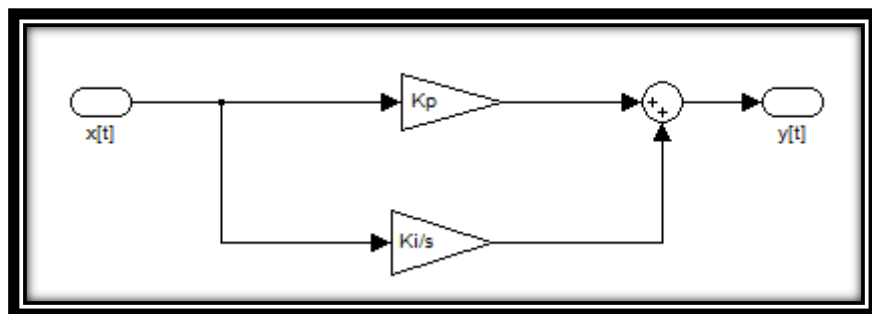
$$J \cdot \frac{d}{dt} \omega_m = (T_{em} - T_d - B\omega_m)$$

بالانتقال إلى الزمن المتقطع حسب أويلر العكسية :

$$\begin{aligned} J \cdot \frac{\omega_m[k] - \omega_m[k-1]}{T} &= T_{em}[k] - T_d[k] - B\omega_m[k] \\ \omega_m[k] \left( B + \frac{J}{T} \right) &= T_{em}[k] - T_d[k] + \frac{J}{T} \omega_m[k-1] \\ \omega_m[k] &= \frac{1}{\left( B + \frac{J}{T} \right)} (T_{em}[k] - T_d[k]) + \frac{\frac{J}{T}}{\left( B + \frac{J}{T} \right)} \omega_m[k-1] \\ \omega_m[k] &= a2 (T_{em}[k] - T_d[k]) + b2 \omega_m[k-1] \end{aligned}$$

## 5-5 التمثيل الرقمي للمنظمات PID

إن الشكل العام لمنظومات PI يعطى بالشكل التالي :



الشكل (5-1): المخطط الصندوقى للمنظم PI

حيث يتتألف من جزأين الأول هو الجزء النسبي والثاني هو الجزء التكاملى يعبر عن المخطط الصندوقى السابق رياضياً بالمعادلة (5.7) :

$$y(t) = K_p \cdot x(t) + \frac{K_i}{s} \cdot x(t) \quad (5.7)$$

ولتحويلها إلى الشكل الرقمي نقوم بتجزئة المعادلة السابقة إلى جزأين ونقوم بتحويل كل جزء على حدة إلى الشكل الرقمي باستخدام أويلر العكسية .

$$y(t) = y_1(t) + y_2(t) \quad (5.8)$$

الجزء الأول :

$$y_1(t) = K_p \cdot x(t)$$

وبالتحويل إلى الشكل الرقمي نحصل على المعادلة التالية :

$$y_1(k) = K_p \cdot x(k) \quad (5.9)$$

الجزء الثاني :

$$y_2(t) = \frac{K_i}{S} \cdot x(t)$$

$$S \cdot y_2(t) = K_i \cdot x(t)$$

$$\frac{dy_2(t)}{dt} = K_i \cdot x(t)$$

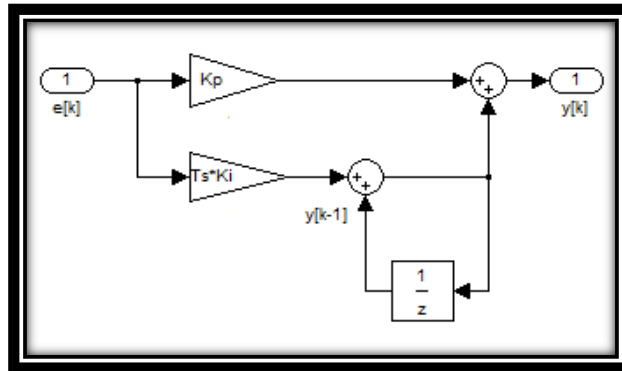
ويعويض المعادلة (5.1) في المعادلة السابقة :

$$\frac{y_2[k] - y_2[k-1]}{T} = K_i \cdot x(t)$$

$$y_2[k] = T \cdot K_i \cdot x(t) + y_2[k-1] \quad (5.10)$$

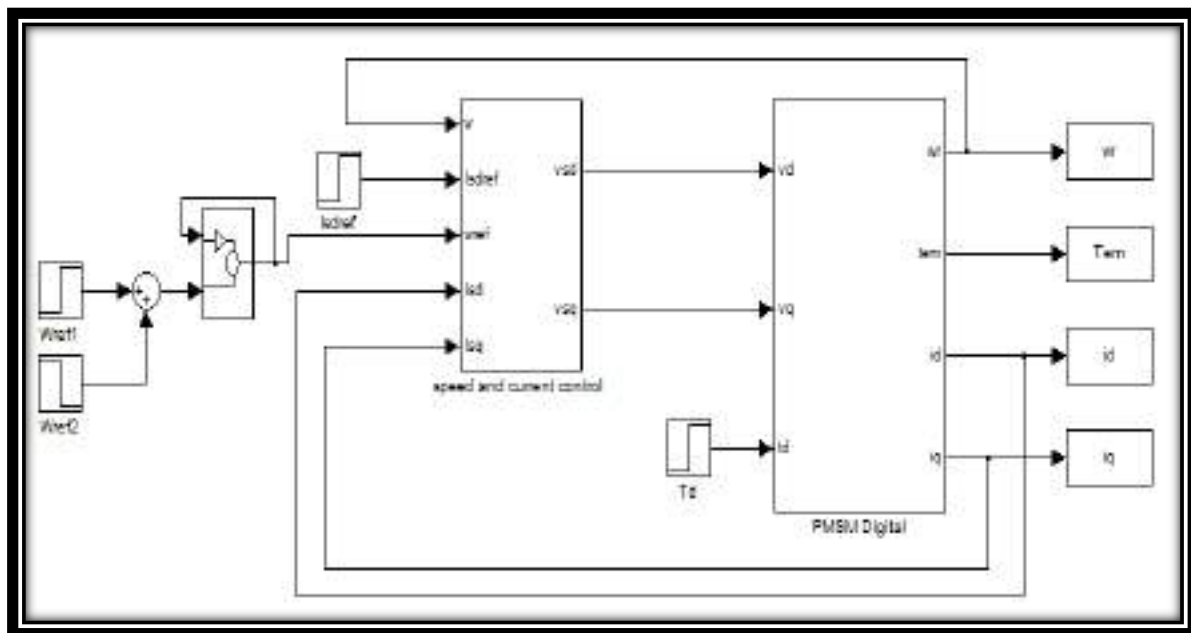
ويعويض العلاقات (5.9) و (5.10) في المعادلة (5.8) بعد تحويلها إلى المجال الرقمي نجد :

$$y(k) = K_p \cdot x(k) + T \cdot K_i \cdot x(t) + y_2[k-1] \quad (5.11)$$



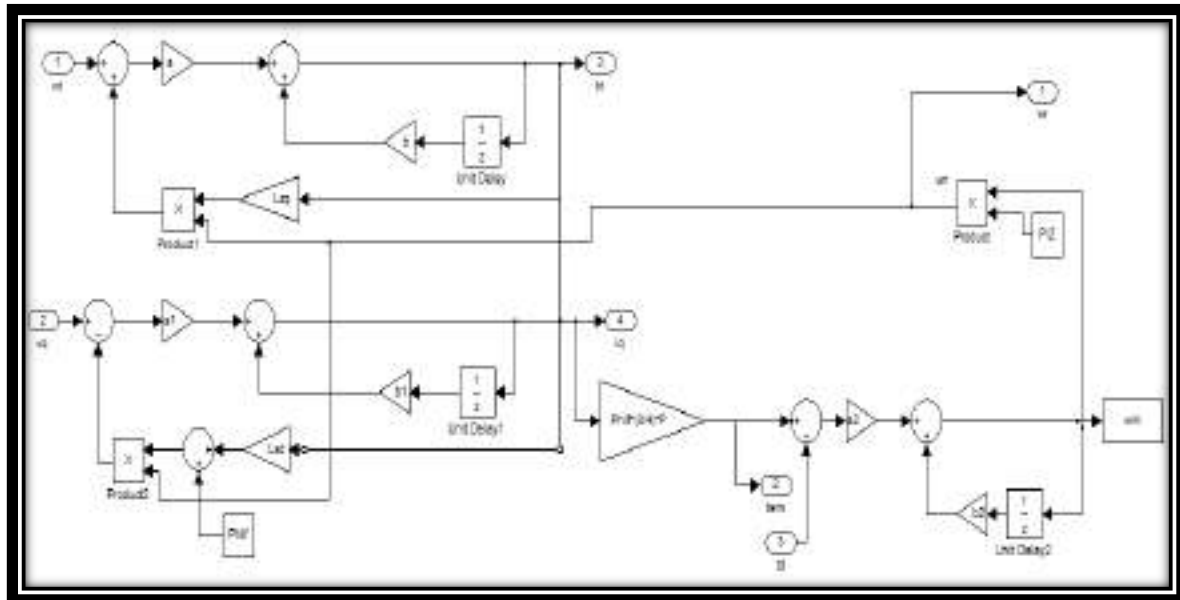
الشكل (5-2): المخطط الصنديقى للمنظم PID الرقمي

باستخدام المعادلات الرقمية السابقة تقوم بتمثيل المحرك ونظام التحكم بشعاع الفيض الموجي فنحصل على الشكل التالي :



الشكل (5-3): تنظيم السرعة والتيار للمحرك المتوازن بالشكل الرقمي

الصندوق PMSM Digital يحتوي على :



الشكل (5-4): المخطط الصنودي للمحرك المتوازن بالشكل الرقمي

### النتائج التمثيلية

بتنفيذ الخوارزمية في بيئة Simulink ومقارنة النتائج التشابهية مع النتائج الرقمية نجد مايلي :

**منحنى السرعة**



الشكل (5-5): منحنى السرعة (التشابهي والرقمي) بعد تنظيمه باستخدام طريقة التحكم بشعاع الفيض الموجه

نلاحظ أن المحننين منطبقان بشكل كامل ويوجد انزياح بين المحننين (عند الحالات العابرة ) ولكن بقيمة صغيرة جداً لأن الماتلاب يستخدم طريقة أويلر الأمامية.

### 6-5 الخاتمة

تم في هذا الفصل التعرف على النظام الرقمي وأهميته عند الانتقال من الدراسة النظرية إلى التطبيق العملي على الشرائح الرقمية المختلفة ومن ثم قمنا بدراسة التمثيل الرقمي لتابع النقل من المرتبة الأولى باستخدام طريقة أويلر العكسية ثم قمنا بتمثيل معادلات المحرك المتوقف ذي المغناط الدائمة بالشكل الرقمي والتمثيل الرقمي للمنظم PID المستخدم في نظام القيادة بشكل واسع وأخيراً قمنا بتنظيم السرعة والتيار للمحرك المتوقف بالشكل الرقمي.

# الفصل السادس

## التطبيق العملي



## 1-6 المقدمة:

أحد الأساليب الحديثة المتّبعة لإلقاء المحركات المتّوّقة هي استخدام الانفيرتر الصناعي (مجموعة مقوم - قالبة) والذي يقوم بتحويل الطاقة الكهربائية المقدمة من الشبكة العامة ذات التردد والمطال الثابت إلى طاقة كهربائية ذات تردد ومطال متغيرين بهدف التحكم بسرعة المحرك ضمن مجال واسع.

يؤدي استخدام الانفيرتر إلى :

1) التخلص من تيار الإلقاء العالي.

2) إلقاء المحرك بشكل تدريجي متّحكم به والتخلص من الصدمة الميكانيكية الناتجة عن الإلقاء.

3) التحكم بسرعة دوران المحرك على كامل مجال السرعة.

4) توفير في الاستطاعة الريبية وبالتالي رفع قيمة عامل الاستطاعة.

لقد تم التركيز في هذا الفصل على عمل الانفيرتر من نوع (APD-VS04NA4) والشركة المصنعة ( LS ).

حيث إن الهدف من هذا القسم بشكل أساسى مابلي:

1) شرح كيفية استثمار الانفيرتر بشكل مبسط.

2) بناء لوحة مخبرية تتضمن كل الطرفيات الواجب ربطها بالانفيرتر والمتوفرة من قبل الشركة المصنعة.

3) تجهيز عدد من التجارب العملية على الانفيرتر.

4) بيان كيفية الربط مع جهاز خارجي من أجل عمليات الربط والتحكم.

طبعاً النظام المدرّوس في هذا الفصل هو ( AC-SERVO-MOTOR ) ولكن ما هو السيرفو موتور؟

هو أحد أنواع المحركات الخاصة وهو يستخدم في التحكم الموضعى ومن أمثلة تطبيقات هذا المحرك تحريك أجهزة الرادار وأطباق استقبال الأقمار الصناعية ويستخدم أيضاً في تحريك أجنحة الطائرات وبعض أنواع أجهزة الطباعة.

يتمتع محرك السيرفو بالخصائص التالية:

1- الاستجابة الفائقة للسرعة المطلوبة.

2- يقبل عمليات الفصل والتوصيل مهما تعددت.

3- توقف المحرك فور فصل المنبع عن المحرك.

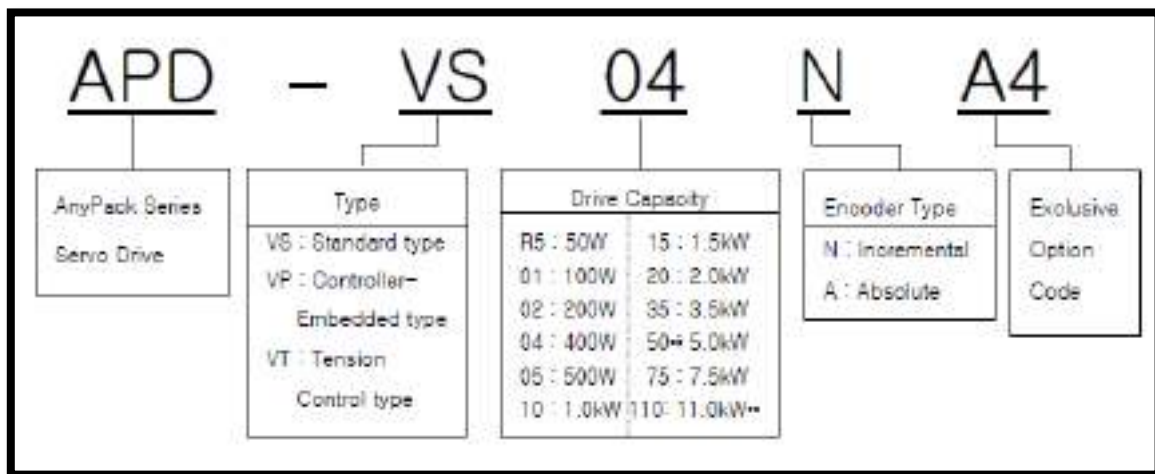


الشكل(6-1): محرك السيرفو المستخدم

وهو يحتاج إلى كبل Power وكبل Encoder.

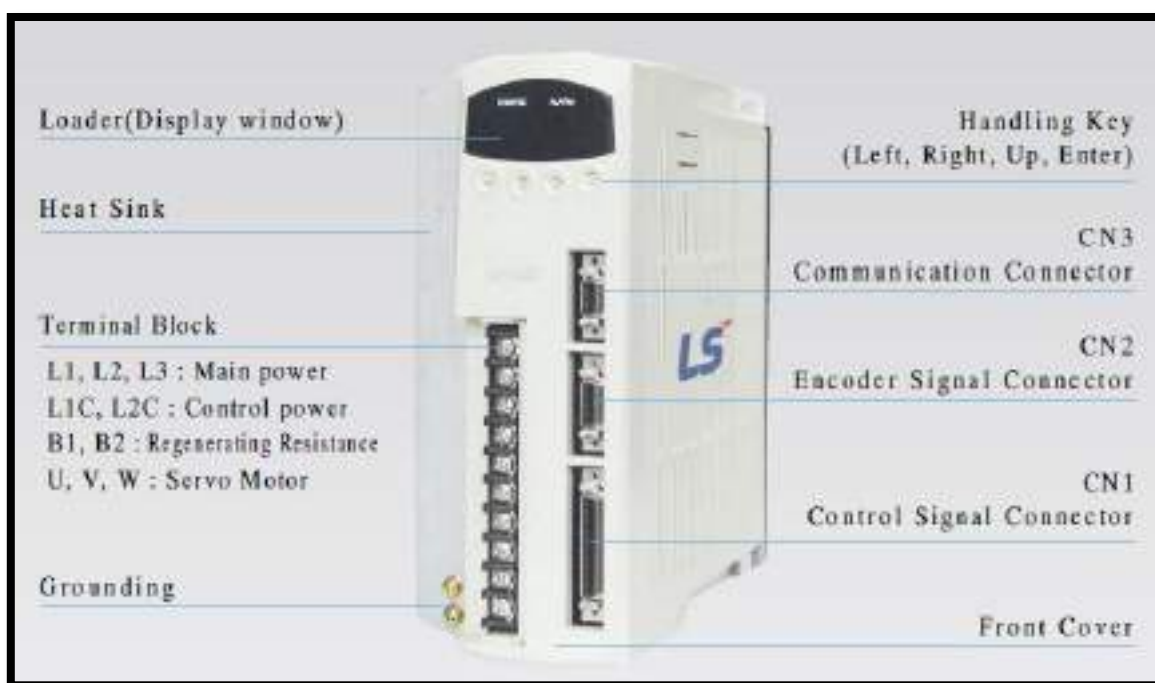
## 6-2- جهاز الانفيرتر المستخدم في المشروع

الانفيرتر المستخدم في المشروع من نوع (APD-VS04NA4) والشركة المصنعة ( LS ).



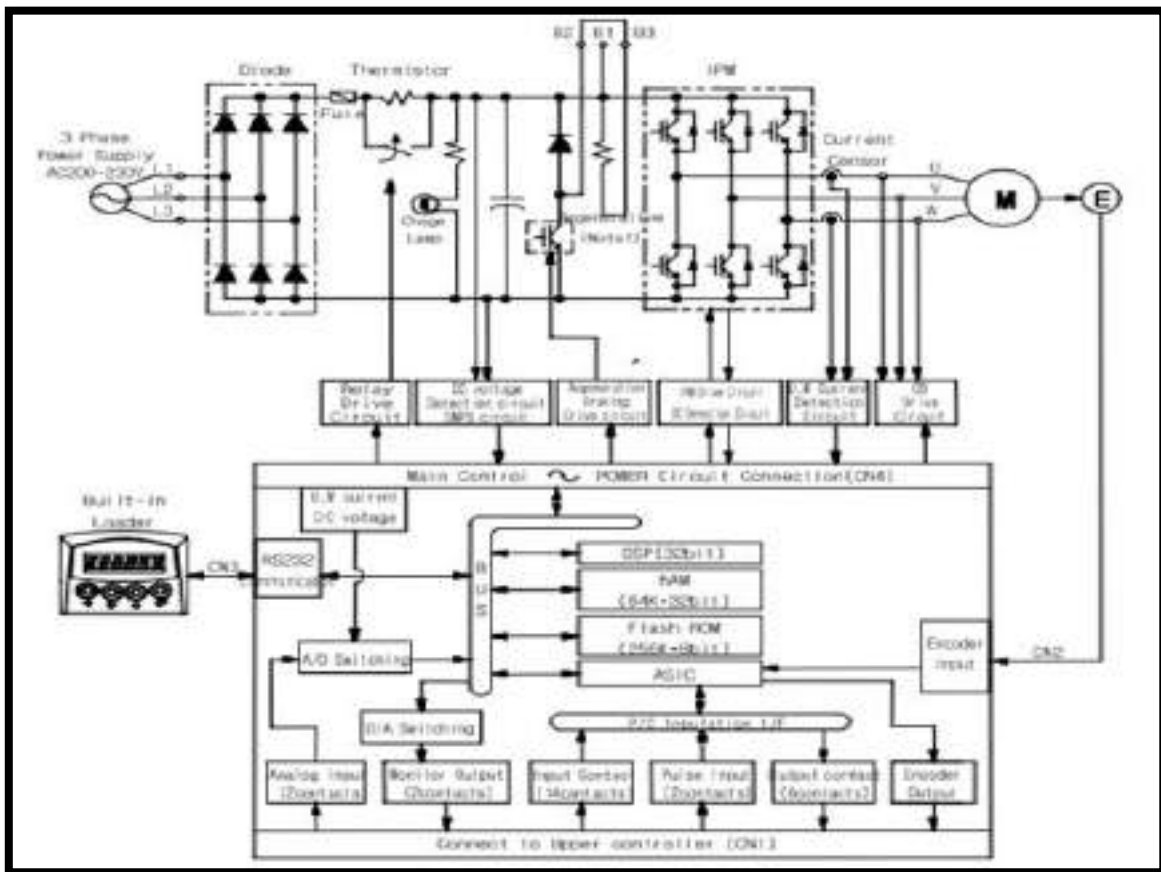
الشكل(6-2): نوع الانفيرتر المستخدم

والشكل(6-3) يبين الشكل الخارجي للانفيرتر المستخدم :



الشكل(6-3): الشكل الخارجي للانفيرتر المستخدم

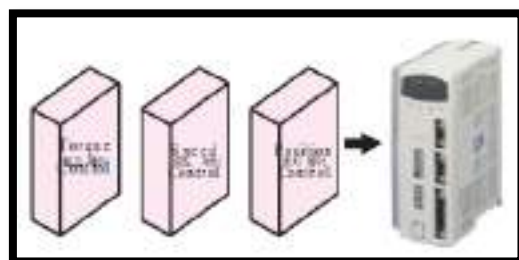
البنية الداخلية للانفيرتر :



الشكل(6-4): البنية الداخلية للانفيرتر

### 6-3- أهم الميزات التي يتمتع بها هذا الانفيرتر

1) إمكانية التحكم بالموقع/السرعة/العزم.



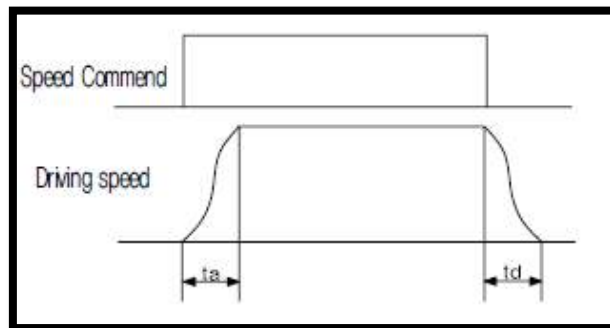
الشكل(6-5): خوارزميات عمل الانفيرتر

2) يحتوي على ثلاثة مدخلات رقمية من أجل التحكم بالسرعة.

	SPD3	SPD2	SPD1
AnalogSpeed	off	off	off
Internal Speed 1	off	off	on
Internal Speed 2	off	on	off
Internal Speed 3	off	on	on
Internal Speed 4	on	off	off
Internal Speed 5	on	off	on
Internal Speed 6	on	on	off
Internal Speed 7	on	on	on

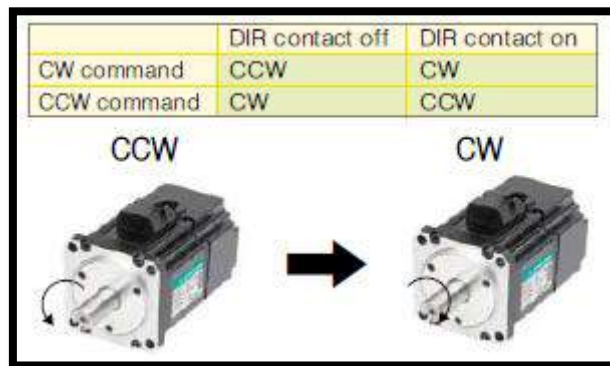
الشكل(6-6): ناخب اختيار سرعة المحرك

- (3) يحتوي على مدخل إشارة تشابهى من أجل التحكم بالسرعة.
- (4) تحديد مجال الخطأ الحالى فى تغير الجهد عند استخدام المدخل التشابهى من أجل التحكم بالسرعة.
- (5) إمكانية التحكم بزمن التسارع والتباطؤ وشكل منحني التسارع والتباطؤ.



الشكل(6-7): منحني التسارع والتباطؤ

- (6) يحتوى على مدخل إشارة تشابهى من أجل التحكم بالعزم المطبق على المحرك.
- (7) يحتوى على مدخلين رقميين من أجل التحكم باتجاه الدوران.



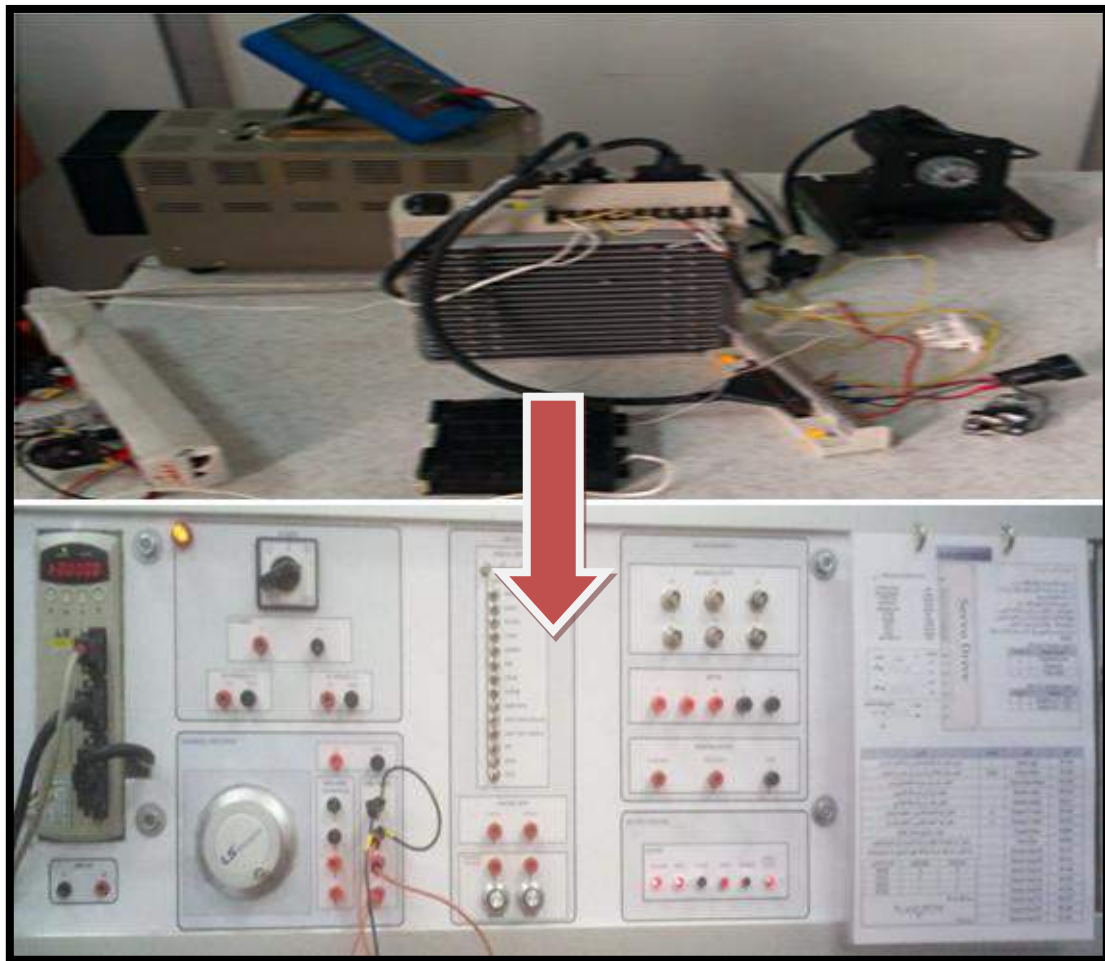
الشكل(6-8): التحكم باتجاه الدوران

- (8) يحتوى على منظمات من النوع P-PI من أجل تنظيم السرعة والموضع.
- (9) مقاوم للاهتزاز أثناء العمل.
- (10) مقاوم للاهتزاز أثناء التوقف.
- (11) يحتوى على مقاومة كبح داخلية.
- (12) إمكانية استخدام نبضات تحكم مختلفة من أجل التحكم بالموضع.

PF +PR	N-logic		P-logic	
	Forward rotation	Reverse rotation	Forward rotation	Reverse rotation
A phase +B phase	"0"		"3"	
CCW or CW Pulse	"1"		"4"	
Pulse + direction	"2"		"5"	

الشكل(6-9): نبضات التحكم المستخدمة للتحكم بالموضع

6- آلية تحويل الانفيرتر إلى منصة يعتمد عليها في تجارب عملية لطلاب كلية الهندسة الكهربائية والإلكترونية



الشكل(6-10):آلية تحويل الانفيرتر إلى منصة عمل

تم الاعتماد في ذلك على دراسة الكتالوك المرفق مع التجهيز حيث تم خلال ذلك تحديد :

1-المداخل والمخارج الرقمية.

2-المداخل والمخارج التشابهية.

3-تحديد مخارج المراقبة والإشارة.

4- تحديد التغذية المطلوبة.

#### 6-4-1- المدخل الرقمية:

المدخل الرقمية هي مدخلات بجهد مستمر قيمته 24V وهي مداخل مشتركة في جميع خوارزميات العمل مع اختلاف وظيفة بعضها حسب نمط العمل المستخدم.

من هذه المداخل:

CWLIM يقوم بمنع عملية الدوران في الاتجاه العكسي عند التفعيل.

CCWLIM يقوم بمنع عملية الدوران في الاتجاه الأمامي عند التفعيل.

ALMRST يفعل لإعطاء تحذير خلال العمل.

وبحسب الدراسة تبين أننا بحاجة إلى جهد تشابهي متغير  $+/-10$  ومن أجل ذلك تم إدخال هذه الجهود بعد توليدتها إلى مقاومة متغيرة من أجل التحكم بمطالها.



الشكل(6-13): الجهد التشابهي المتغير المتوضع على اللوحة المخبرية

### 6-3-4-6 مخارج الإشارة:

وهي ستة مخارج رقمية تعطي إشارة جهد مستمرة مطالها 24V قد تم الإنفاق على وضع ليدات تعطي إشارة ضوئية دلالة على حدث معين.

Pin No.	Name	Function and Use
38 /39	ALARM+/-	ALARM state output ON : normal state OFF : ALARM state
40 /41	RDY+/-	ON at Complete operating ready state
42	TLOUT	Torque limit
43	ZSPD	Output at servo stop (speed is zero)
44	BRAKE	Brake operating signal output (ON at servo dirving)
45	INSPD	Output complete signal of target speed reaching
	INPOS	Output complete signal of target position reaching

الشكل(6-14): دلائل المؤشر الضوئي